

**SKRIPSI**

**STUDI PENGARUH KETEBALAN SEDIMEN PADA *FLUSHING CONDUIT* TERHADAP VOLUME PENGGELONTORAN DENGAN MATERIAL DASAR PASIR HALUS DI WADUK (UJI EKSPERIMENTAL)**



**Oleh:**

**HUSNUN NISA  
105 81 2001 13**

**HENDRA JAYA T.  
105 81 1998 13**

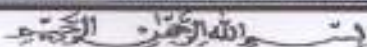
**PROGRAM STUDI TEKNIK PENGAIRAN  
JURUSAN TEKNIK PENGAIRAN  
FAKULTAS TEKNIK  
UNIVERSITAS MUHAMMADIYAH MAKASSAR  
2017**



## FAKULTAS TEKNIK

## GEDUNG MENARA IQRA LT. 3

Jl. Sultan Alauddin No. 259 Telp. (0411) 866 972 Fax (0411) 865 588 Makassar 90221

Website : [www.unismuh.ac.id](http://www.unismuh.ac.id), e-mail : [unismuh@gmail.com](mailto:unismuh@gmail.com)Website : <http://teknik.unismuh.makassar.ac.id>

## PENGESAHAN

Skripsi atas nama Husnun Nisa dengan Nomor Induk Mahasiswa 10581 2001 13 dan Hendra Jaya T. dengan Nomor Induk Mahasiswa 10581 1998 13, dinyatakan diterima dan disahkan oleh Panitia Ujian Tugas Akhir/Skripsi sesuai dengan Surat Keputusan Dekan Fakultas Teknik Universitas Muhammadiyah Makassar Nomor : 0005/SK-Y/22201/091004/2017, sebagai salah satu syarat guna memperoleh gelar Sarjana Teknik pada Program Studi Teknik Pengairan Jurusan Teknik Sipil Fakultas Teknik Universitas Muhammadiyah Makassar pada hari Sabtu tanggal 16 Desember 2017

Makassar, 4 Rabiul Akhir 1439 H  
23 Desember 2017 M

## Panitia Ujian :

## 1. Pengawas Umum

a. Rektor Universitas Muhammadiyah Makassar

Dr. H. Abdul Rahman Rahim, SE., MM.

b. Dekan Fakultas Teknik Universitas Hasanuddin

Dr. -Ing. Ir. Wahyu H. Piarah, MSME.

## 2. Penguji

a. Ketua : Dr. Ir. Fenti Daud S., M.T.

b. Sekertaris : Lutfi Hair Djunur, S.T., M.T.

## 3. Anggota

: 1. Prof. Dr. H. Lawalenna S., M.Sc., M.Eng

2. Andi Makbul Syamsuri, S.T., M.T

3. Hj. Arsyuni, S.T., M.T.

Mengetahui :

## Pembimbing I

Dr. Ir. Hj. Ratna Musa, M.T.

## Rembimbing II

Amrullah Mansida, S.T., M.T.Ir. Hamzah Al Imran, ST., MT.

NBM : 855 500



UNIVERSITAS MUHAMMADIYAH MAKASSAR

# FAKULTAS TEKNIK

## GEDUNG MENARA IQRA LT. 3

Jl. Sultan Alauddin No. 259 Telp. (0411) 866 972 Fax (0411) 865 588 Makassar 90221  
Website : [www.unismuh.ac.id](http://www.unismuh.ac.id), e-mail : [unismuh@gmail.com](mailto:unismuh@gmail.com)  
Website : <http://teknik.unismuh.makassar.ac.id>

### HALAMAN PENGESAHAN

Tugas Akhir ini diajukan untuk memenuhi syarat ujian guna memperoleh gelar Sarjana Teknik (ST) Program Studi Teknik Pengairan Jurusan Teknik Sipil Fakultas Teknik Universitas Muhammadiyah Makassar.

Judul Skripsi : **STUDI PENGARUH KETEBALAN SEDIMENT PADA FLUSHING CONDUIT TERHADAP VOLUME PENGGELONTORAN DENGAN MATERIAL DASAR PASIR HALUS DI WADUK (UJI EKSPERIMENTAL)**

Nama : HUSNUN NISA  
HENDRA JAYA T

Stambuk : 105 81 2001 13  
105 81 1998 13

Makassar, 23 Desember 2017

Telah Diperiksa dan Disetujui  
Oleh Dosen Pembimbing;

Pembimbing I

Dr. Ir. Hj. Ratna Musa, MT

Pembimbing II

Amrullah Mansida, ST., MT

Mengetahui,

Ketua Jurusan Teknik Sipil



Mu. Syafaat S. Kuba, ST

NBM : 975 288

**STUDI PENGARUH KETEBALAN SEDIMEN PADA *FLUSHING COINDUIT*  
TERHADAP VOLUME PENGGELONTORAN DENGAN MATERIAL DASAR  
PASIR HALUS DI WADUK  
(UJI EKSPERIMENTAL)**

**Husnun Nisa<sup>(1)</sup> dan Hendra Jaya T.<sup>(2)</sup>**

<sup>1)</sup>*Program Studi Teknik Pengairan Unismuh Makassar,*

*Nhusnun74@yahoo.co.id*

<sup>2)</sup>*Program Studi Teknik Pengairan Unismuh Makassar,hendrajayat@yahoo.com*

**Abstrak**

Studi Pengaruh Ketebalan Sedimen Pada Flushing Conduit Terhadap Volume Penggelontoran Dengan Material Dasar Pasir Halus Di Waduk dibimbing oleh Ratna Musa dan Amrullah Mansida. Sumber utama kerusakan DAS merupakan bagian dari erosi dan sedimentasi. Kerusakan Daerah Aliran Sungai (DAS) sebagai daerah tangkapan air di waduk menyebabkan tingginya erosi lahan sehingga angkutan sedimen meningkat yang berdampak terhadap pengurangan kapasitas waduk, dan berpengaruh pada penyediaan fungsi waduk antara lain kebutuhan air irigasi, PLTA, Kebutuhan air bersih, dan lain-lain. Penelitian ini bertujuan untuk mengetahui kinerja metode flushing conduit terhadap variasi ketebalan sedimen dan pengaruh ketebalan sedimen terhadap volume penggelontoran. Karakteristik sedimen yang digunakan dalam penelitian ini adalah pasir halus berdasarkan skala wentworth dari hasil analisa saringan. Dari hasil penelitian menunjukkan jumlah sedimen yang tergelontor untuk  $Q_1$  yaitu pada ketebalan sedimen ( $d_b$ ) 20 cm jumlah volume gelontor ( $v_g$ )  $0,0037 \text{ m}^3$  atau 3,083%, ketebalan sedimen ( $d_b$ ) 30 cm jumlah Volume tergelontor ( $v_g$ )  $0,0032 \text{ m}^3$  atau 1,77% dan pada ketebalan sedimen ( $d_b$ ) 40 cm jumlah volume gelontor ( $v_g$ ) yaitu  $0,0029 \text{ m}^3$  atau 1,208%. Kinerja *Flushing Conduit* menunjukkan semakin tebal endapan sedimen ( $d_b$ ) volume gelontor ( $v_g$ ) cenderung menurun akibat adanya kepadatan pada sedimen. Mekanisme kerja *flushing conduit* terbagi atas tiga tahapan yaitu memberikan tekanan sehingga terjadi fluidasi, proses penghisapan endapan sedimen masuk kedalam pipa akibat fluktuasi debit dan tekanan, serta transportasi sedimen dalam pipa.

kata kunci : *Flushing Conduit*, Penggelontoran, Sedimentasi.

**Abstract**

*Study of Effect of Sediment Thickness on Flushing Conduit Against Flushing Volume With Soil Basal Based Material In Reservoir is guided by Ratna Musa and Amrullah Mansida. The main source of watershed damage is part of erosion and sedimentation. Damage to watersheds in watersheds leads to high erosion of land so that sediment transport increases which impacts reduction of reservoir capacity, and influences the provision of reservoir functions such as irrigation water needs, hydropower, clean water needs, etc. This study aims to determine the performance of the flushing conduit method on sediment thickness variations and the effect of sediment thickness on the flushing volume. Sediment characteristic used in this research is fine sand based on wentworth scale from result of filter analysis. The results showed that the amount of sediment that was flushed for  $Q_1$  was on the thickness of the sediment ( $d_b$ ) 20 cm the volume of gelontor ( $v_g$ )  $0,0037 \text{ m}^3$  or 3,083%, the thickness of sediment ( $d_b$ ) 30 cm Volume was flushed ( $v_g$ )  $0,0032 \text{ m}^3$  or 1.77% and on the thickness of sediment ( $d_b$ ) 40 cm the amount of volume of gelontor ( $v_g$ ) is  $0,0029 \text{ m}^3$  or 1.208%. Flushing Conduit performance shows that the thickness of the sediment deposition ( $d_b$ ) of gelontor volume ( $v_g$ ) tends to decrease due to the density of the sediment. Working mechanism of flushing conduit is divided into three stages, namely to provide pressure so that fluidation occurs, sediment sediment absorption process into the pipe due to fluctuations in flow and pressure, as well as sediment transport in the pipeline.*

*keywords:* *Flushing Conduit, Flushing, Sedimentation.*

## KATA PENGANTAR

*Assalaamu Wa Wab*

Puji syukur Alhamdulillah penulis panjatkan kehadirat Allah SWT, karena rahmat dan hidayah-Nyalah sehingga penulis dapat menyelesaikan tugas akhir ini dengan judul **STUDI PENGARUH KETEBALAN SEDIMEN PADA FLUSHING CONDUIT TERHADAP VOLUME PENGGELONTORAN DENGAN MATERIAL DASAR PASIR HALUS DI WADUK (UJI EKSPERIMENTAL)**

Penulis menyadari sepenuhnya bahwa di dalam penulisan tugas akhir ini masih terdapat kekurangan-kekurangan, hal ini disebabkan penulis sebagai manusia biasa tidak lepas dari kesalahan dan kekurangan baik itu ditinjau dari segi teknis penulisan maupun dari perhitungan-perhitungan. Oleh karenanya penulis mengharapkan kritik dan saran serta perbaikan guna kesempurnaan tulisan ini agar kelak dapat bermanfaat terutama bagi penulis sendiri.

Dalam penyelesaian tugas akhir ini dapat terwujud berkat adanya bantuan, arahan, dan bimbingan dari berbagai pihak. Oleh karena itu dengan segala ketulusan dan kerendahan hati, kami mengucapkan terima kasih dan penghargaan yang setinggi-tingginya krpada:

1. Bapak **Hamzah Al Imran, ST.,MT.** Sebagai Dekan Fakultas Teknik Universitas Muhammadiyah Makassar.
2. Bapak **Muh. Syafaat, S.Kuba, ST.** Sebagai Ketua Jurusan Teknik Sipil Universitas Muhammadiyah Makassar.

3. Ibu Dr. Ir. Hj. Ratna Musa, MT. Selaku pembimbing 1 dan Bapak Amrullah Mansida, ST.,MT. Selaku Pembimbing II, yang telah banyak meluangkan waktu, memberikan bimbingan dan pengarahan sehingga terwujudnya tugas akhir ini.
4. Bapak dan ibu Dosen serta staf pegawai pada Fakultas Teknik atas segala waktunya telah mendidik dan melayani penulis selama mengikuti proses belajar mengajar di Universitas Muhammadiyah Makassar.
5. Ayahanda dan Ibunda terciinta yang senantiasa memberikan limpahan kasih sayang, doa, serta pengorbanan kepada penulis.
6. Rekan-rekan Mahasiswa Fakultas Teknik, terkhusus saudaraku Angkatan 2013 (*Radial*) dengan rasa persaudaraan yang tinggi banyak membantu dan memberi dukungan dalam menyelsaikan tugas akhir ini.

Semoga semua pihak tersebut diatas mendapat pahala yang berlipat ganda disisi Allah SWT, dan tugas akhir yang sederhana ini dapat bermanfaat bagi penulis, rekan-rekan, masyarakat serta bangsa dan negara, Aamiin

*Wassalaatulai, WrWb.*

## DAFTAR ISI

|                                               | Halaman     |
|-----------------------------------------------|-------------|
| <b>HALAMAN JUDUL .....</b>                    | <b>i</b>    |
| <b>PENGESAHAN .....</b>                       | <b>ii</b>   |
| <b>HALAMAN PENGESAHAN.....</b>                | <b>iii</b>  |
| <b>ABSTRAK .....</b>                          | <b>iv</b>   |
| <b>KATA PENGANTAR.....</b>                    | <b>v</b>    |
| <b>DAFTAR ISI.....</b>                        | <b>vii</b>  |
| <b>DAFTAR GAMBAR.....</b>                     | <b>xi</b>   |
| <b>DAFTAR TABEL .....</b>                     | <b>xiii</b> |
| <b>DAFTAR NOTASI.....</b>                     | <b>xiv</b>  |
| <b>BAB I PENDAHULUAN.....</b>                 | <b>1</b>    |
| A. Latar Belakang .....                       | 1           |
| B. Rumusan Masalah .....                      | 3           |
| C. Tujuan Penelitian .....                    | 4           |
| D. Manfaat Penelitian .....                   | 4           |
| E. Batasan Masalah.....                       | 4           |
| F. Sistematika penulisan.....                 | 5           |
| <b>BAB II TINJAUN PUSTAKA .....</b>           | <b>7</b>    |
| A. Daerah Aliran Sungai (DAS) .....           | 7           |
| 1. Pengertian Daerah Aliran Sungai (DAS)..... | 7           |
| 2. Pengelolaan DAS dan Penyebabnya.....       | 7           |

|                                                                |    |
|----------------------------------------------------------------|----|
| B. Waduk .....                                                 | 10 |
| 1. Pengertian Waduk.....                                       | 10 |
| 2. Kapasitas Waduk .....                                       | 10 |
| C. Pengendapan (Sedimentasi) .....                             | 12 |
| 1. Pengerian Sedimen .....                                     | 12 |
| 2. Proses Sedimentasi .....                                    | 12 |
| 3. Sifat-Sifat Sedimen.....                                    | 14 |
| D. Penggelontoran Sedimen Dengan Metode Flushing .....         | 17 |
| 1. Pengertian Flushing.....                                    | 17 |
| 2. Perbedaan Fluidasi dengan <i>Flushing Conduit</i> .....     | 17 |
| 3. Faktor-Faktor yang mempengaruhi Flushing.....               | 18 |
| E. Aliran dalam Saluran Tertutup (Pipa) .....                  | 19 |
| 1. Definisi Aliran dalam Saluran Tertutup (Pipa) .....         | 19 |
| 2. Mekanisme Kerja Pengaliran dalam Pipa .....                 | 20 |
| 3. Sifat-Sifat Aliran dalam Pipa .....                         | 21 |
| 4. Klasifikasi Aliran dalam Pipa .....                         | 21 |
| 5. Mengukur kecepatan Aliran Zat Cair.....                     | 22 |
| 6. Persamaan Hukum Bernouli Tekanan dalam Pipa.....            | 22 |
| 7. Aliran Laminer dan Turbulen.....                            | 23 |
| 8. Kehilangan Energi Mayor dalam Pipa (Gesek) .....            | 25 |
| 9. Khilangan Tinggi Tenaga pada Lapisan Sedimen .....          | 27 |
| 10. Kehilang Tekanan Sekunder dalam Pipa .....                 | 28 |
| F. Aliran Sedimen dalam Pipa ( <i>Flushing Conduit</i> ) ..... | 29 |

|                                                                                                |           |
|------------------------------------------------------------------------------------------------|-----------|
| 1. Masuknya Sedimen kedalam Pipa .....                                                         | 29        |
| 2. Prinsip Dasar Transpor Sedimen dalam Pipa.....                                              | 29        |
| <b>BAB III METODE PENELITIAN .....</b>                                                         | <b>31</b> |
| A. Lokasi dan Waktu Penelitian .....                                                           | 31        |
| B. Alat dan Bahan.....                                                                         | 31        |
| C. Jenis Penelitian dan Sumber Data .....                                                      | 32        |
| D. Variabel yang Diteliti .....                                                                | 33        |
| E. Tahap Penelitian.....                                                                       | 34        |
| F. Prosedur Penelitian.....                                                                    | 36        |
| G. Pelaksanaan Simulasi .....                                                                  | 37        |
| H. Pengambilan Data .....                                                                      | 38        |
| I. Flow Chart Penelitian.....                                                                  | 39        |
| <b>BAB IV HASIL DAN PEMBAHASAN .....</b>                                                       | <b>40</b> |
| A. Deskripsi Data Hasil Penelitian .....                                                       | 40        |
| B. Analisis Data .....                                                                         | 45        |
| C. Karakteristik Sedimen .....                                                                 | 47        |
| D. Pembahasan.....                                                                             | 48        |
| 1. Hubungan antara Debit (q) terhadap volume Gelontor (Vg).....                                | 48        |
| 2. Hubungan antara Ketebalan sedimen (db) terhadap Fluktuasi Tekanan<br>( $h-h_0$ ) (cm) ..... | 51        |
| 3. Hubungan Antara waktu terhadap Volume Gelontor (Vg) .....                                   | 54        |
| 4. Kinerja <i>Flushing Conduit</i> .....                                                       | 56        |

|                            |           |
|----------------------------|-----------|
| <b>BAB V PENUTUP.....</b>  | <b>60</b> |
| A. Kesimpulan.....         | 60        |
| B. Saran.....              | 60        |
| <b>DAFTAR PUSTAKA.....</b> |           |
| <b>LAMPIRAN.....</b>       |           |

## DAFTAR GAMBAR

| Nomor                                                                                                     | Halaman |
|-----------------------------------------------------------------------------------------------------------|---------|
| 1. Proses Erosi hingga Pengendapan Sedimen.....                                                           | 9       |
| 2. Proses Erosi-Sedimentasi .....                                                                         | 9       |
| 3. Berkurangnya Kapasitas Waduk karena Sedimen .....                                                      | 11      |
| 4. Sedimentasi Normal dan Sedimentasi dipercepat.....                                                     | 13      |
| 5. Gerakan Sedimen dalam Air.....                                                                         | 16      |
| 6. Hukum Bernouli dalam Saluran Tertutup.....                                                             | 23      |
| 7. Aliran Laminer dan Turbulen .....                                                                      | 23      |
| 8. Diagram Moody .....                                                                                    | 26      |
| 9. Rancangan Model <i>Flushing Conduit</i> .....                                                          | 34      |
| 10. Rancangan Model <i>Flushing Conduit</i> (Tampak Samping) .....                                        | 34      |
| 11. Rancangan Model Pipa Hisap & Potongan Melintang .....                                                 | 35      |
| 12. Rancangan Detail Sedimen .....                                                                        | 35      |
| 13. Flow Chart Penelitian .....                                                                           | 39      |
| 14. Gradiasi Ukuwan BtrSedimen .....                                                                      | 47      |
| 15. Grafik hubungan antara debit hadap volume gelontor (Vg) untuk Q1 ....                                 | 48      |
| 16. Grafik hubungan antara debit hadap volume gelontor (Vg) untuk Q2 ....                                 | 49      |
| 17. Grafik hubungan antara debit hadap volume gelontor (Vg) untuk Q3 ....                                 | 50      |
| 18. Grafik hubungan antara ketebalan sedimen (db) terhadap Tekanan (kg/cm <sup>3</sup> )<br>untuk Q1..... | 51      |

|                                                                                                               |    |
|---------------------------------------------------------------------------------------------------------------|----|
| 19. Grafik hubungan antara ketebalan sedimen (db) terhadap Tekanan (kg/cm <sup>3</sup> ) untuk Q2.....        | 52 |
| 20. Grafik hubungan antara ketebalan sedimen (db) terhadap Tekanan (kg/cm <sup>3</sup> ) untuk Q3.....        | 53 |
| 21. Grafik Hubungan Waktu terhadap Volume Gelontor untuk Q1 .....                                             | 54 |
| 22. Grafik Hubungan Waktu terhadap Volume Gelontor untuk Q2 .....                                             | 55 |
| 23. Grafik Hubungan Waktu terhadap Volume Gelontor untuk Q3 .....                                             | 56 |
| 24. Potongan Bukaan Alur pada ketebalan sedimen 20cm,30cm,40cm dengan waktu 5 menit dan debit (0,0030) .....  | 57 |
| 25. Potongan Bukaan Alur pada ketebalan sedimen 20cm,30cm,40cm dengan waktu 10 menit dan debit (0,0051) ..... | 58 |
| 26. Potongan Bukaan Alur pada ketebalan sedimen 20cm,30cm,40cm dengan waktu 15 menit dan debit (0,0079) ..... | 59 |

## DAFTAR TABEL

| Nomor                                                                       | Halaman |
|-----------------------------------------------------------------------------|---------|
| 1. Klasifikasi Ukuran Butir Sedimen .....                                   | 16      |
| 2. Perbedaan Metode Kerja Fluidasi dengan <i>Flushing Conduit</i> .....     | 18      |
| 3. Nilai Kekasaran dinding untuk berbagai pipa komersial.....               | 26      |
| 4. Data running awal (running pendahuluan).....                             | 41      |
| 5. Data Pengamatan Untuk Q1 .....                                           | 42      |
| 6. Data Pengamatan Untuk Q2.....                                            | 43      |
| 7. Data Pengamatan Untuk Q3.....                                            | 44      |
| 8. Data analisa saringan .....                                              | 47      |
| 9. Hubungan antara debit (q) terhadap volume gelontor untuk Q1 .....        | 48      |
| 10. Hubungan antara debit (q) terhadap volume gelontor untuk Q2 .....       | 49      |
| 11. Hubungan antara debit (q) terhadap volume gelontor untuk Q3 .....       | 50      |
| 12. Hubungan antara db terhadap fluktuasi tekanan ( $h-h_0$ ) untuk Q1..... | 51      |
| 13. Hubungan antara db terhadap fluktuasi tekanan ( $h-h_0$ ) untuk Q2..... | 52      |
| 14. Hubungan antara db terhadap fluktuasi tekanan ( $h-h_0$ ) untuk Q3..... | 53      |
| 15. Hubungan Antara waktu terhadap Volume Gelontor (Vg) untuk Q1 .....      | 54      |
| 16. Hubungan Antara waktu terhadap Volume Gelontor (Vg) untuk Q2 .....      | 55      |
| 17. Hubungan Antara waktu terhadap Volume Gelontor (Vg) untuk Q3 .....      | 56      |

## DAFTAR NOTASI

|               |                                                                  |
|---------------|------------------------------------------------------------------|
| $Q$           | : Debit                                                          |
| $A$           | : Luas Penampang Aliran                                          |
| $Vg$          | : Volume Gelontor                                                |
| $\mu$         | : Viskositas absolute                                            |
| $V$           | : Kecepatan aliran (m/dtk)                                       |
| $Re$          | : Bilangan Reynold                                               |
| $P_s$         | : Rapat Massa                                                    |
| $F_1$         | : Kecepatan Endap                                                |
| $g$           | : Percepatan gravitasi ( $m/s^2$ )                               |
| $\varphi$     | : Kecepatan Endap                                                |
| $S$           | : Berat Jenis Butir                                              |
| $a$           | : Jarak Antar Lubang Isap                                        |
| $Df$          | : Diameter Lubang Isap                                           |
| $P_s$         | : Tekanan Stagnasi                                               |
| $P$           | : Tekanan Statis                                                 |
| $h_L$         | : Kehilangan energi karena gesekan (m)                           |
| $h_{bc}$      | : kehilangan tinggi tenaga akibat lapisan sedimen (cm)           |
| $\varepsilon$ | : porositas sedimen                                              |
| $k_m$         | : koefisien kehilangan tinggi energi pada lubang masuk pipa (m), |

## BAB 1

### PENDAHULUAN

#### A. Latar Belakang

Daerah aliran Sungai (DAS) adalah suatu lahan yang dantanya secara topografis dibatasi oleh punggung - punggung gunung dan sungai dan merupakan hujan lair kendiaman karke lahan luar Sungai (ChayAsdak, 2010). Namun lahan yang berkaitan erat dengan akifitas manusia menyebabkan keseimbangan ekosistem DAS terganggu.

Eksplorasi DAS membuktikan salah satu penyebab banjir di Sungai dan kejadian banjir berulang kali.

Sebutlah sediannya aduk berasal dari sebuah handi daerah airpan aduk. Beberapa karakter Daerah Air Sungai (DAS) seperti topografi, kelembaban, persoalan landuse/lancover berpengaruh terhadap perubahan sediannya DAS yang selanjutnya mengalir ke aduk. Untuk beberapa aduk, pembentukan aduk disebabkan landcover yg tidak sesuai pertumbuhan dan penambahan handi di DAS.

Kondisi sediannya atau pengendapan yang terjadi di aduk PLTA Bakau saat ini sudah sangat berbahaya dan berdampak terhadap pengerasian aduk tersebut tidak pun lagi. Pada kondisi tertentu, kekeruhan dan kekemasan sediannya yang besar akan juga dapat menyebabkan kerusakan pada jaringan binapukon dan bahkan

Lok Tanaga Air lain, dansudahpas berapakah thadapenaga  
kydibahanPLTA Bakan. Akibatbesar sedemensi yg  
jadi pada aduk PLTA Bakan, maka ditapkah bah hl esebut  
empakansalah tpehahndanseh  
pakyebatdaipengehaarPLTA Ba kar(Balibagda SulSel, 2002)  
dalam AshAhdidirL (2012)

Sedemensi diendapkandalankolamduk biasay disbakandi  
bah eleksi airml, tapaiyng baken  
semia dalam pengendalbajdi ataselvasairml  
hm seb sebagindari sedemakanengendappada elevashm  
pengendalbajn

Pada mjiandardibay suatuaduk atubendung  
adalah keteknikerday ardegancan nij  
kelebihan yg biasay tadi disaat impen. Ar yg datang  
epah pada impen esbut, ditapdan dipan seta  
dipekanscaat eptg seping  
ah Dhaahnh bajndapat  
dicegh seta klgan air pda sat inkemuba dapat diaas  
Waapdahnkondis ettlakdapat dibahw adukdapat  
tadi peintadiyah bah. Namhal intlak bisa dibadigan  
dengang aduk ygpmehkusi ygagatbesarbag  
pencehahenk atd ansehndustri

Pegukan sedemidi bebeap aduk sudahlikukansejakan  
namhal dina hgn Tebuki daribebagi ha  
spnehan

menunjukkan bahwa terjadi pengangkapan sedimen di danau dari tahun ke tahun.

Rencana pengukuran (*dredging*) endapan sedimen di danau sangat tidak

mungkin. Pengerukan dan pemasangan dinding yang sangat besar

Bahan kimia stabilisasi pelepasan (*dredging*) lebih baik dibandingkan bahan

operasi pengerukan (*dredging*) (Sudarmahy Widayati, 2009)

Usaha yang bisa dilakukan untuk pembersihan sedimen

dalam danau Bodaway adalah dengan melakukan pemisahan atau

pengelarusan sejauh hidraulik (*hydraulic flushing*). Pemisahan atau

pengelarusan sejauh hidraulik (*Hydraulic flushing*) adalah cara yang

lebih baik untuk mengelarikan kapasitas reservoir bila dibandingkan dengan

cara lain seperti penggalian atau pengukuran secara manual (*Dredging*). Hal

tersebut menjadi efeksi untuk penelitian pengukuran dan pengembangan konsep

*flushing conduit* yg relatif baik dan aman lingkungan. Adapun judul

penelitian ini adalah : “**STUDI PENGARUH KETEBALAN SEDIMENT PADA**

**FLUSHING CONDUIT TERHADAP OLUME PENGGELONTORAN**

**DENGAN MATERIAL DASAR PASIR HALUS DI WADAH (II**

**EKSPERIMENTAL)**

## **B. RUMUSAN**

Berdasarkan rancangan asalnya diajukan, maka dapat disusun

persyaratan berikut sebagai :

1) Bagaimana pengukuran ketebalan sediment terhadap tinggi (Vg)?

2) Bagaimana kinerja metode *flushing conduit* terhadap ketebalan (db) sedimen

### C. ~~Tujuan~~

Dengan adanya salah satu yang telah dikenakan, maka jauh penelitian adalah sebagai berikut:

- 1) Untuk mengetahui bagaimana kejadian node *flushing conduit* terhadap variasi ketinggian sedimen (db)?
- 2) Untuk mengetahui bagaimana pengaruh ketebalan sedimen terhadap volume gelombang (Vg)?

### D. ~~Makna~~

Manfaat yang dapat diperoleh dari penelitian ini adalah sebagai berikut:

- 1) Sebagai salah satu mengembangkan pengetahuan atau sandegan penempatan lapangan.
- 2) Memberikan informasi tentang pengelolaan sedimen dengan sistem *flushing conduit* agar aman lingkungan.
- 3) Dapat dijadikan sebagai salah satu bahan referensi untuk penelitian selanjutnya berkaitan dengan pengelolaan sedimen dengan sistem *flushing conduit*.

### E. ~~Batasan~~

Agar penelitian ini dapat berhasil dengan efektif dan mencapai sasaran yang ingin dicapai maka penelitian ini diberikan batasan sebagai berikut:

- 1) Penelitian ini difokuskan kepada sejauh mana pengaruh pengelolaan dengan sistem *flushing conduit* pada variasi ketebalan sedimen (db).

- 2) Dengan uji model di Laboratorium Fakultas Teknik Universitas Muhammadiyah Makaar.
- 3) Penelitian fokuskan khususnya sejauhnya pengaruh ketebalan sedimen terhadap gelombang (Vg).
- 4) Menggarap beberapa ketebalan sedimen (db) (20cm 30cm 40cm)

## F. Sifat-sifat

Ukuran dan sifat-sifat yang diperlukan dalam penelitian ini adalah ukuran, massa, sifat peleburan, sifat peleburan akhir dari sampel, peleburan pada suhu peleburan, sifat peleburan pada suhu peleburan akhir, dan sifat peleburan pada suhu peleburan akhir.

**BAB I PENDAHULUAN :** dalam bab ini akan diberikan penjelasan mengenai latar belakang masalah, jurnal ilmiah, metode penelitian, batasan masalah, dan sifat-sifat peleburan.

**BAB II TINJAUAN PUSTAKA :** dalam bab ini akan diberikan penjelasan mengenai penerapan teknologi dalam penelitian ini. Bab ini akan membahas tentang Penginderaan Gempa (PGDAS), Penginderaan Distanse (Penginderaan Distanse), Waduk, Kapal, Waduk, Sedimentasi air dalam saluran (PIPA), Flushing Conduit, air sedimen kedalaman, Prinsip dasar air sedimen dalam pa.

**BAB III METODE PENELITIAN :** dalam bab ini akan diberikan penjelasan mengenai metode penelitian, metode pengumpulan, analisa data, kerangka bantuan dan rancangan penelitian.

**BAB IV HASIL DAN PEMBAHASAN :** ~~makaikan~~ ~~ang~~  
pebahasan ~~ma~~ dilaksanakan ~~nya~~: ~~pnabi~~ ~~anda~~, anak  
dari ~~peha~~ ~~anda~~.

**BAB V KESIMPULAN DAN SARAN :** ~~bab~~ ~~mpakan~~ ~~ep~~  
~~sy~~ ~~be~~ ~~ke~~ ~~ndai~~ ~~sp~~ ~~ne~~ ~~in~~, ~~se~~ ~~a~~ ~~ndai~~ ~~pe~~ ~~ng~~  
bekal ~~de~~ ~~nt~~ pendukung ~~se~~ ~~st~~ ~~h~~ ~~ng~~ ~~di~~ ~~ah~~ ~~se~~ ~~am~~  
peneh ~~ndi~~ ~~ksanakan~~, ~~g~~ ~~mpakn~~ ~~ha~~ ~~apnagr~~ ~~penet~~  
~~l~~ ~~peneh~~ ~~se~~ ~~h~~ ~~da~~ ~~pen~~ ~~ndi~~ ~~pag~~ ~~an~~.

## BAB II

### TINJAUAN PUSTAKA

#### A. DAS DAN DAS)

##### 1. Pengertian

Menurut Webster, DAS adalah suatu daerah yang dibatasi oleh perbatasan yg memisahkan, penagnan dan mengakar ke gunungan dan setiap danau atau ke hulu DAS merupakan suatu bendungan didahului oleh tumpukan akibik, non bikam (Khaird Wijaya, 2011)

Daerah aliran (DAS) biasanya dibagi menjadi daerah hulu, tengah dan hilir berdasarkan lokasi. Daerah hulu merupakan daerah konserasi yg punya kapasitas drainase lebih besar dan akhirnya kelebihan air yg besar. Sedangkan daerah tengah merupakan daerah yang sangat berfungsi untuk menahan air, kelebihan air yg besar akan berdampak pada dua bagian DAS yg berbeda tersebut. Ekosistem DAS hulu merupakan bagian yg penting karena memiliki fungsi perlindungan terhadap seluruh bagian DAS.

##### 2. Pengelolaan

Pengelolaan DAS merupakan pengelolaan terhadap daya alam yg dapat pulih kembali dalam sebuah DAS yg dilakukan secara sistematis

entahan keseimbangan tuk penanaman Met

Departemen Kehutanan (2000) bahwa pengelolaan Dari sifat

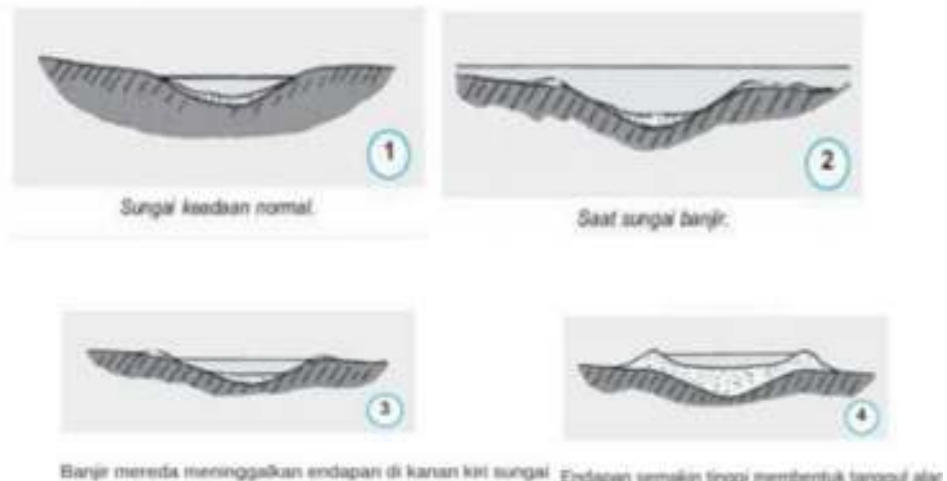
- a) Pengelolaan berdaya alam dapat diperbaiki
- b) Peremuhar kebutuhan akan keseimbangan datang
- c) Kelebihan keseimbangan lingkungan hidup)
- d) Pengendalian hubungan antara berdaya alam dengan manusia
- e) Peningkatan pendidikan dan sains

Erosi dan sedimen merupakan penyebab - penyebab tanah dalam

terjadi penurunan produktivitas tanah - tanah pertanian, dan pemanenan  
kuantitas air. Erosi itu terdiri atas : pelepasan pakel - pakel tanah (detachment), pengendapan pakel - pakel tanah (transportation), dan pengendapan pakel - pakel tanah (deposition) (For and Meyer 1973) dalam And S.(2010).

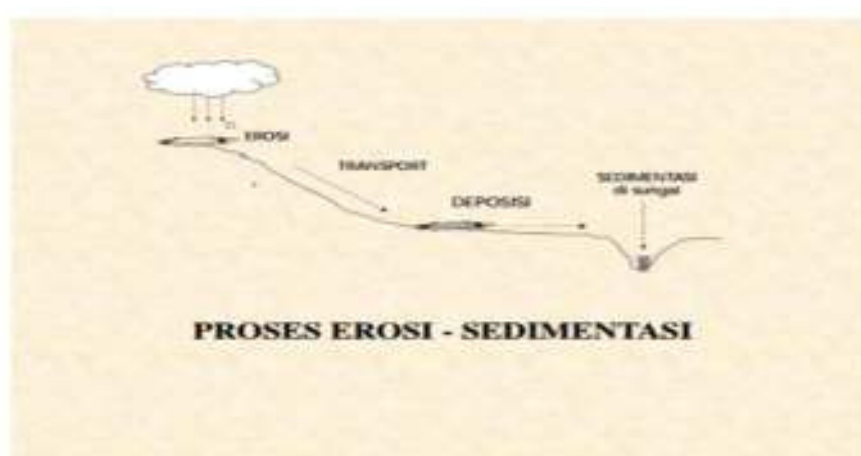
Penyebab tanah terjadi erosi di daerah pasir seperti Indonesia adalah air. Hal ini disebabkan oleh daerah yang memiliki kelembaban tinggi. Cuaca hujan per tahun cukup tinggi. Pasir erosi tanah yg disebabkan oleh air.

- a) Pelepasan butiran tanah akibat penggantian tanah.
- b) Pendahaman atau pengalihan butiran tanah India penyiar
- c) Pengendapan butiran tanah di area butiran tanah tidak dapat diakibatkan oleh India penyiar



**Gab** . Proses erosi hingga pengendapan sedimen(Sudarmas dan Tominaga, 2008) dalam sit R.Hakim(2015)

Erosi tanah dapat terjadi secara alamiah dan buatan. Secara alamiah, erosi dapat terjadi secara alamiah atau karena faktor alamiusendir sepet cah hujan yg tinggi, kepekatan tanah seta juga dipengaruhi vegetasi dapat terjadi secara akhir pada tanah dengan pertumbuhan peluncur, pegalungan dan pengendapan. Sedangkan buatan dapat disebabkan kana kegiatan dari manusia sepet pembukaan bahan di sekandaenahsing(DAS).



**Gab** 2.Proses Erosi -sedimenti(Agg B. Supangat 2014)

## B. W

### 1. P

Waduk ~~empakantep~~ pada penkaantanah yg diaksudkan tuk ~~eip~~ dan ~~emapung~~ air saat ejadi kelebihanair pada m~~sim~~ hujan, kemadianair yg beebihan~~e~~but diafakn~~k~~ bebagi kepehan~~speti~~ pehagenag k, arbehan~~h~~in.

Dalam pegeban her day ar aduk sej dipai pensahhan -pensahhan yg gaspekpeenca naan, pas dan peehanan aduk, sedintis adalah pensah myg ejidi pensahhan~~andi~~ aduk -aduk sehanin Salhsatpesoah~~h~~myg ejidi daempesidarpeehananaduk tpediaamirpada aduk akten . Pada shipehanil bebagikbutuhamedeg senelat sebagai akat pehanh penduduk, beng~~u~~ pensatmaj bekehag~~u~~ pehagn, seti kecendrgamny kuahsai akat pncemnbhbebag ai kigan(Bin 2003) dalam (S~~o~~darWahy~~u~~Widiy~~u~~, 2009)

### 1. K

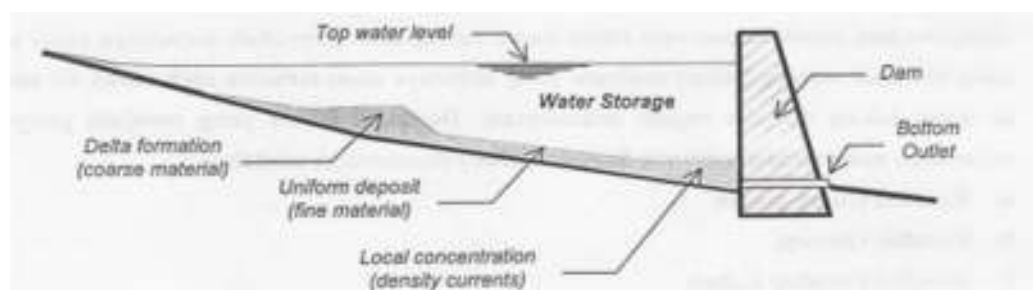
Lam nekonomi sebuah aduk bekisardi ana 50 ahun bagi aduk kecil degant~~u~~ sipan~~u~~faat sekiar 50 -100 jt m<sup>3</sup>, g bebeap atah bag aduk -aduk yg ebih besar egg dari bebagi shyghandipehmangansedir -sendir pada shipduk. Pada ak~~m~~ diak 80% dari kapasitas volen sipan amfaat~~u~~lah dipenuhi sdi myg tangkapdi dalam aduk sepanjang

aktuiti. Pada saat dand kondisi itukduk dah diaggapidak dapat lagi befungsi sebagaiana fungsi aduk itsendir.

Kapasitasaduk saat diencangkanbedakanpehitunganvolu  
mpanungan air tanpa aday sedimensi. Seiring bejalay aktu pengpasianaduk, tjadi sedimensi di aeal genaganhingga nyabban  
bekurang kapasitaspanunganaduk itsendir.

Pengendapandi dalamaduk seig tjadi lebih besardaipada yg telah dihiting dan/ataudihaapkanpada tahapdesign. Hal ini disebabkanoleh beberapa faktorseperti :

- Keidaktepatan dalam mengumpulkandar megelolah dat hidrologi danensi dari DAS pada tahapdesign.
- Bentambahan hasil sedimenkotokaena phantaa guna lahanDAS akibatmanajemen tidak hati-hati, atau kesanDAS.
- Operasi darpmelihanaaduk ang tidak bear



**Gambar** . Bekurang kapasitasaduk kaena sedimensi (Matal., 992)  
Metkasimetal., 1997,

kapasitasaduk secara murni dibedakanmenjadi tiga aitu

- Kapasitasmat (*dead storage*)
- Kapasitaspelaanan (*Active Storage*)
- Kapasitasol

### Upaya nyanduk untuk pakan flaria pungangan

(Illy et al., 1991). Sekiranya volen tapungan aktif mendakan sekiripendek melayangnduk. Pelayan volen tapungan aktif lebih baik disebabkan kerana bahan yang volen sedieng masuk kedalam aduk.

### C. Peranan Sabah ( )

#### 1. Peranan Sabah

Sediment adalah material hasil dari proses bakteri bebas penkaan, esofag atau respiration yang mendapdi bagi bahak bukit di daerah sungai atau sungai dan aduk. Sedangkan sediments adalah hampir sebagian besar pegendapan material fisiカル berada pada dasar dan sisi sungai.

Secara makrobaik dan sedimen merupakan bagian butiran halus induknya di tepat darat material tersebut berikan air atau kendian diketahui dengan pengindapan material yg terjadi tepat yg di. Bahaya esofag terjadi di daerah -daerah hutan kegiatan yg kelebihan besar sekitar 15% atau bilakah.

#### 2. Peranan Sabah

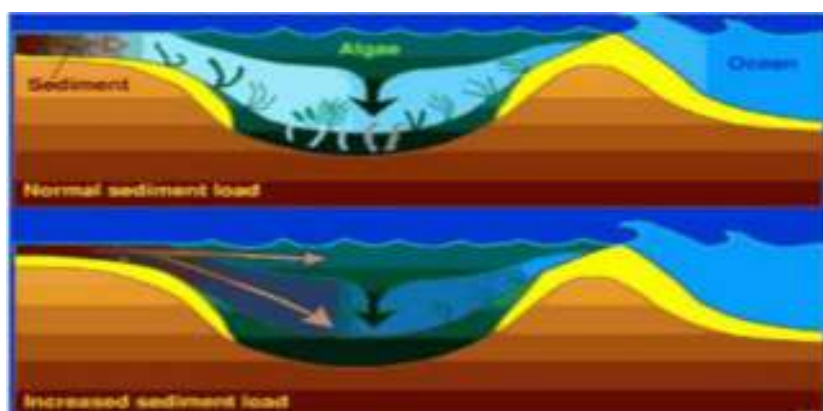
Posses sedimen dapat terjadi pada hutan hutan perairan dan sepanjang dasar aduk, dan sebagian. Bedakan menjadi sedimen dapat dibedakan menjadi dua bagian:

**a. P<sub>is</sub>etanah dan sedimentasi**

Yaitu p<sub>is</sub>estanah dan sedimentasi yang berjalan secara mal atau betang sepanjang geologi, artinya proses pengendapan yang berlangsung masih dalam batas-batas yang dipekan kembali dalam keseimbangan alam dari proses degradasi dan agritasi pada perataan tanah akibat pelapukan.

**b. P<sub>is</sub>etanah**

Sedimentasi yang dipecah oleh pergerakan tersebut adalah sedimentasi yang mempercepat pempekannya. Sedimentasi yang mempercepat pempekannya terjadi dalam waktu yang cepat, bersifat mensak atau mengikuti kandungan air yang tinggi. Sedimentasi yang mempercepat pempekannya terjadi dalam waktu yang cepat, bersifat mensak atau mengikuti kandungan air yang tinggi. Kejadian tersebut biasanya disebabkan oleh kegiatan manusia dalam mengelolah tanah. Contoh mengelolah tanah yang salah dapat menyebabkan erosional tanah dan sedimentasi yang tinggi.



**Gab** 4. Proses Sedimentasi Normal dari Sedimentasi dipercepat (sumber: [twsu.edu](http://twsu.edu), 2000) dalam Alka Mni Lubis (2016)

Sedimen biasanya digambarkan sebagai partikel padat yang digerakkan oleh fluida sedimen yang terjadi pada saat dan disebabkan akibat erosi yang terjadi pada lahan - lahan kritis yang terdapat pada tangkaparan Daerah Alian Sungai (DAS). Jika material sedimen yang terbentuk akibat erosi lahan tersebut masuk ke

dalam DAS dalam jumlah yg besar maka akibatnya akan berakibat pada sedimen yg tidak stabil. Akibatnya sedimen yg tidak stabil akan bergerak pada tanah dan air.

### 3. Sifat - Sifat sedimen

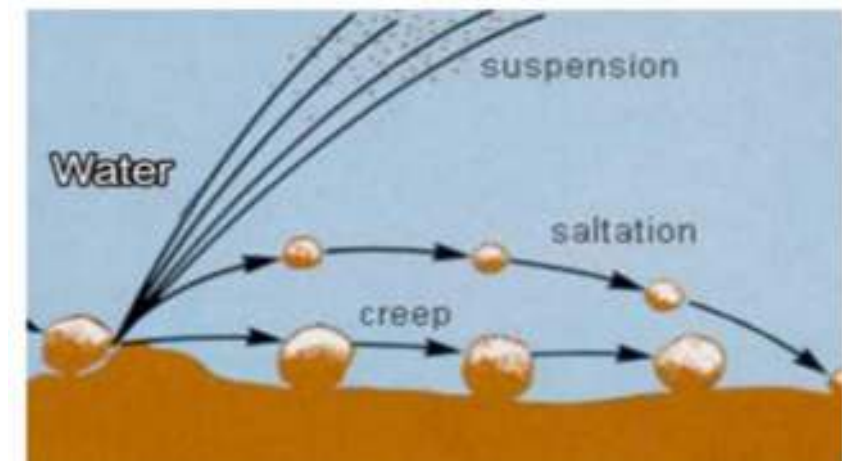
Sifat - sifat sedimen berpengaruh terhadap sedimen itu sendiri yg merupakan faktor peleburan sedimen yg lebih tahan. Untuk proses sedimen empakn hasilnya dari gejakan media pengaruh Nande (agam kurang, berkandungan air) buta sedimen ini pada posisi yang berada di atas air dan berada di atas pasir.

### 4. Mekanisme

Mekanisme (Asdak, 2007) dalam Anillah (2010) keceptan sifat sedimen merupakan fungsi dari keceptan aliran air dan ukuran partikel sedimen. Partikel sedimen kurang kecil seperti tanah liat dan debu dapat diangkut aliran air dengan bentuk aliran (*wash load*). Sedangkan partikel yg lebih besar atau batu, pasir cenderung bergerak dengan cepat. Partikel yg lebih besar dari pasir batu kecil (*gravel*) bergerak degan cara menyapu mengelinding di dasar sungai (*bed load*) seperti pada gambar 5.

Gejakan butiran tanah atau butiran pasir secara individual akibat tekanan titik - titik hujan atau erosi aliran air dalam aliran air yang kecil tersebut. Mekanisme pengikutan butir-butiran tanah yg dibawa dalam air yg mengalir dapat digolongkan menjadi beberapa bagian, sebagian

- a) *Wash Load Transport* atau angkutan sedimenici, yubahan *wash load*  
 berasal dari pelepasan tanah yang di pas ber p debu -debu  
 hab sehan nkeig Debu hab sehan dibawah ke  
 gibalk hain gih jing petampada in  
 in, seh in sediem pada aw in lebih baik  
 dibandingkan kadaanyan gian.
- b) *Suspended Load Transport* atau angkutan sedimen yang yutur -butir  
 tanah begak dalam air Geakan butir -butir tanah ini es  
 mendikompsir oleh geak bulensi alian sehingga butir -butir tanah  
 begeak melayang di atas salan.
- c) *Salation Load Transport* atau angkutan sedimen loncat yg pegeak butir -  
 butir tanah yg begak dalam air atau pegeak suspended load  
 dan *bed load*. Bi -butiran albegak secara tamanoncat -hcet  
 (skip) dan nleung ( bounce) sepanjang salan tanpa ngin dasar  
 salan.
- d) *Bed Load Transport* atau angkutan sedimen daar yg tempaknya  
 butir -butir tanah bep pas kasar ( coarse and) yg begeak secara  
 emggelinding ( rolling), endorg dan ngeser ( pushing and sliding)  
 tamanespada daara lia yg pegeak yg dipegangi oleh aday  
 gay seet(dag doe). Geakan ini kadang -kadang dapatsapi degan jaak  
 tindegandiandai bera butiran patkel esebut begeak ke  
 aah hilir ( Soeano, 1991) dalam sit Riskaz Hakin (2015)



**Gambar 1.** Ragan Geakar Sediment dalam Air (Sher Adity, 2003) dalam Aka Muri Lubis (2016)

### b. Dibin

Klasifikasi sedimen dibedakan menjadi lempung (*clay*), lumpur (*Slit*), pasir (*sand*), keikil (*gravel*), koral (*pebble*), atau keakal (*cabbles*), dan batu (*boulders*). Metrik klasifikasi berdasarkan ukuran butir dapat disajikan dalam tabel 1.

**Tabel 1.** Klasifikasi ukuran butir sedimen

| Klasifikasi         |             | Diameter partikel (m) |       |
|---------------------|-------------|-----------------------|-------|
| Bengkal             | Sangatbesar | 4096                  | 2048  |
|                     | Besar       | 2048                  | 1024  |
|                     | Sedang      | 1024                  | 512   |
|                     | Kecil       | 512                   | 256   |
| Keakal              | Besar       | 256                   | 128   |
|                     | Kecil       | 128                   | 64    |
| Korl (Keikil besar) | Sangatbesar | 64                    | 32    |
|                     | Kasar       | 32                    | 16    |
|                     | Sedang      | 16                    | 8     |
|                     | Hals        | 8                     | 4     |
| Keikil              |             | 4-2                   |       |
| Pasir               | Sangatbesar | 2                     | 1     |
|                     | Kasar       | 1                     | 0,5   |
|                     | Sedang      | 0,5                   | 0,25  |
|                     | Hals        | 0,25                  | 0,125 |
|                     | SangatHals  | 0,125                 | 0,062 |

|      |             |        |         |
|------|-------------|--------|---------|
| Lp   | Kasar       | 0,062  | 0,031   |
|      | Sedang      | 0,031  | 0,016   |
|      | Hals        | 0,016  | 0,008   |
|      | Sangat Hals | 0,008  | 0,004   |
| Lemp | Kasar       | 0,004  | 0,002   |
|      | Sedang      | 0,002  | 0,001   |
|      | Hals        | 0,001  | 0,0005  |
|      | Sangat Hals | 0,0005 | 0,00024 |

Sumber: Muhammad As'ad Thaha (2006)

#### D. Paleofluushing

##### 1. Definisi

Pinsipdai metode pegelaransedimen degarengi pnsia air

nduk (*flushing*) adalah megeluakan sedimen dengan megambil manfaat enegi hidrolik akibat beda tinggi atau mka air di depan dan belakang bendungan, untuk meplai enegi pada *sediment flushing system*.

Berdasakan pemasalahan metode fluidasi dengan menggunakan aliran pemukaan, maka di coba dikembangkan metode *flushing conduit* sebagai alternatif solusi dengan tanpa aliran pemukaan. Metode *flushing conduit* atau pengasam melalui pipa dengan memfaakan fluktiasi tkanantik mengusik endapan sedimen sehingga ter fluidasi, dan selanjutnya isapke dalam pipa melalui lubang kecil kemudian menjadi pendapan sedimen dalam ipa atau peng asar ke empatang lebih dalam .

##### 2. Pemeliharaan

##### Crusuut

Metode *flushing conduit* pada pemeliharaan adalah pegembagan metode fluidasi dengan dapat dilihat saling kekaitan petihaka pada tabel 2 berbedaan metode tersebut sebagai berikut:

**Tabel.** Perbedaan keje fluidasi dengan *flushing conduit*

| No. | Metode Fluidasi                                                                    | Metode <i>flushing conduit</i>                                                       |
|-----|------------------------------------------------------------------------------------|--------------------------------------------------------------------------------------|
| 1.  | Mengendalikan aliran <del>penkaan</del> mengalikan sediem ke daerah yg lebih dalam | Mengendalikan aliran dalam pipa <del>tk enggelkan</del> sediem ke daerah lebih dalam |
| 2.  | Mengandalkan panaan jet melalui lubang posisi tk engusik dan menggakat sediem      | Mengandalkan hisapan sediem melalui lubang isap ke dalam pipa dan sediem dalam pipa  |
| 3.  | Membutuhkan tekanan yg besar                                                       | Membutuhkan tekanan fluktuatif yg elatif besar                                       |
| 4   | Membutuhkan debit yg elatif besar                                                  | Membutuhkan debit yg elatif besar                                                    |
| 5.  | Sistem pengalian dilakukan dengan pengalian bebas                                  | Sistem pengalian dilakukan dengan pengalian berkenaan fluktuatif                     |
| 6.  | Tekanan dalam pipa hasil lebih besar daripada di luar pipa                         | Tekanan dalam pipa hasil lebih rendah dari pada luar pipa                            |

Sher. Ahd (2011 )

### 3. Faktor -Faktor

Efektif tidaknya hasil pengelaransediem (*flushing*) dipengaruhi oleh beberapa faktor sebagai berikut

- a) Dimensi dari *Flushing outlet*
- b) Posisi dari *Flushing outlet*
- c) Penyalur aduk darkecuan dan aduk
- d) Panjang, pendek, lebar dan lajur aduk
- e) Lidaknya aduk kearah *outlet*
- f) Distribusi darkepadatansediem
- g) Ketersediaan aduk tk pengelaransediem
- h) Fekuensi pengelaransediem

## E. AHDASAH (PIPA)

### 1. Definisi PIPA

Konsep *flushing conduit* (peguar malui pipa) adalah sistem perbaikan analindeganode flushing yang memakai pengelola deposit sedimen ke daerah yg lebih dalam sebagai alat untuk menghindari akumulasi deposit yg lebih dalam.

Aliandalampipa befungsi tk membawakan fluida dari suatu titik ke titik yg lain. Pada m fluida yg akan dipindahkan memiliki nilai keketalan yg berbeda-beda. Nilai keketalan ini sangat penting tk diketahui agar dapat mengetahui kebutuhan negi yg diperlukan.

MuchsindanSubagy(2011) Penelitian alian pada pipa (*internal flow*) dimulai sejak ahn pada J diantara tahun 1850, Julius Weisbach melakukan penelitian pada hulu pipa yg kemudian dianalisis oleh Peans, Henry Darcy pada tahun 1857 yg melakukan eksperimen alian pada pipa yg dikenal dengan pesanan Darcy -Weisbach. Kemudian Osborne Re jumlahkan eksperimen pada tahun 1883 yg memberikan persamaan Re dalam alian pada pipa. Dari sini kita tahu bahwa persamaan Re dalam alian pada pipa adalah  $R_e = \frac{4d}{\eta}$

Persamaan  $R_e = \frac{4d}{\eta}$  adalah persamaan yang menunjukkan bahwa aliran pada pipa adalah adiabatis dan tidak berpembatasan pada saluran buka. Jadi seandainya pada pipa aliran tidak penuh hingga masih ada yg bersifat udara maka sifat dan karakteristik aliran amdegan aliran pada saluran buka (Kadoate 2002: 215)

Dalam beberapa industri sebagian besar fluida yg mengalir pada pipa salin (*closed conduit flow*). Masalah yang mungkin lain:

- Terjadi gesekan pada dinding pipa.
- Terjadi bulir kena gejolak dalam pipa yg dipengaruhi oleh tekanan hidraulik pada bagian yg berada di luar.
- Terjadi krasian yang terjadi pada daerah yg tidak berada habatang yg pada akhirnya besar

Dari sejumlah hal tersebut diatas dapat diduga bahwa faktor-faktor teknis dan manusia merupakan penyebab utama.

Oleh karena itu diperlukan perbaikan lebih lanjut lagi pada bidang teknis dan teknologi dan teknologi.

Pendahuluan (cairan) tugas di dalam sebuah salin (pipa) sangat penting di dalam konsep flushing conduit yg merupakan pengelusutan di dalam pipa. Faktor-faktor yg mempengaruhi aliran dalam salin seperti Kecepatan, debit dan sifat-sifat lainnya.

## 2. MENGALIRKAN

Untuk mengalirkan air adalah tidak mungkin menggunakan coba-coba dengan menggunakan alat-alat dasar secara bersifat sembarangan. Sifat-sifat air dipelepas Syarat-syarat berikutlah yang merupakan syarat untuk mengalirkan air adalah

- Jumlah air yang akan diperlukan sebagian besar dengan

b

- b) Pesanan Darcy -Weisbach, atau gesekan eksponensial yg std,  
harus dipenuhi ppp; akni hubungan sesuai atm kegiatan  
tinggi ekarlandebit ang ada harus dipenuhi tuk pengalian tiappipa.

c) Aliarke taptik hubung harus sama degan alianag men inggalkartik.

### 3. Síl -sh      in      ma

dalam suatu sistem melewat sistem atau alasi pipa akar menjadi suatu hambatan dan dimana hambatan tersebut disebabkan faktor-faktor berikut:

- alasi. Hambatan tersebut dapat menyebabkan engsel dari fluida
- sebabkan dengan kegantungan tekanan (*head loss*) atau penurunan tekanan (*pressure drop*) yang disebabkan oleh pengaruh gesekan fluida (*friction losses*) dan perubahan pola arus yang terjadi karena fluida harus mengikuti bentuk dari dinding.

## 4. Kaka Flea

Debit adalah suatu bagian petig dalam suatu pegaslian tidak kecuali pada aliran dalam pipa mapsalutn ebuka. Sehingga tuk menghitung bear debit dalam suatu pegasliandigunakan pesamaan umum sebagai berikut:

Dimana :  $Q = \text{Debit air} (m^3/\text{dt})$

A = Laspeampag alias(m<sup>2</sup>)

V = Kecepatan alir dalam pipa (m/dtk)

## 5. MelKeetazan

Pinsip ~~agnasi~~ makandaar dari tabung pitong digunakan untuk mengukur kecepatan larutan cair. Tiuk agnasi terjadi pada ujung bawah pipa agar mendatar dan tekanan akan lebih besar daripada tekanan cair di sekitarnya sebesar tinggi kecepatan  $V^2/2g$ , agar ditunjukkan oleh kenaikan cairan ~~di dalam~~ tabung. Sehingga (Triatmodjo, 2008)

$$= \sqrt{2gh} \left( \frac{L_s - p}{v} \right)^{1/2} \dots \quad (4)$$

Dimana:  $p_i$  = Tekanan stagnasi ( $\text{kg/cm}^2$ )

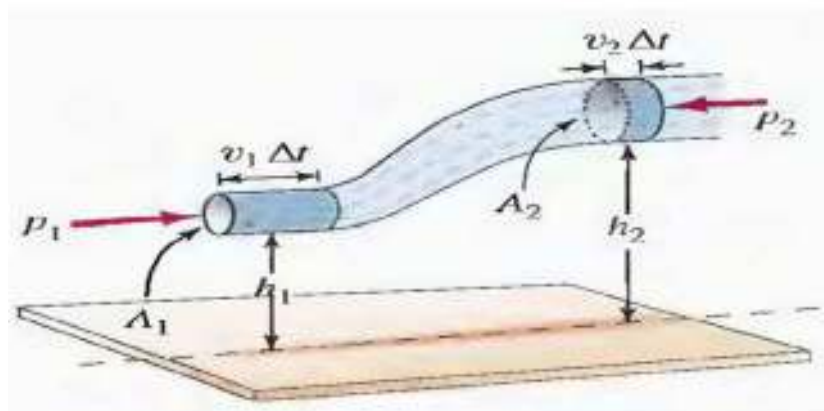
$p$  = Tekanan statis (kg/cm<sup>2</sup>)

**h** = Tinggi air pit(cm)

$g$  = Percepatan gravitasi(m/ $s^2$ )

## 6. **P**arti **B**au*Li* **T**he*Da***ta**

Asas Benoulli menekankan bahawa pada pipa agak mendatar (horizontal), tekananfluida paling besar adalah pada bagian kelajuan alir paling kecil, dan tekananpaling kecil adalah pada bagian agak kelajuan alir paling besar. Penemu ini dikemukakan pertama kali oleh *Daniel Bernoulli* (1700-1782), sehingga dikenal sebagai asas *Bernoulli*.



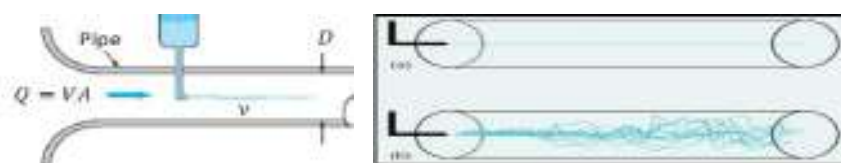
**Gambar** . Hukum Bernulli pada saluran (ber. Qiw, 2012)

## 7. Akselerasi

Secara garisbesar pada alirannya pada bagian di bawah:

alir bulan, dantik atau aliran dan bulan. Pada aliran

sangat berpengaruh pada faktor-faktornya.



**Gambar** . Perbedaan antara aliran Akselerasi (a) dan bulan(b) pada saluran (pa)

Aliran akelerasi adalah suatu aliran dimana gaya kelelahan air

sangat besar dibandingkan dengan gaya kelelahan air, sehingga aliran dikuarasi

dengan kelelahan air. Pada aliran akelerasi fluida bergerak secara tetap

Pada kelelahan air yang tidak di pencampuran gas dan

yang tidak degassing ini. Pada aliran akelerasi yang disebut aliran kaeraa yang

seperti gabungan dari dua fluida (laminar) yang sangat bergerak secara

akelerasi dikenal kecepatan fluida

yang bergerak secara

acak dan yang bergerak secara tetap. Pada aliran akelerasi,

fluida tidak begerak pada suatu garis yang halus dan kecepatan fluida benar-benar secara acak sehingga adanya.

Pembedaan antara alian lainer dan bulen petam kali dikalifikasikan oleh Osborne Reffs pada tahun 1883. Reffs melakukan percobaan dengan kantong pena pada airang megalir dalam pipa.

Pada lajualianang endah, ~~at~~ pernah mengalisecaan ~~datu~~ dan tidak  
~~ecamp~~ hingga ke hilir Pada lajualianang lebih tinggi, ~~at~~ ~~pernah~~  
~~ecamp~~ pada seluruh bagian dari pipa.

Methasil perobaan Renold, tuk membedakampkah alianru  
bulenatulaminer dapatmen ggunakanbilagaranak bedimensi ag disebut  
dengabilagaran Reynold agarini dihitung denganpsamaarbeikut:

Dimana :  $R_e$  = Bilangan Reynold (tak bedimensi)

V = Kecepatan -ata (ftsatum/\$)

D = Diameter (ft) (ftatum)

= Viskositäskinematik ( $\text{m}^{-2}/\text{s}$ )

Sifat alian dalam pipa begitu pada bilangan Reynolds. Untuk aplikasi pada bilangan teknik, batas atas alian laminier biasanya diambil pada bilangan Reynolds 2300. Apabila bilangan Reynolds lebih dari 4000, maka alian dianggap bulen. Untuk bilangan Reynolds di antara 2300 dan 4000, alian tidak dapat diprediksi dan biasanya benar bahwa sifatnya laminer dan bulen. Aliran ini biasa disebut aliran transisi.

## 8. KEMyDaGk

Alianfluida yg melui pipa akan selalu mengalami kehilangan energi. Hal ini disebabkan oleh gesekan yg terjadi antara fluida dengan dinding pipa ataupun bahan kecepatan yg dialami oleh aliranfluida.

Kehilangan isi akibat gesekan dapat dihitung dengan menggunakan Darcy Darcy - Weisbach yaitu :

Diana :  $h_L$  = Kehilagañegi kaena geskar(m)

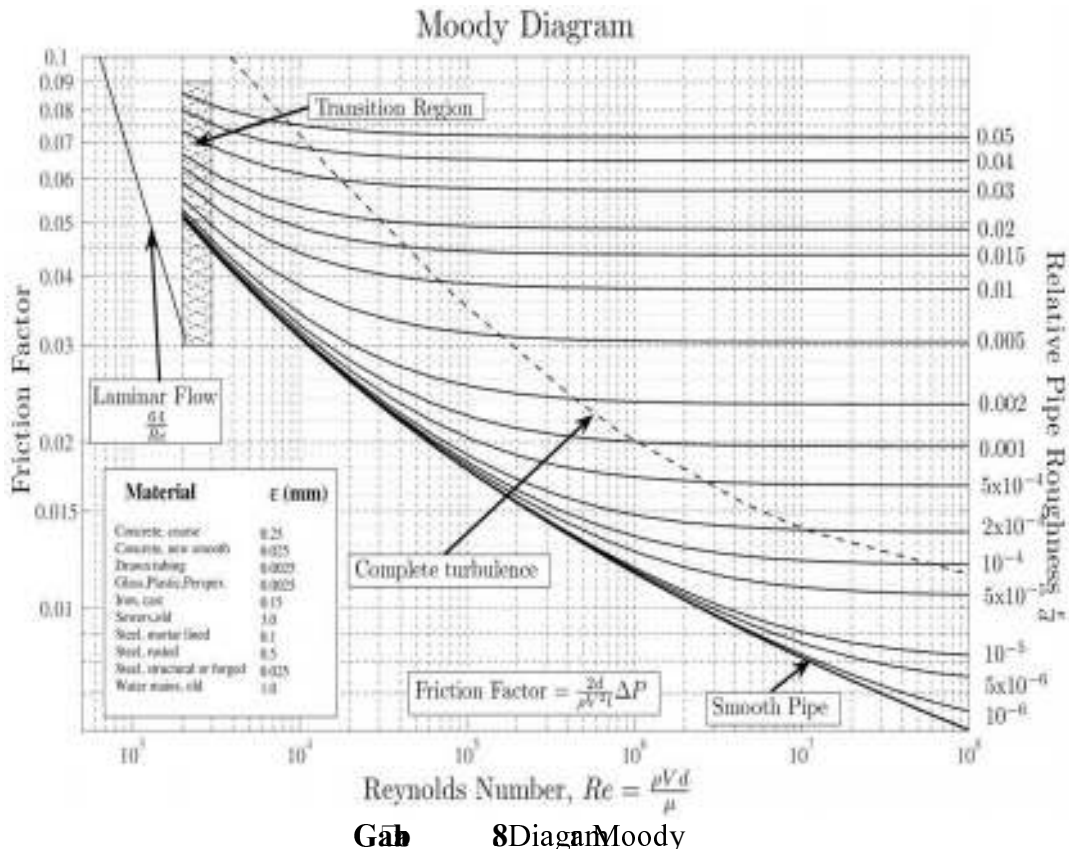
$f = \text{Koefisier gesekan Dar} \square - \text{Weisbach (diperoleh dari grafik mood)} \square$

L = Panjang pipa (m)

D =Diameter pipa (cm)

V = Kecepatan laju (m/dtk)

**g** = Percepatan gravitasi (m/ s<sup>2</sup>)



Gab 8 Diagram Moody

Tb 3. Nilai Kekasaran dinding tuk bebagai pipa komersial

| Pipa Material               | Equivalent Roughness, $(\frac{\epsilon}{d})$ | Hazen Williams Coefficient C |
|-----------------------------|----------------------------------------------|------------------------------|
| Bass, copper/aluminium      | $3.3 \times 10^{-6}$                         | 140                          |
| PVC, Plastic                | $5 \times 10^{-6}$                           | 150                          |
| Cast Iron                   |                                              |                              |
| New                         | $8.0 \times 10^{-6}$                         | 130                          |
| Old                         | -                                            | 100                          |
| Galvanized Iron             | $5.0 \times 10^{-6}$                         | 120                          |
| Asphalted Iron              | $4.0 \times 10^{-6}$                         | -                            |
| Wrought Iron                | $1.5 \times 10^{-6}$                         | -                            |
| Commercial and Welded Steel | $1.5 \times 10^{-6}$                         | 120                          |
| Riveted Steel               | $60.0 \times 10^{-6}$                        | 110                          |
| Concrete                    | $40.0 \times 10^{-6}$                        | 130                          |
| Wood Stave                  | $20.0 \times 10^{-6}$                        | 120                          |

Sumber : Ram S. Gupta. Hydrology and Hydraulic Systems. Prentice Hall. London. 1989.

Chapter 11, hal.550

Diagram Moody adalah digunakan untuk menyelesaikan peralihan aliran fluida di dalam pipa dengan menggunakan faktor gesekan pipa ( $f$ ) dari Darcy-Weisbach. Untuk dapat menentukan besarnya nilai  $f$  dari diagram Moody harus diketahui besarnya bilangan Reynolds dan perbandingan kekasaan dinding pipa dengan diameter pipa tersebut ( $\frac{\epsilon}{D}$ ). Nilai kekasaan dinding pipa diberikan pada table 2.

## 9. Kritik und Fazit

Kesepan pada sumbu jet sama dengan kesepan jet dilubang.

Tinggi  $z_1$  yang dipegahi oleh tebulensi dargesekan jet degarfaksi solid dan fluida agar ada disekitar Pada fenomena atau fluidisasi dan flushing tinggi  $z_1$  rataif kecil kaena gesekan sedimen disekitar sehingga dapat dianggap tidak signifikan terhadap keseimbangan sedimen. Dengan demikia  $d_b$  dan  $d_c$  memang dihitung dari berat beban slinder sehingga  $d_b = d_c$ . Kehilagan tinggi tenaga oleh lapisan sedimen selanjutnya dapat dituliskan dengan menjinjau keseimbangan gaya berat ( $\rho.g.h.A$ ) dengan berat sedimen dalam air ( $\rho_b(1 - \varepsilon)A(\rho_s - \rho)$ ). Kebutuhan tinggi tenaga akibat kehilangan tenaga dapat disimpulkan seperti berikut : (Thaha, 2006).

Dimana :  $h_{bc}$  = kehilangan gi t naga akibat lapisan dimer (cm)

**d<sub>b</sub>** = ketebalan dimen (cm)

$\rho =$  apat mass air

$\rho_s$  = apat massadimen

$\varepsilon = \rho g$  itas sedimen

$g$ =percepatan gravitasi (m/ dtk<sup>2</sup>)

### 10. Khadha i'a

Selain kehilangan negi kaen gesekan degandinding pipa, selama pengalihan air kehilangan negi kaen hasil membelok sehingga menjadi bulensi. Demikian pula jika aim melalui perampangan dan pembeasian seca iba -iba.

Kehilangan negi di empat tipe tersebut mungkin saja jauh lebih besar dibandingkan dengan kehilangan negi akibat gesekan depan pipa. Pada kondisi lain, saat pipa sangat panjang kehilangan negi minim atau kunder mungkin menjadi tidak signifikan hadap kehilangan negi tipe ma. Kehilangan negi minor dalam bahasa matematika sebagai (kelas D., 2009)

Dimana:  $k_m$  = koefisien kehilangan energi pada lubang masuk pipa (m),  
diambil  $k_4 = 0,04$  untuk lubang masuk ujung bulat dan kecil.

= kecepatan laju (m/dtk)

$g = \text{p\acute{e}c\acute{a}ta n g r a a v i t a s i}$  (m/dtk $^2$ )

## F. Ais di Dala ika c) usut

### 1. M~~u~~<sub>u</sub> S~~Ke~~D~~ala~~

Pegbab ~~tanau~~ky sediemke dalampa ( *flushing conduit*)

adalah sebagai berikut :

Sediem~~en~~libasap, ~~ng~~lisebabkan

- a) Tipe libasapakanbukaan~~ng~~ pada dindigpa *flushing conduit* endahka nsediem~~en~~hantehanake dalampa kaena beatsendij tekanan~~ng~~ danian~~ng~~libasap besar
- b) A~~kan~~basak~~an~~ke dalampa libasap saat t~~ek~~nan dike~~kan~~dari~~ng~~ k~~as~~ Poses~~te~~jadi apabih~~an~~ k~~an~~di dalampa ebilendahlapada di harpa.

### 2. Pid~~T~~Si~~da~~la

Met~~u~~(Madjikoen, 1987) ~~tp~~ sediem~~en~~ adalah perpahan

perbaikan sediem~~en~~ (kohesif) oleh air yg sedang ~~ng~~alir dan gak~~an~~ sedim~~en~~ ~~en~~adah sealahm~~an~~

Trapsediem~~en~~ dalampa dipehkandahnbida~~ng~~pedahn endapan li p~~an~~ danpe~~ng~~kan( *dredging*). Manfaat sistem ini dalam kedua bidang t~~es~~but adalah tuk eindahkan sediem~~en~~/endapan pada *minimum head loss* tanpa peng endapn . Aspek penting dari s~~is~~m ini adalah bagaimana memprediksi *head loss* darkecepat~~an~~ minimum atau kecepat~~an~~ sagarsupa~~an~~ pipa thindardai pegendapan. (Amullah, 2010)

Faktor-faktor menetikam~~en~~ sedimen~~en~~ alah sebagai berikut

- 1) Sifat-sifat aliran air (*flow characteristics*)
- 2) Sifat-sifat sedimen (*flow characteristics*)
- 3) Pengaruhnya ~~thal~~ balik antara sifat aliran air dan sifat sedimen (*interaction*)

Dalam desain ~~tips~~ sedimen dalam Pipa, dua ~~pasang~~ faktor ~~ini~~ akan

~~yang~~ dihdaiyti :

- a) *Stationary bed regime* kena ~~tidak~~ mengakibatkan ~~tipis~~ padat apap
- b) *moving bed regime* sebab jika dibawah kondisi mal, *regime* ini menghasilkan resiko hambatan/penumbatan pada saluran pipa

## **BAB III**

### **METODE PENELITIAN**

#### **A. L~~okasi~~**

Penelitian ini dilakukan di Laboratorium Fakultas Teknik Universitas Muhammadiyah Makassar pada bulan Mei 2017 sampai Oktober 2017.

#### **B. Alat dan Bahan**

Secara mat dan bahan yg digunakan memiliki dan  
alat pendukung *flushing conduit* dalam pekerjaan penelitian adalah sebagai berikut

- 1) Alat
  - a) Pipa PVC 3 sebagai penghantaran sedimen yg diuji
  - b) Peralatan penaksian sedimen hasil gelombang seperti timbangan, casan, saing gelasuk dan open
  - c) Peralatan begkel seperti mesi pemotong, geinda, hammer
  - d) Pipa Isap
  - e) Pompa air 2 buah sebagai pemompa air dari bak penampungan
  - f) Stopwatch menghitung aktuan yang digunakan pada pengukuran debit
  - g) Tali darbenang sebagai pemandu dalam pembuatan model
  - h) Flourometer untuk mengukur kecepatan aliran ang arus masuk kedalam pipa *flushing conduit*

- i) Kertas A4 dalam lapisan plastik untuk menghindari air pada saat uji model
  - j) Komputer digital sebagai alat pengambilan dokumentasi penelitian.
  - k) Cangkul, lis, skop untuk pengambilan sampel tanah
  - l) Mistar dan Ruler untuk ukuran sediaan dan paings
  - m) Peralatan kandang hidup penelitian.
- 2) Bahan
- a) Sedian sebagai model percobaan, keebahan sedia yang digunakan berupa pasir (20 cm<sup>3</sup> 0 cm<sup>4</sup> 0 cm)
  - b) Bak air tipe bak his dan bak diseti sangatlah sediam
  - c) Alat pengamatan dan alat ukur

### C. Jenis Penelitian

#### 1. Jepenehan

Jepenehan digunakan adalah hasil dari peristiwa tersebut dibuat dan dicampur sendiri oleh peneliti dengan teknik - teknik yang berbantuan flushing conduit, setelah itu dengan jarak yang sebab akibat dari penggelembungan sedimen setelah beberapa kali penggelembungan pada sifatnya.

#### 2. SherData

Pada penelitian ini terdapat dua (2) sumber data atau lainnya sebagai berikut:

- a) Data ~~primitif~~ yg diperoleh langsung dari hasil simlasi model fisik di laboratorium
- b) Data sekunder yg diperoleh dari literatur atau hasil penelitian yg telah dilakukan sebelumnya baik yg telah dilakukan di laboratorium ditempat lain (lapangan) yg berkaitan dengan penelitian tentang penggantian ~~lubang~~ atau *flushing conduit.*

#### D. Metode

Pada penelitian ini akan menggunakan dua Variabel, yaitu

- 1) Variabel bebas atau variabel pembuat (*Independent Variables*)
  - a) Kecepatan aliran (y)
  - b) Suhu (T)
  - c) Volum Gelombang (Vg)
  - d) Variasi Ketinggian Sedimen (h)
  - e) Faktor gesekan (μ)
- 2) Variabel terikat atau Variabel tergantung (*Dependent Variables*)
  - a) Debit(Q)
  - b) Waktu(t)
  - c) Tekanan Dalam Pipa (P)
  - d) Panjang pipa (L)
  - e) Diameter lubang (d)
  - f) Spasi Lubang (a)

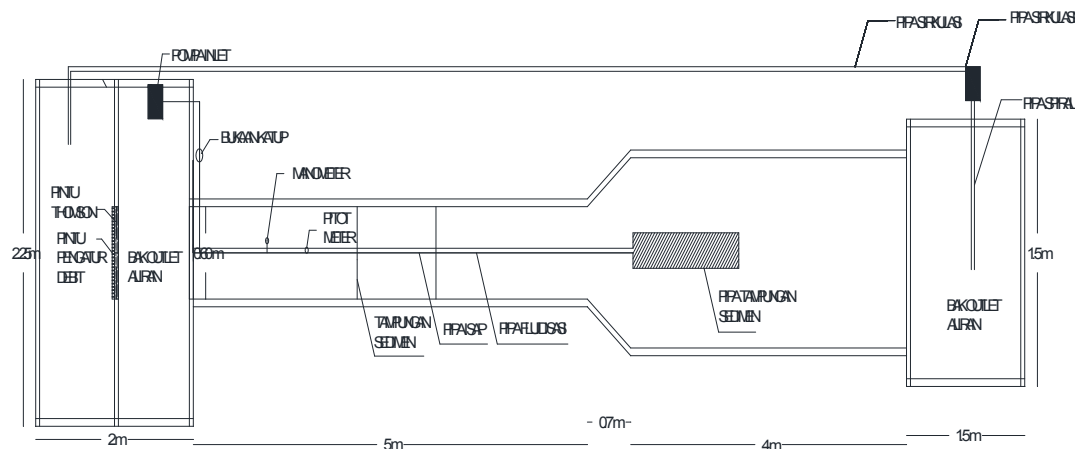
## E. Tahap

### 1. Persiapan

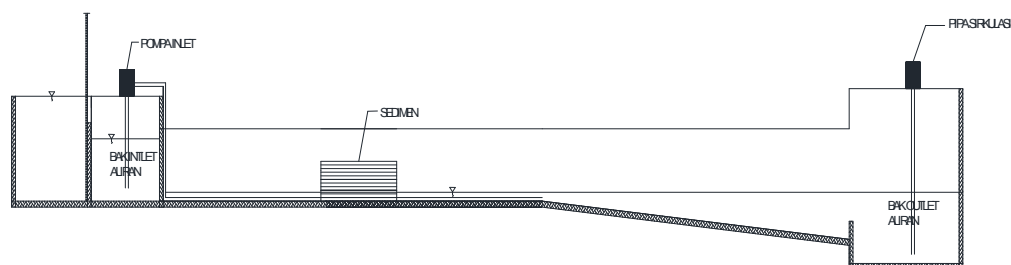
Tahap persiapan Studi ~~kuantitatif~~ dilakukan dengan ~~memperbaiki~~ ~~memperbaiki~~  
 data dan ~~menyakandimat~~ sebagai ~~referensi~~ ~~dalam~~ ~~mengukur~~  
 penelitian (*Flushing Conduit*) setelah ~~lakukan~~ persiapan ~~pelehatan~~ ~~model~~ di  
 Laboratorium dan ~~untuk~~ ~~persiapamalat~~ dan bahariuk pebuatan salin

### 2. Perancangan Model

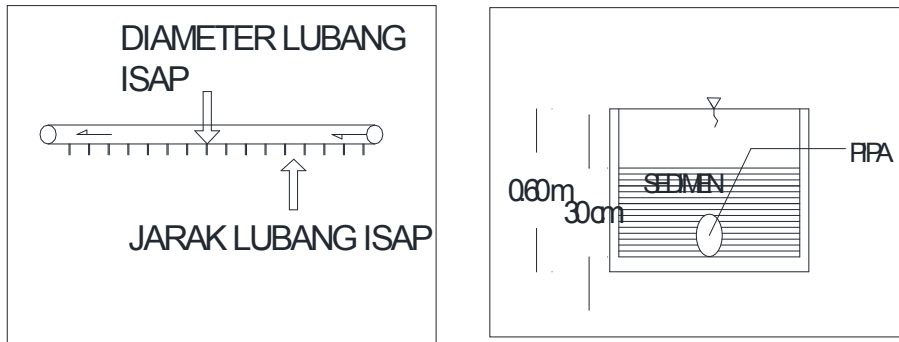
Perancangan model untuk penelitian dilakukan lebih dahulu untuk  
 perancangan model ~~dan~~ penelitian *Flushing Conduit* yang lebih jelas sehingga  
 dalam penerapan dilakukan dapat berjalan sesuai dengan rencana.



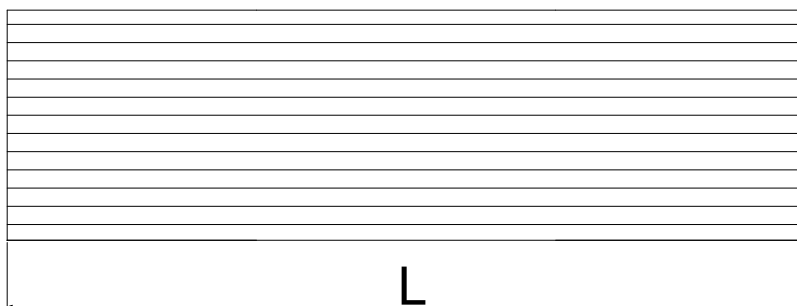
Gab 9. Rancangan Model *Flushing Conduit* (Denah)



Gab 10. Rancangan Model *Flushing Conduit* (tanpa sapig)



**Gab 11.** Rancangan Model Pipa Hisap & Pengaruh Melintang



**Gab 12.** Detail Rancangan Bal lapisan sedimen

### 3. Pembuatan Model Salinan

Pelaksanaan pembuatan uji model merupakan kejadian utama dalam penelitian ini (*Flushing Conduit*) guna mengetahui cara kerja konsep *Flushing Conduit*, setidaknya pengambilan data hasil percobaan akan dilakukan.

#### 4. pengambilan data (unning)

Percobaan awal dilakukan menggunakan (simulasi model) untuk mengetahui kemampuan alat dalam mengetahui kisaran variable .

#### 5. Analisi dan Pembahasan

Analisis dan pembahasan dilakukan setelah diperoleh data yang dibutuhkan tidak diolah menjadikan sebuah infomasi agar kita

## F. Pr~~Bah~~

Lagkah -lagkah dalam lakukan percobaan dalam penelitian

- a) Mengandelsahit buka daipasang batdeung  
sahit membarsahit misahit 50 cm beserta petekan  
sepetpa ~~hi pa hi bak~~ (uk. 2.25m  $\times$  2.25m  $\times$  2m)  
sebagai supla~~□~~bak tet (uk. 1.5m  $\times$  1.5m  $\times$  1m), dan sengansbagai  
penamp~~g~~ sedimen~~g~~ egel~~b~~
- b) Pipa Flushing PVC diameter(2.0 inci), dibuat lubang isappa sisi kir dan  
kanan sepa njag 1 m degamah hoizh dengan diamet~~r~~ 10 mm darjaak  
(spasi) lubag 6 mm
- c) Pada Bak p~~n~~pla~~a~~irdi pasang pitukur Thom~~s~~uk mengukur debit  
aliansipemukaan, dan pipa (supla~~□~~) dipasang alatukur kecepatan air damalat  
ukur tkananair(M amet~~e~~). Selain itu dipasang pula skrancbelm air  
melesat pit~~d~~analat ukur tkananair(Mameet~~e~~). Pada pipa itet juga  
dipasang sambungan degarpompa tuk flushig konduit kemudian dipasang  
skrandarjga pipa pembuag di psag ambun gamdegarpompa tuk  
sikulasi.
- d) Mengkai alat dan bahan~~an~~ sudah tsedia kemudian percobaan siap  
dilakukan
- e) Menjalankan pompa tuk melaksanakan nng kosong degamgalikan  
air tanpa pemberiansediment~~t~~ menetkan debit~~an~~ digukan
- f) Selanjutnya menjalankan pompa dengan megalikan air ssuai debit dan  
pemberiansedimen~~g~~ telah ditetkan

- g) Mengantikondisi sedimen yang tidak平衡kanalat pengukurkanan sedimen  
aktif telah diambil. Dalam hal ini aktif dan ketebalansedimen  
(db) yg digunakan 3 macam variasi
- h) Setelah variasi dan perbaikan tahanan selesai, sejauh ini  
banyaknya sedimen yg dibutuhkan
- i) Prosedur ini dilakukan dengan beberapa kali percobaan diambil dari  
keadaan sedimen 20 cm 30 cm dan 40 cm diketahui dan  
pebandingan

## G. PISUMA

Pelaksanaan pismel dan halaman pada tahap awal

- a) Dipotong bagian PVC dengan ukuran 2 inci (5) flush sepanjang 1 meter  
dengan jarak lubang 6 cm dan diameter lubang 10 cm Pipa PVC 1 meter dibuat  
lubang pipa isapsisi kiri dan kananlah hoizh
- b) Sedimen dibuat dengan bentuk segi empat dalam salinan. Dimana ketebal  
sedimen ber variasi adalah ( $db_1 = 20 \text{ cm}$ ,  $db_2 = 30 \text{ cm}$ , dan  $db_3 = 40 \text{ cm}$ )
- c) Bak air tidak suplai diisi sesuai kebutuhan pengujian agar cukup untuk  
sirkulasi air
- d) Kemudian pintu air di cek (dibuka) sesuai dengan kebutuhan bukaan  
pengujian ( $60^\circ$ ).
- e) Selanjutnya dilakukan pengujian dengan masing-masing ketebalansedimen.  
Percobaan dilakukan ukuran gesek bukaan pintu air ( $60^\circ$ ). Bukaan dilakukan

sebanyak 3 kali tidak asing                          -asing variasi tidak mendapatkan debit aliran

dari muara                          -ekap (skrak) tidak mendapatkan karakteristik

f) Pengamatan kondisi sedimen dimulai dengan sedimen dan menjalankan

perihal sesuai dengan waktu yang telah ditentukan dan mencakupkan teknik

pada metode tipe pada p

g) Data hasil perobaan yg hasilnya adalah teknologi pada metode

tipe pada perlengkapan teknologi

h) Hasil pengukuran sedimen yg telah menjadi data jumlah sedimen

endapan yg telah ditarik ciri

i) Tahap awal point(a) sampai dengan(h) menjadi tahapan similasi penelitian.

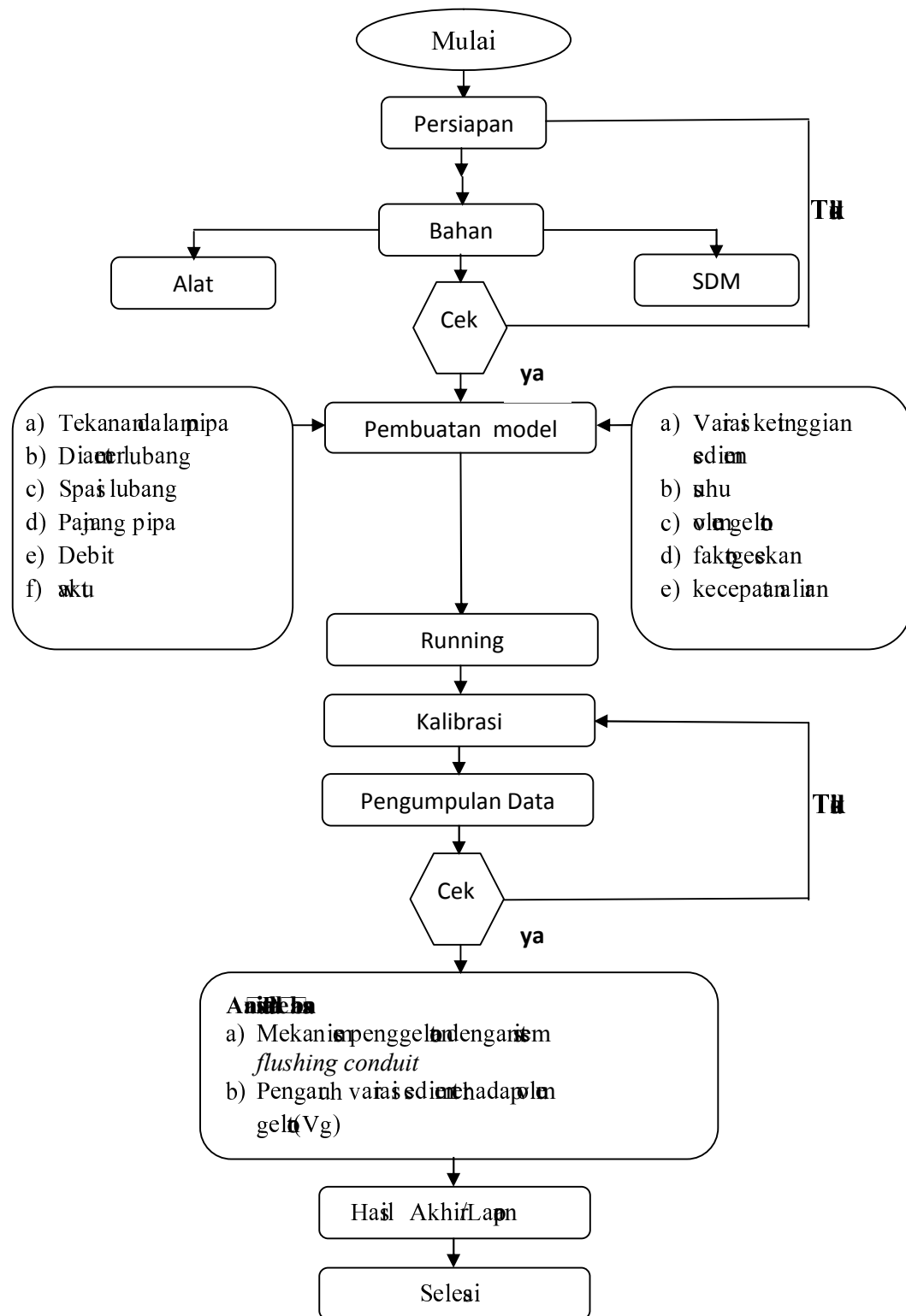
Selanjutnya tahapan ini diulang dengan variasi kelebihan sedimen 3 kali

sehingga data penelitianku p sejumlah 81 data.

## H. Pendahuluan

Hal penting dalam penelitian adalah pengambilan data. Pada dasarnya data yg diambil adalah data yg akan digunakan sebagai parameter dalam analisa. Data -data yg yg telah diukur saat penelitian berjalan, hasilnya di input pada tabel 3 fitur penyajian data

## I. Flushing



Gab 13. Flowchart penelitian

## BAB IV

### HASIL DAN PEMBAHASAN

#### A. Deskripsi

Deskripsi data yg akuisisikan dari hasil penelitian adalah tuk  
mengetahui sifat-sifat dan pengaruhnya terhadap data yg diperoleh di  
laboratorium. Adapdata penelitian yg diperoleh di laboratorium dibedakan  
menjadi dua yaitu:

1) Variabel bebas atau variabel pengaruh (*Independent Variables*) adalah :

Tinggi(V), Kecepatan Aliran(y), Tingkat air(h), Tekanan(p)

2) Variabel Terikat atau Variabel tergantung (*Dependent Variables*) adalah: Luas  
penampang aliran(A), Lebarsaluran(B), Debitair(Q), Waktu(T)  
sedimen(D), Densitas air(Df), pilih bagian sap(a), paing pada  
flushing(L)

Data data yg dipilih dari hasil percobaan di laboratorium adalah  
mengetahui sifat-sifat dan pengaruhnya terhadap data yg diperoleh  
sedimen, sebelumnya data dibuat dalam bentuk tabel dan dilakukan  
pendekatan (y = ax + b). Jika dilihat pada persamaan y = ax + b  
pendekatan adalah untuk mendapatkan data yg ideal dengan agar  
data yg dipilih bisa semakin baik. Adapdata rata-rata  
ataupun pada tabel 4 berikut

Tabel 1. Fomata analis (Ring AW)

| No | Bukaan Kap (Bk) | Bukaan jn | Tinggi Air (h) (cm) | Tinggi Pipa (h) (cm) | Tekanan (P) (kg/cm <sup>2</sup> ) | Kofisen | Debit (Q) (m <sup>3</sup> /dt) | Q <sub>1</sub> | Q <sub>2</sub> | Q <sub>3</sub> |  |  |  |
|----|-----------------|-----------|---------------------|----------------------|-----------------------------------|---------|--------------------------------|----------------|----------------|----------------|--|--|--|
| 1  | 45°             | 9         | 0.0853              | 36                   | 10.3333                           | 1.4084  | 0.0030                         | 0.0030         | 0.0051         | 0.0079         |  |  |  |
| 2  |                 |           |                     |                      |                                   |         |                                |                |                |                |  |  |  |
| 3  |                 |           |                     |                      |                                   |         |                                |                |                |                |  |  |  |
| 4  |                 | 11        | 0.1057              | 32                   | 11.6667                           | 1.3968  | 0.0051                         |                |                |                |  |  |  |
| 5  |                 |           |                     |                      |                                   |         |                                |                |                |                |  |  |  |
| 6  |                 |           |                     |                      |                                   |         |                                |                |                |                |  |  |  |
| 7  | 60°             | 13        | 0.1263              | 31.6667              | 13.6667                           | 1.3884  | 0.0079                         |                |                |                |  |  |  |
| 8  |                 |           |                     |                      |                                   |         |                                |                |                |                |  |  |  |
| 9  |                 |           |                     |                      |                                   |         |                                |                |                |                |  |  |  |
| 10 |                 | 9         | 0.0853              | 31                   | 11.3333                           | 1.4084  | 0.0030                         |                |                |                |  |  |  |
| 11 |                 |           |                     |                      |                                   |         |                                |                |                |                |  |  |  |
| 12 |                 |           |                     |                      |                                   |         |                                |                |                |                |  |  |  |
| 13 | 90°             | 11        | 0.1057              | 20.3333              | 10.3333                           | 1.3968  | 0.0051                         |                |                |                |  |  |  |
| 14 |                 |           |                     |                      |                                   |         |                                |                |                |                |  |  |  |
| 15 |                 |           |                     |                      |                                   |         |                                |                |                |                |  |  |  |
| 16 |                 | 13        | 0.1263              | 25.6667              | 12                                | 1.3884  | 0.0079                         |                |                |                |  |  |  |
| 17 |                 |           |                     |                      |                                   |         |                                |                |                |                |  |  |  |
| 18 |                 |           |                     |                      |                                   |         |                                |                |                |                |  |  |  |
| 19 | 90°             | 9         | 0.0853              | 18.6667              | 9                                 | 1.4084  | 0.0030                         |                |                |                |  |  |  |
| 20 |                 |           |                     |                      |                                   |         |                                |                |                |                |  |  |  |
| 21 |                 |           |                     |                      |                                   |         |                                |                |                |                |  |  |  |
| 22 |                 | 11        | 0.1057              | 16.3333              | 8.3333                            | 1.3968  | 0.0051                         |                |                |                |  |  |  |
| 23 |                 |           |                     |                      |                                   |         |                                |                |                |                |  |  |  |
| 24 |                 |           |                     |                      |                                   |         |                                |                |                |                |  |  |  |
| 25 |                 | 13        | 0.1263              | 25                   | 8.6667                            | 1.3884  | 0.0079                         |                |                |                |  |  |  |
| 26 |                 |           |                     |                      |                                   |         |                                |                |                |                |  |  |  |
| 27 |                 |           |                     |                      |                                   |         |                                |                |                |                |  |  |  |

Sumber data : Hasil penelitian

Tabel . Fm atapukilanda yg dibuktikapda satyalitardeganQ

$1 = 0.0030 \text{ m}^3/\text{dt}$

| No | Denit ()<br>$\text{m}^3/\text{dt}$ | Wakt()<br>(menit) | Tebal<br>Sedimen<br>(db) (cm) | Diameter<br>Lbag<br>(Df) (mm) | Bukaan<br>Kap<br>(Bk) | Pajang Pip<br>Hiap(L)<br>(m) | Jarak<br>Lbag (a)<br>(cm) | Vlme e<br>Gelb MR<br>(Vg)/(m <sup>3</sup> ) | Pegkranan<br>Tekan(F(P))<br>(kg/cm <sup>2</sup> ) | Tiggi Air<br>Pit (h)<br>(cm) | Kecepatan<br>Aliran(V)<br>(m/dk) |  |  |  |  |  |  |  |  |
|----|------------------------------------|-------------------|-------------------------------|-------------------------------|-----------------------|------------------------------|---------------------------|---------------------------------------------|---------------------------------------------------|------------------------------|----------------------------------|--|--|--|--|--|--|--|--|
| 1  | 0,0030                             | 5                 | 20                            | 10                            | 60                    | 1                            | 6                         | 0,0037                                      | 0,080                                             | 24,3333                      | 2,1819                           |  |  |  |  |  |  |  |  |
| 2  |                                    |                   |                               |                               |                       |                              |                           |                                             |                                                   |                              |                                  |  |  |  |  |  |  |  |  |
| 3  |                                    |                   |                               |                               |                       |                              |                           |                                             |                                                   |                              |                                  |  |  |  |  |  |  |  |  |
| 4  |                                    |                   | 30                            |                               |                       |                              |                           | 0,0029                                      | 0,069                                             | 19,0000                      | 1,9290                           |  |  |  |  |  |  |  |  |
| 5  |                                    |                   |                               |                               |                       |                              |                           |                                             |                                                   |                              |                                  |  |  |  |  |  |  |  |  |
| 6  |                                    | 10                | 40                            |                               |                       |                              |                           | 0,0018                                      | 0,064                                             | 16,6667                      | 1,8081                           |  |  |  |  |  |  |  |  |
| 7  |                                    |                   |                               |                               |                       |                              |                           |                                             |                                                   |                              |                                  |  |  |  |  |  |  |  |  |
| 8  |                                    |                   |                               |                               |                       |                              |                           |                                             |                                                   |                              |                                  |  |  |  |  |  |  |  |  |
| 9  |                                    |                   |                               |                               |                       |                              |                           | 0,0056                                      | 0,086                                             | 24,3333                      | 2,1819                           |  |  |  |  |  |  |  |  |
| 10 |                                    |                   | 20                            |                               |                       |                              |                           |                                             |                                                   |                              |                                  |  |  |  |  |  |  |  |  |
| 11 |                                    |                   |                               |                               |                       |                              |                           |                                             |                                                   |                              |                                  |  |  |  |  |  |  |  |  |
| 12 |                                    |                   | 0,0037                        |                               |                       |                              |                           | 0,078                                       | 19,0000                                           | 1,9290                       |                                  |  |  |  |  |  |  |  |  |
| 13 |                                    | 15                |                               |                               |                       |                              |                           |                                             |                                                   |                              | 30                               |  |  |  |  |  |  |  |  |
| 14 |                                    |                   |                               |                               |                       |                              |                           |                                             |                                                   |                              |                                  |  |  |  |  |  |  |  |  |
| 15 |                                    |                   | 0,0023                        |                               |                       |                              |                           | 0,073                                       | 16,6667                                           | 1,8081                       |                                  |  |  |  |  |  |  |  |  |
| 16 |                                    |                   |                               |                               |                       |                              |                           |                                             |                                                   |                              | 40                               |  |  |  |  |  |  |  |  |
| 17 |                                    |                   | 0,0066                        |                               |                       |                              |                           | 0,091                                       | 24,3333                                           | 2,1819                       |                                  |  |  |  |  |  |  |  |  |
| 18 |                                    |                   |                               |                               |                       |                              |                           |                                             |                                                   |                              |                                  |  |  |  |  |  |  |  |  |
| 19 |                                    |                   | 20                            |                               |                       |                              |                           | 0,0047                                      | 0,084                                             | 19,0000                      | 1,9290                           |  |  |  |  |  |  |  |  |
| 20 |                                    |                   |                               |                               |                       |                              |                           |                                             |                                                   |                              |                                  |  |  |  |  |  |  |  |  |
| 21 |                                    |                   |                               |                               |                       |                              |                           | 0,0029                                      | 0,078                                             | 11,6667                      | 1,5126                           |  |  |  |  |  |  |  |  |
| 22 |                                    |                   | 30                            |                               |                       |                              |                           |                                             |                                                   |                              |                                  |  |  |  |  |  |  |  |  |
| 23 |                                    |                   |                               |                               |                       |                              |                           |                                             |                                                   |                              |                                  |  |  |  |  |  |  |  |  |
| 24 |                                    |                   |                               |                               |                       |                              |                           |                                             |                                                   |                              |                                  |  |  |  |  |  |  |  |  |
| 25 |                                    |                   | 40                            |                               |                       |                              |                           |                                             |                                                   |                              |                                  |  |  |  |  |  |  |  |  |
| 26 |                                    |                   |                               |                               |                       |                              |                           |                                             |                                                   |                              |                                  |  |  |  |  |  |  |  |  |
| 27 |                                    |                   |                               |                               |                       |                              |                           |                                             |                                                   |                              |                                  |  |  |  |  |  |  |  |  |

Sumberdata : Hasil penelitian

**Tabel 6. Fungsi pengambilan data yg dibutuhkan pada saat penelitian dengan**

$$Q_2 = 0.0051 \text{ m}^3/\text{dk}$$

| No | Debit ( $Q$ )<br>$\text{m}^3/\text{dt}$ | Waktu ( $t$ )<br>(menit) | Tebal Sedimen<br>(db) (cm) | Diameter Lubang<br>(Df) (mm) | Bukaan Kap (Bk) | Pajang Pipa Hisap (L)<br>(m) | Jarak Lubang (a)<br>(cm) | Volum Gelombang<br>(Vg)/(m <sup>3</sup> ) | Pengaruh Tekanan (P)<br>(kg/cm <sup>2</sup> ) | Tinggi Air Pipa (h)<br>(cm) | Kecepatan Aliran (V)<br>(m/dk) |  |  |  |  |  |  |  |  |
|----|-----------------------------------------|--------------------------|----------------------------|------------------------------|-----------------|------------------------------|--------------------------|-------------------------------------------|-----------------------------------------------|-----------------------------|--------------------------------|--|--|--|--|--|--|--|--|
| 1  | 0,0051                                  | 5                        | 20                         | 10                           | 60              | 1                            | 6                        | 0,0038                                    | 0,082                                         | 33,6667                     | 2,5649                         |  |  |  |  |  |  |  |  |
| 2  |                                         |                          |                            |                              |                 |                              |                          |                                           |                                               |                             |                                |  |  |  |  |  |  |  |  |
| 3  |                                         |                          | 30                         |                              |                 |                              |                          |                                           |                                               |                             |                                |  |  |  |  |  |  |  |  |
| 4  |                                         |                          |                            |                              |                 |                              |                          |                                           |                                               |                             |                                |  |  |  |  |  |  |  |  |
| 5  |                                         | 10                       | 40                         |                              |                 |                              |                          | 0,0031                                    | 0,075                                         | 29,3333                     | 2,3985                         |  |  |  |  |  |  |  |  |
| 6  |                                         |                          |                            |                              |                 |                              |                          |                                           |                                               |                             |                                |  |  |  |  |  |  |  |  |
| 7  |                                         |                          |                            |                              |                 |                              |                          |                                           |                                               |                             |                                |  |  |  |  |  |  |  |  |
| 8  |                                         |                          |                            |                              |                 |                              |                          |                                           |                                               |                             |                                |  |  |  |  |  |  |  |  |
| 9  |                                         | 15                       | 20                         |                              |                 |                              |                          | 0,0023                                    | 0,069                                         | 24,6667                     | 2,1998                         |  |  |  |  |  |  |  |  |
| 10 |                                         |                          |                            |                              |                 |                              |                          |                                           |                                               |                             |                                |  |  |  |  |  |  |  |  |
| 11 |                                         |                          |                            |                              |                 |                              |                          |                                           |                                               |                             |                                |  |  |  |  |  |  |  |  |
| 12 |                                         |                          |                            |                              |                 |                              |                          |                                           |                                               |                             |                                |  |  |  |  |  |  |  |  |
| 13 |                                         | 20                       | 30                         |                              |                 |                              |                          | 0,0057                                    | 0,087                                         | 33,6667                     | 2,5649                         |  |  |  |  |  |  |  |  |
| 14 |                                         |                          |                            |                              |                 |                              |                          |                                           |                                               |                             |                                |  |  |  |  |  |  |  |  |
| 15 |                                         |                          |                            |                              |                 |                              |                          |                                           |                                               |                             |                                |  |  |  |  |  |  |  |  |
| 16 |                                         |                          |                            |                              |                 |                              |                          |                                           |                                               |                             |                                |  |  |  |  |  |  |  |  |
| 17 |                                         | 15                       | 40                         |                              |                 |                              |                          | 0,0038                                    | 0,084                                         | 29,3333                     | 2,3985                         |  |  |  |  |  |  |  |  |
| 18 |                                         |                          |                            |                              |                 |                              |                          |                                           |                                               |                             |                                |  |  |  |  |  |  |  |  |
| 19 |                                         |                          |                            |                              |                 |                              |                          |                                           |                                               |                             |                                |  |  |  |  |  |  |  |  |
| 20 |                                         |                          |                            |                              |                 |                              |                          |                                           |                                               |                             |                                |  |  |  |  |  |  |  |  |
| 21 |                                         | 20                       | 20                         |                              |                 |                              |                          | 0,0032                                    | 0,075                                         | 24,6667                     | 2,1998                         |  |  |  |  |  |  |  |  |
| 22 |                                         |                          |                            |                              |                 |                              |                          |                                           |                                               |                             |                                |  |  |  |  |  |  |  |  |
| 23 |                                         |                          |                            |                              |                 |                              |                          |                                           |                                               |                             |                                |  |  |  |  |  |  |  |  |
| 24 |                                         |                          |                            |                              |                 |                              |                          |                                           |                                               |                             |                                |  |  |  |  |  |  |  |  |
| 25 |                                         | 15                       | 30                         |                              |                 |                              |                          | 0,0049                                    | 0,088                                         | 29,3333                     | 2,3985                         |  |  |  |  |  |  |  |  |
| 26 |                                         |                          |                            |                              |                 |                              |                          |                                           |                                               |                             |                                |  |  |  |  |  |  |  |  |
| 27 |                                         |                          |                            |                              |                 |                              |                          |                                           |                                               |                             |                                |  |  |  |  |  |  |  |  |

Sumber data : Hasil penelitian

Tabel. Pengambilan data yg dibutuhkan pada saat penitian di garis.

$$V = 0.0079 \text{ m}^3/\text{dt}$$

| No | Debit (Q)<br>m <sup>3</sup> /dt | Waktu (t)<br>(menit) | Tebal Sedimen (db) (cm) | Diameter Lubang (Df) (mm) | Bukaan Kap (Bk) | Pajang Pipa Hiap (L) (m) | Jarak Lubang (a) (cm) | Vlme Gas Gelombang (Vg)/(m <sup>3</sup> ) | Pegangan Tekanan (P) (kg/cm <sup>2</sup> ) | Tinggi Air Pipa (h) (cm) | Kecepatan Aliran (V) (m/dt) |  |  |  |  |  |  |  |  |
|----|---------------------------------|----------------------|-------------------------|---------------------------|-----------------|--------------------------|-----------------------|-------------------------------------------|--------------------------------------------|--------------------------|-----------------------------|--|--|--|--|--|--|--|--|
| 1  | 0,0079                          | 5                    | 20                      | 10                        | 60              | 1                        | 6                     | 0,0041                                    | 0,089                                      | 37,6667                  | 2,7184                      |  |  |  |  |  |  |  |  |
| 2  |                                 |                      |                         |                           |                 |                          |                       |                                           |                                            |                          |                             |  |  |  |  |  |  |  |  |
| 3  |                                 |                      | 30                      |                           |                 |                          |                       |                                           |                                            |                          |                             |  |  |  |  |  |  |  |  |
| 4  |                                 |                      |                         |                           |                 |                          |                       |                                           |                                            |                          |                             |  |  |  |  |  |  |  |  |
| 5  |                                 | 10                   | 40                      |                           |                 |                          |                       |                                           |                                            |                          |                             |  |  |  |  |  |  |  |  |
| 6  |                                 |                      |                         |                           |                 |                          |                       |                                           |                                            |                          |                             |  |  |  |  |  |  |  |  |
| 7  |                                 |                      | 20                      |                           |                 |                          |                       |                                           |                                            |                          |                             |  |  |  |  |  |  |  |  |
| 8  |                                 |                      |                         |                           |                 |                          |                       |                                           |                                            |                          |                             |  |  |  |  |  |  |  |  |
| 9  |                                 | 15                   | 30                      |                           |                 |                          |                       |                                           |                                            |                          |                             |  |  |  |  |  |  |  |  |
| 10 |                                 |                      |                         |                           |                 |                          |                       |                                           |                                            |                          |                             |  |  |  |  |  |  |  |  |
| 11 |                                 |                      | 40                      |                           |                 |                          |                       |                                           |                                            |                          |                             |  |  |  |  |  |  |  |  |
| 12 |                                 |                      |                         |                           |                 |                          |                       |                                           |                                            |                          |                             |  |  |  |  |  |  |  |  |
| 13 |                                 | 20                   | 20                      |                           |                 |                          |                       |                                           |                                            |                          |                             |  |  |  |  |  |  |  |  |
| 14 |                                 |                      |                         |                           |                 |                          |                       |                                           |                                            |                          |                             |  |  |  |  |  |  |  |  |
| 15 |                                 |                      | 30                      |                           |                 |                          |                       |                                           |                                            |                          |                             |  |  |  |  |  |  |  |  |
| 16 |                                 |                      |                         |                           |                 |                          |                       |                                           |                                            |                          |                             |  |  |  |  |  |  |  |  |
| 17 |                                 | 15                   | 40                      |                           |                 |                          |                       |                                           |                                            |                          |                             |  |  |  |  |  |  |  |  |
| 18 |                                 |                      |                         |                           |                 |                          |                       |                                           |                                            |                          |                             |  |  |  |  |  |  |  |  |
| 19 |                                 |                      | 20                      |                           |                 |                          |                       |                                           |                                            |                          |                             |  |  |  |  |  |  |  |  |
| 20 |                                 |                      |                         |                           |                 |                          |                       |                                           |                                            |                          |                             |  |  |  |  |  |  |  |  |
| 21 |                                 | 15                   | 30                      |                           |                 |                          |                       |                                           |                                            |                          |                             |  |  |  |  |  |  |  |  |
| 22 |                                 |                      |                         |                           |                 |                          |                       |                                           |                                            |                          |                             |  |  |  |  |  |  |  |  |
| 23 |                                 |                      | 40                      |                           |                 |                          |                       |                                           |                                            |                          |                             |  |  |  |  |  |  |  |  |
| 24 |                                 |                      |                         |                           |                 |                          |                       |                                           |                                            |                          |                             |  |  |  |  |  |  |  |  |
| 25 |                                 | 20                   | 20                      |                           |                 |                          |                       |                                           |                                            |                          |                             |  |  |  |  |  |  |  |  |
| 26 |                                 |                      |                         |                           |                 |                          |                       |                                           |                                            |                          |                             |  |  |  |  |  |  |  |  |
| 27 |                                 |                      |                         |                           |                 |                          |                       |                                           |                                            |                          |                             |  |  |  |  |  |  |  |  |

Sumber data : Hasil penelitian

## B. ~~Apa~~

1) Contoh perhitungan besar debit ~~titik~~

$$\begin{aligned} Q &= A \times V \\ &= 0.0019625 \times 1.5963 \\ &= 0.0031 m^3/dtk \end{aligned}$$

2) Contoh perhitungan kecepatan aliran ~~titik~~

$$\begin{aligned} V &= \frac{Q}{A} \\ &= \frac{0.0031}{0.0019625} \\ &= 1.5287 m/dtk \end{aligned}$$

3) Contoh perhitungan nilai ~~garis~~ Reynolds

$$\begin{aligned} Re &= \frac{V \times d}{\mu} \\ &= \frac{1.5963 \times 0.05}{0.000000924} \\ &= 96861.094 \end{aligned}$$

4) Contoh perhitungan tinggi tekanan kibat gesek dalam pipa

$$\begin{aligned} HL &= f \frac{L}{d} \cdot \frac{V^2}{2.g} \\ &= 0.013 \frac{1}{0.05} \cdot \frac{2.1819}{19.62} \\ &= 0.0631 \text{ m m} \end{aligned}$$

5) Contoh perhitungan anggaran tinggi tekanan pada lubang isap

$$Hn = Km \frac{V^2}{2.g}$$

$$= 0.32 \frac{2.1819}{19.62}$$

$$= 0.0679 \text{ m m}$$

6) Contoh perhitungan cekungan akibat lapisan sedimen

$$Hb = db \cdot (1 - \varepsilon) \cdot \frac{ps - p}{p}$$

$$= 20 \cdot (0.73) \cdot \frac{1832}{995.95}$$

$$= 26.8560 \text{ cm}$$

7) Contoh pinitukuh kgaringgi enga tul

$$Ht = Hl + Hn + Hb$$

$$= 0.0631 + 0.0679 + 26.8560$$

$$= 39.9588 \text{ cm}$$

8) Contoh cekungan hitungan perut tekanan

$$h - h_0 = He - Ht$$

$$= 77.3092 - 39.9588$$

$$= 37.350 \text{ cm}$$

Ukuran pengangkutan bia

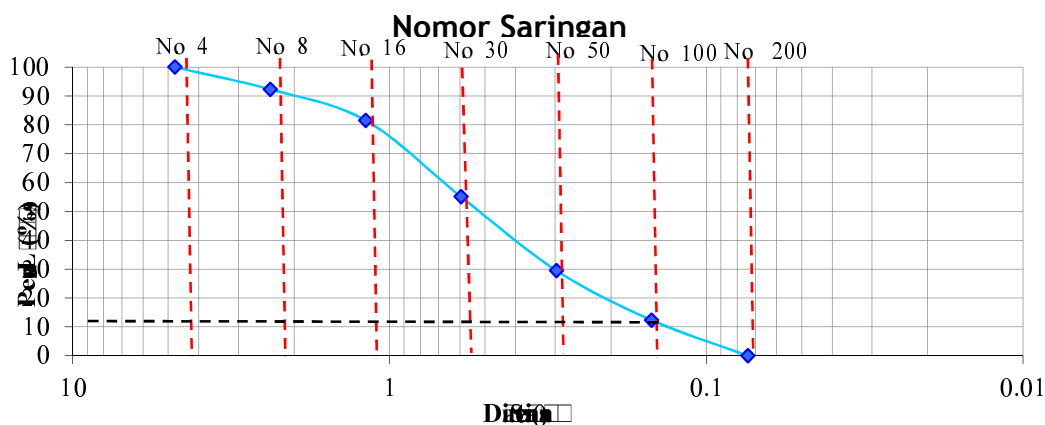
sa dihat pada tabel 116

### C. Kisila

Karakteristik sedimen yang digunakan dalam penelitian ini adalah Pasir halus, sesuai dengan kriteria pasir halus dan tidak memiliki sifat-sifat pasir berbutir yang disajikan pada gabarit tabel berikut

Tabel 8. Data analisa saringan

| Seri<br>No. | Diameter (mm) | Bahan tanah (mm) | Bahan<br>Kumbang (mm) | Persentase (%) |           |
|-------------|---------------|------------------|-----------------------|----------------|-----------|
|             |               |                  |                       | Tanah          | Lubang    |
| 4           | 4,76          | 0                | 0                     | 0              | 100       |
| 8           | 2,38          | 118              | 118                   | 7,712418       | 92,287581 |
| 16          | 1,19          | 164              | 282                   | 18,43137       | 81,56862  |
| 30          | 0,595         | 405              | 687                   | 44,90196       | 55,09803  |
| 50          | 0,297         | 392              | 1079                  | 70,52287       | 29,477124 |
| 100         | 0,149         | 262              | 1341                  | 87,64705       | 12,352941 |
| 200         | 0,074         | 189              | 1530                  | 100            | 0         |
| Pan         | -             |                  | 1530                  | 100            | 0         |



Grafik 4. Gredasi ukuran butiran sedimen (sapel)

Berdasarkan data yang didapatkan dari hasil analisa saingan, maka sedimen yang digunakan dalam penelitian ini adalah pasir halus bedasarkan klasifikasi berbutir sedimen yang skala Web Dina diantara paket pasir hingga benda diatas (0,25 m 0,125 mm). Hasil analisa saingan itu 2,35 degandiameterbutiran 0,149 mm.

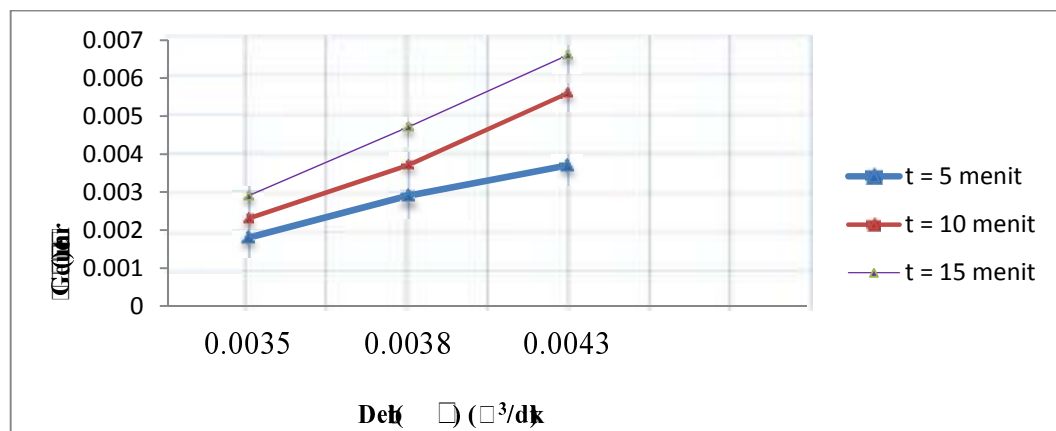
## D. Pengaruh Debit pada Volume Geling

### 1. Hubungan Debit dan Volume Geling

Berdasarkan hasil data yang diperoleh maka dapat disimpulkan bahwa Pengaruh debit ( $q$ ) adalah salah satu faktor yang mempengaruhi jumlah sedimen yang tergelincir dalam proses pengasaman. Maka dibuat kajian hubungan debit terhadap volume geling ( $V_g$ ) pada nilai spasi lubang ( $a$ ), diameter lubang ( $D$ ), bukaan kemasan yang pada pada gherdantabel berikut:

**Tabel 9** Hubungan antara debit terhadap volume geling  $Q_1 = 0,003 \text{ m}^3/\text{dtk}$

| $N$ | $Dbit(\text{m}^3/\text{dt})$ |        | $Waktu t$ | $V(Gel) \text{ m}^3$ |
|-----|------------------------------|--------|-----------|----------------------|
| 1.  | $\square_1$                  | 0,0043 | 5         | 0,0037               |
| 2.  |                              |        | 10        | 0,0056               |
| 3.  |                              |        | 15        | 0,0066               |
| 4.  | $\square_2$                  | 0,0038 | 5         | 0,0029               |
| 5.  |                              |        | 10        | 0,0037               |
| 6.  |                              |        | 15        | 0,0047               |
| 7.  | $\square_3$                  | 0,0035 | 5         | 0,0018               |
| 8.  |                              |        | 10        | 0,0023               |
| 9.  |                              |        | 15        | 0,0029               |

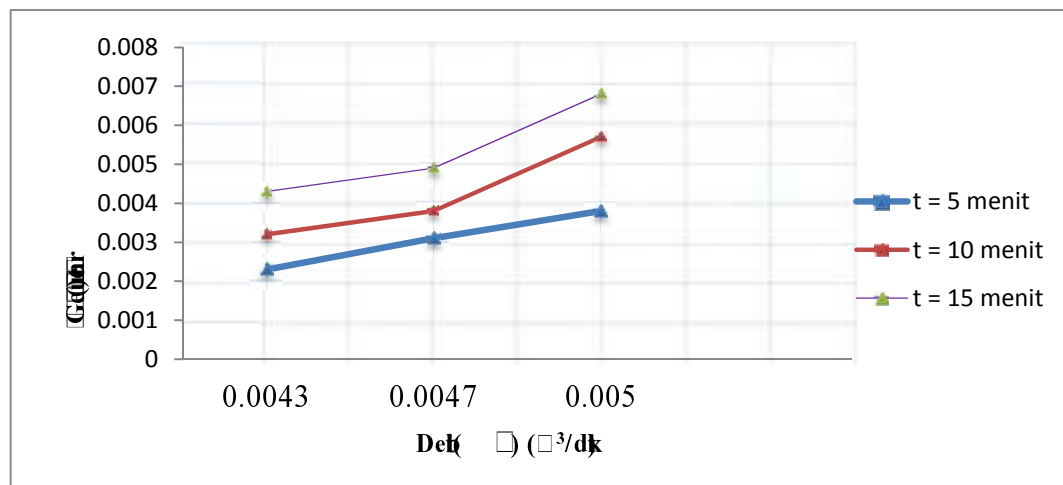


**Grafik 5.** Gafik hubungan antara debit terhadap volume geling pada  $Q_1 = 0,0030 \text{ m}^3/\text{dtk}$

Gab 1.5 menunjukkan bahwa semakin kecil debit ( $Q_1$ ) maka volume gelombang ( $V_g$ ) juga semakin kecil. Hal ini dipekiakan dan diperpanjang adanya kepadatan sedimen yang mengakibatkan butiran sedimen susah turun ke lubang pipa isap, ketika flushing conduit pada pada debit  $0,0043 \text{ m}^3/\text{dtk}$  relative bagian dalam atan menunjukkan volume penggelombongan signifikan diaktifkan sama. hal ini diepanganhi oleh debit pengisian, dimana semakin besar endapan sedimen ( $d_b$ ) maka kapasitas debit pengisian cenderung meningkat megakibatkan kapasitas volume gelombang meningkat.

**Tabel 10** Hubungan antara debit  $Q_1$  ( $\text{m}^3/\text{dtk}$ ) dengan volume gelombang  $V_g$  ( $\text{m}^3$ )

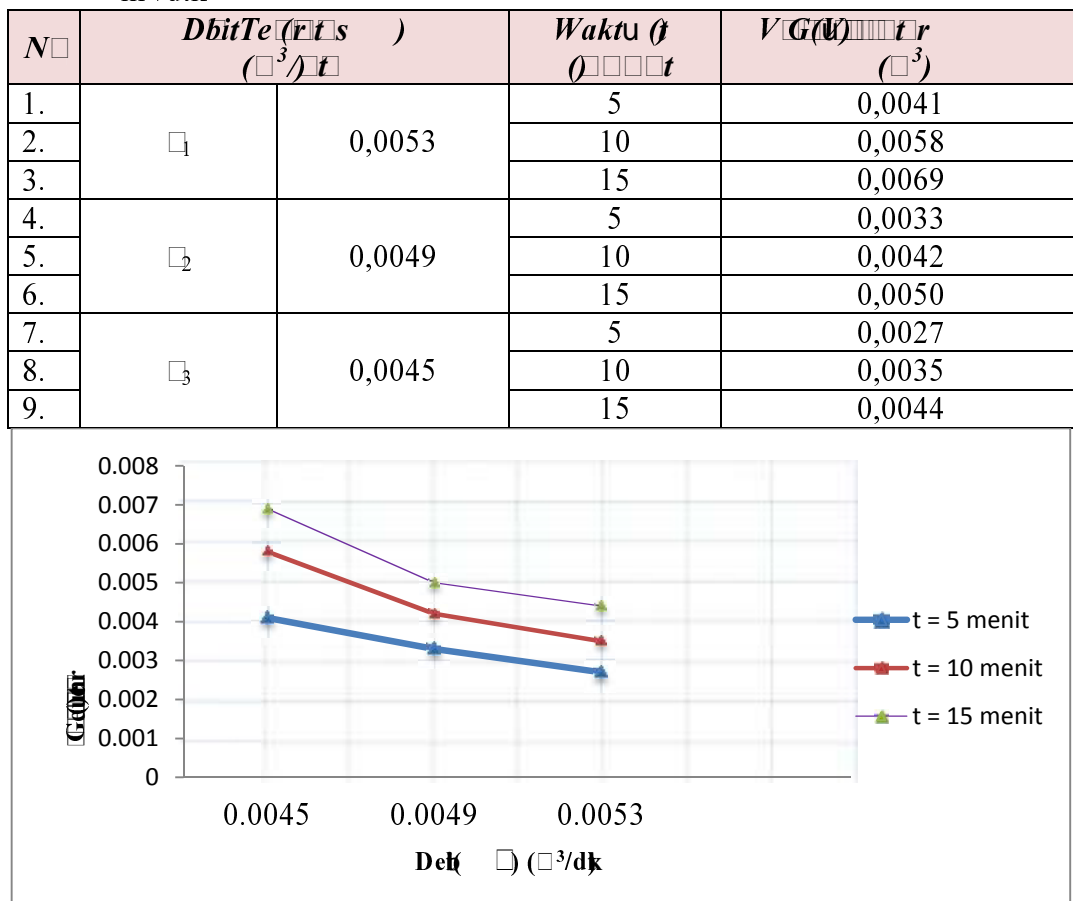
| $N$ | $Debit (Q_1) (\text{m}^3/\text{dtk})$ | Waktu $t$ ( $\text{menit}$ ) | $V_g (m^3)$ ( $\text{m}^3$ ) |
|-----|---------------------------------------|------------------------------|------------------------------|
| 1.  | $Q_1$                                 | 0,0050                       | 5                            |
| 2.  |                                       |                              | 10                           |
| 3.  |                                       |                              | 15                           |
| 4.  | $Q_2$                                 | 0,0047                       | 5                            |
| 5.  |                                       |                              | 10                           |
| 6.  |                                       |                              | 15                           |
| 7.  | $Q_3$                                 | 0,0043                       | 5                            |
| 8.  |                                       |                              | 10                           |
| 9.  |                                       |                              | 15                           |



**Gab 1.6.** Grafik hubungan antara debit ( $Q_1$ ) dengan volume gelombang ( $V_g$ ) pada  $Q_2$

Gab 1 6 menunjukkan bahwa semakin kecil debit ( $Q$ ) maka volume gelar ( $V_g$ ) juga semakin kecil. Hal ini diketahui karena ada sedimen yang mengikar butiran sedimen tidak masuk ke lubang pipa isap.

**Tabel 11** Hubungan antara debit ( $Q$ ) terhadap volume gelar  $. Q_3 = 0,0079 \text{ m}^3/\text{dtk}$



**Gab 7.** Grafik hubungan antara debit ( $Q$ ) terhadap volume gelar pada  $Q_3$

gambar 17 menunjukkan bahwa debit ( $Q$ ) mempengaruhi jumlah sedimen yang tergelar ( $V_g$ ) hal ini dipengaruhi oleh kehilangan tinggi tekanan angin cukup signifikan karena fluktuasi tekanan angin terjadi belum efektif untuk mengusik tebal sedimen .

## 2. Hubungan ketebalan sedimen

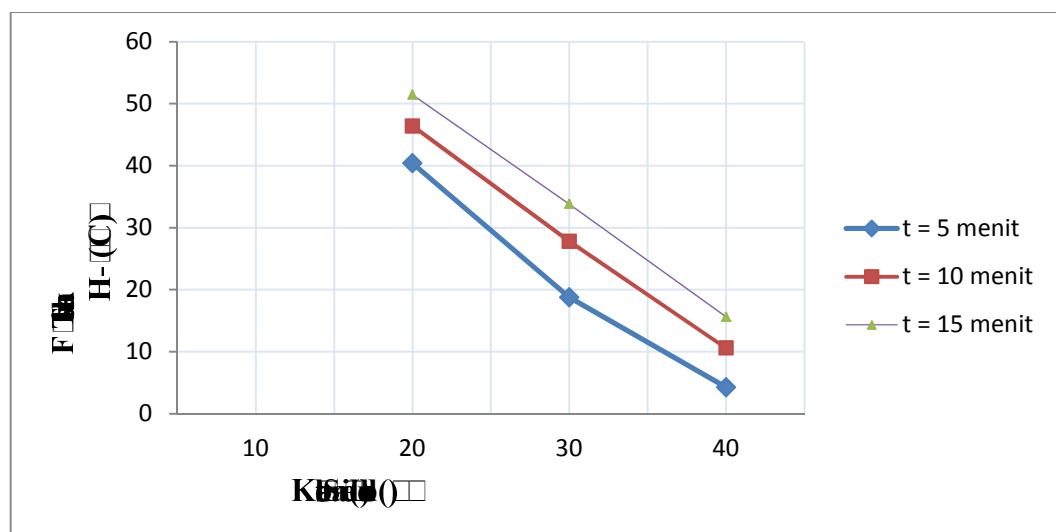
$h_0$  (cm).

Pengaruh hubungan ketebalan endapan sedimen ( $d_b$ ) dengan fluktuasi tekanan dan volume gel ( $V_g$ ) menunjukkan bahwa seiring ketebalan endapan sedimen ( $d_b$ ) terhadap tekanan  $h-h_0$  kecil. Dipekiakan dipengaruhi oleh kehilangan tinggi tekanan cukup signifikan, seperti pada tabel dan gambar di bawah.

**Tabel 12** Hubungan antara ketebalan sedimen ( $d_b = 0,003 \text{ m}^3/\text{dtk}$ )

Fluktuasi Tekanan  $h-h_0$ .

| N  | Tebal Sedimen ( $d_b$ ) (cm) | Waktu ( $t$ ) (menit) | Fasilitas | Tekanan $h-h_0$ (cm) |
|----|------------------------------|-----------------------|-----------|----------------------|
| 1. | $d_{b1}$                     | 20                    | 5         | 40.3625              |
| 2. |                              |                       | 10        | 46.3866              |
| 3. |                              |                       | 15        | 51.4067              |
| 4. | $d_{b2}$                     | 30                    | 5         | 18.7518              |
| 5. |                              |                       | 10        | 27.7879              |
| 6. |                              |                       | 15        | 33.8120              |
| 7. | $d_{b3}$                     | 40                    | 5         | 4.2480               |
| 8. |                              |                       | 10        | 10.5834              |
| 9. |                              |                       | 15        | 15.6035              |

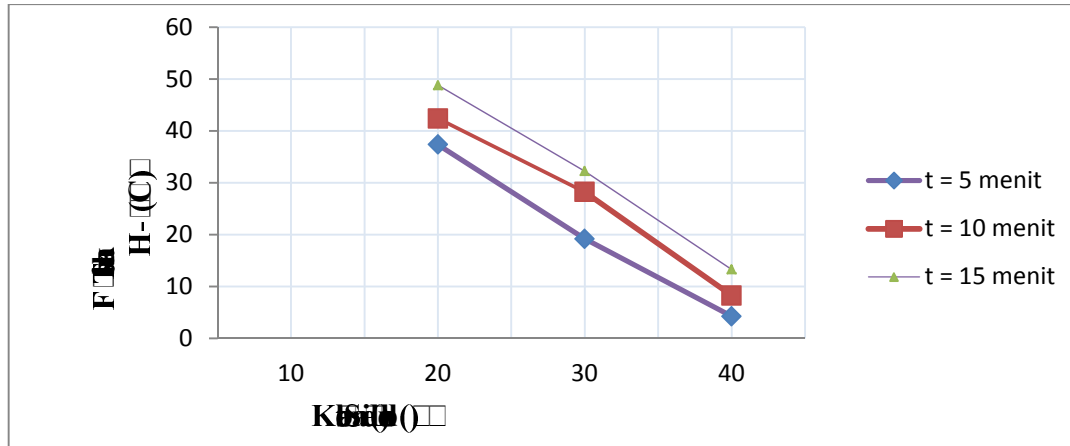


**Grafik 8.** Gafik hubungan antara ketebalan sedimen ( $d_b$ ) terhadap fluktuasi tekanan  $h-h_0$  (cm)  $\propto Q^{-1}$

Gab 1 8 menunjukkan bahwa pengaruh hubungan ketebal sedimen ( $d_b$ ) dengan fluktuasi tekanan bahwa semakin ketebal sedimen ( $d_b$ ) terhadap fluktuasi tekanan semakin kecil. Hal ini dipekiakan karena kepadatan sehingga tekanan elastif kecil

**Tabel 13** Hubungan antara ketebal sedimen ( $d_b$ ) terhadap fluktuasi tekanan ( $h-h_0$ ).  $Q_2 = 0,0051 \text{ m}^3/\text{dtk}$

| No | Tebal Sedimen ( $d_b$ ) (cm) | Waktu ( $t$ ) (menit) (cm) | Tekanan ( $p$ ) ( $\text{kg}/\text{cm}^2$ ) |
|----|------------------------------|----------------------------|---------------------------------------------|
| 1. | $d_{b1}$                     | 20                         | 5<br>37.3668                                |
| 2. |                              | 10                         | 10<br>42.3869                               |
| 3. |                              | 15                         | 15<br>48.8110                               |
| 4. | $d_{b2}$                     | 30                         | 5<br>19.1839                                |
| 5. |                              | 10                         | 10<br>28.2200                               |
| 6. |                              | 15                         | 15<br>32.2361                               |
| 7. | $d_{b3}$                     | 40                         | 5<br>4.2545                                 |
| 8. |                              | 10                         | 10<br>8.2706                                |
| 9. |                              | 15                         | 15<br>13.2907                               |

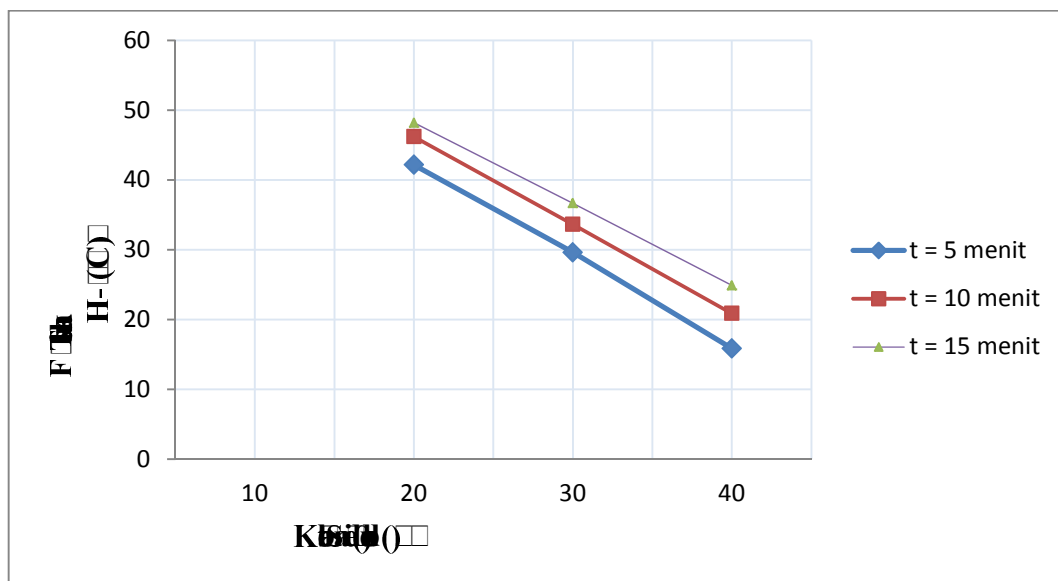


**Gab 9.** Grafik hubungan antara ketebal sedimen ( $d_b$ ) terhadap fluktuasi tekanan ( $h-h_0$  (cm)) untuk  $Q_2 = 0,0051 \text{ m}^3/\text{dtk}$

Gambar 1 9 menunjukkan bahwa pengaruh hubungan ketebal sedimen ( $d_b$ ) dengan fluktuasi tekanan bahwa semakin ketebal sedimen ( $d_b$ ) terhadap fluktuasi tekanan semakin kecil. Hal ini dipekiakan karena kepadatan sehingga tekanan elastif kecil

**Tabel 14** Hubungan antara ketebalansedimen terhadap Fluktuasi Tekanan  $h - h_0$ .  
 $Q_3 = 0,0079 \text{ m}^3/\text{dtk}$

| No | Tebal Sedimen ( $d_b$ ) (cm) |    | Waktu ( $t$ ) (menit) (cm) | Tekanan ( $p$ ) ( $\text{kg}/\text{cm}^2$ ) |
|----|------------------------------|----|----------------------------|---------------------------------------------|
| 1. | $d_{b1}$                     | 20 | 5                          | 42.1628                                     |
| 2. |                              |    | 10                         | 46.1789                                     |
| 3. |                              |    | 15                         | 48.1869                                     |
| 4. | $d_{b2}$                     | 30 | 5                          | 29.6178                                     |
| 5. |                              |    | 10                         | 33.6339                                     |
| 6. |                              |    | 15                         | 36.6459                                     |
| 7. | $d_{b3}$                     | 40 | 5                          | 15.8663                                     |
| 8. |                              |    | 10                         | 20.8864                                     |
| 9. |                              |    | 15                         | 24.9025                                     |



**Grafik 0.** Grafik hubungan antara ketebalansedimen( $d_b$ ) terhadap Fluktuasi Tekanan  $h - h_0$  (cm)  $\& Q_3$

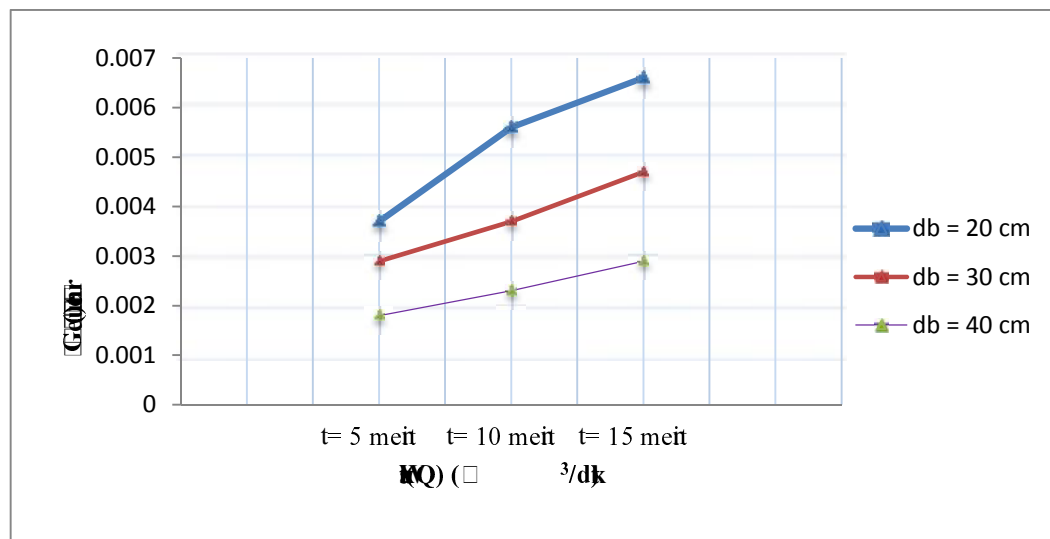
Gambar 2.0 menunjukkan bahwa ketebalansedimen ( $d_b$ ) 20 cm, 30 cm, dan 40 cm dimana pada ketebalansedimen 20 cm menjadi peingkatan fluktuasi yang sangat signifikan. Hal ini dipekiakan tekanan relatif besar dan sedimen tidak lupadat

### 3. Hubungan Waktu dan Volume Gelontor

Berdasarkan hasil data yang diperoleh maka dapat disimpulkan bahwa waktu adalah salah satu faktor yang mempengaruhi jumlah sedimen yang tergelontor dalam proses pengasapan. flushing conduit, Maka dibuat kajian hubungan waktu hadap vol gelontor

**Tabel 15** Hubungan antara Waktu hadap vol gelontor  $Q_1 = 0,003 \text{ m}^3/\text{dtk}$

| No | Waktu (t) (menit) | Tebal Sedimen ( $d_b$ ) (cm) | Volume Gelontor ( $V_g$ ) ( $\text{m}^3$ ) |
|----|-------------------|------------------------------|--------------------------------------------|
| 1. | 5                 | 20                           | 0,0037                                     |
| 2. | 10                |                              | 0,0056                                     |
| 3. | 15                |                              | 0,0066                                     |
| 4. | 5                 | 30                           | 0,0029                                     |
| 5. | 10                |                              | 0,0037                                     |
| 6. | 15                |                              | 0,0047                                     |
| 7. | 5                 | 40                           | 0,0018                                     |
| 8. | 10                |                              | 0,0023                                     |
| 9. | 15                |                              | 0,0029                                     |

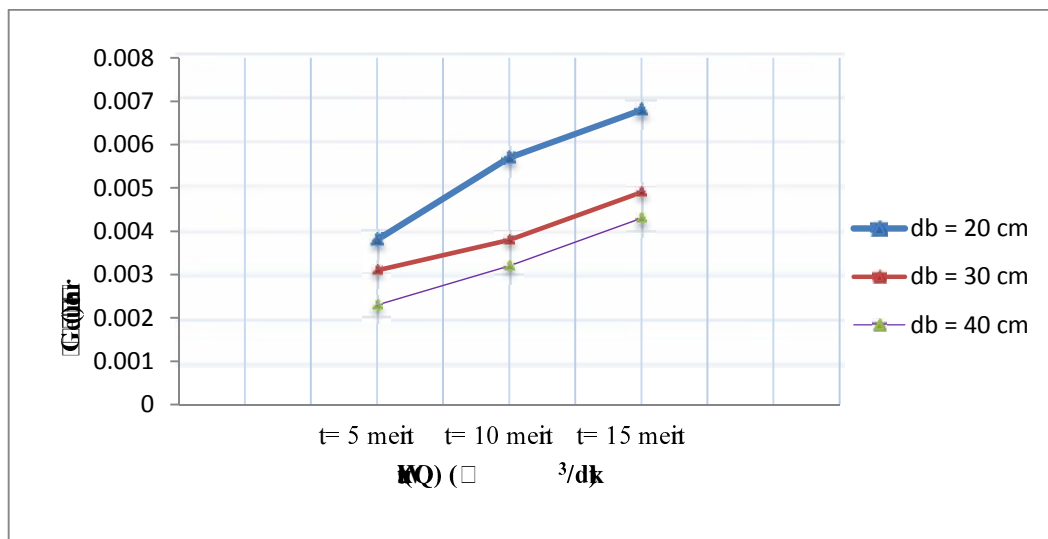


**Grafik 1.** Grafik hubungan antara waktu hadap volume gelontor pada  $Q_1 = 0,0030 \text{ m}^3/\text{dtk}$

Gambar 2 menunjukkan bahwa waktu cukup signifikan berpengaruh terhadap volume gelontor. Hal ini terlihat pada debit  $Q_1 = 0,0043 \text{ m}^3/\text{dtk}$  di mana semakin lama waktu penggelontoran maka volume gelontor semakin meningkat

**Tabel 16** Hubungan antara waktu hadap volume gelombang terhadap debit  $Q_2 = 0,0051 \text{ m}^3/\text{dtk}$

| No | Waktu (t) (menit) | Tebal Sedimen ( $d_b$ ) (cm) | Volume Gelontor ( $V_g$ ) ( $\text{m}^3$ ) |
|----|-------------------|------------------------------|--------------------------------------------|
| 1. | 5                 | 20                           | 0,0038                                     |
| 2. | 10                |                              | 0,0057                                     |
| 3. | 15                |                              | 0,0068                                     |
| 4. | 5                 | 30                           | 0,0031                                     |
| 5. | 10                |                              | 0,0038                                     |
| 6. | 15                |                              | 0,0049                                     |
| 7. | 5                 | 40                           | 0,0023                                     |
| 8. | 10                |                              | 0,0032                                     |
| 9. | 15                |                              | 0,0043                                     |



**Grafik 2.2** Gafik hubungan antara waktu hadap volume gelombang pada debit  $Q_2 = 0,0051 \text{ m}^3/\text{dtk}$

Gambar 2.2 menunjukkan bahwa volume gelombang signifikan berpengaruh

terhadap volume gelombang. Hal ini terlihat pada debit  $Q_2 = 0,0051 \text{ m}^3/\text{dtk}$  dimana

semakin lama waktu pengelontongan maka volume gelombang semakin meningkat

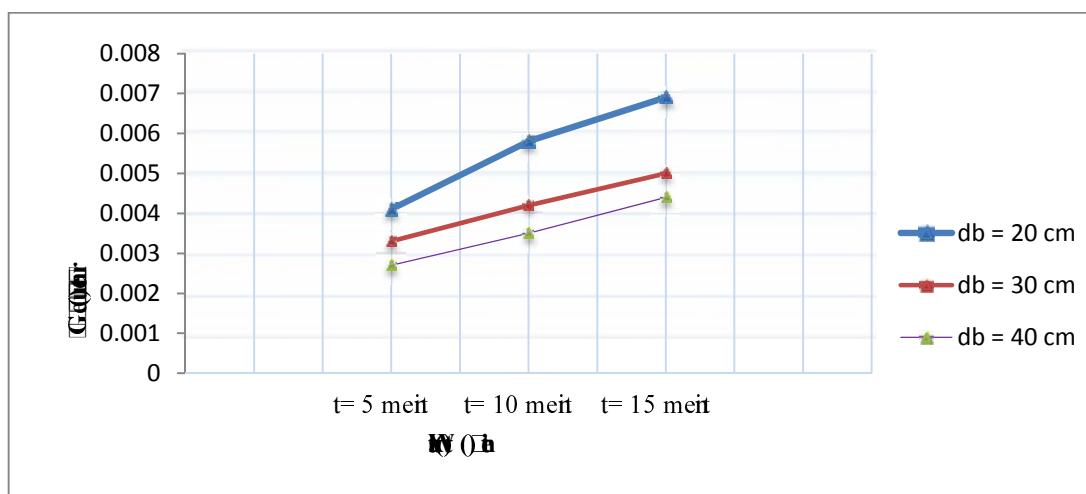
pada 3 (tiga) macam debit yang dicoba dan ketebalan sedimen yang sama.

Gambar 3.3 juga menunjukkan bahwa apabila sedimen semakin tebal ( $db = 40\text{ cm}$ ) dan dengan waktu lama air ( $t = 15\text{ menit}$ ) maka volume gelombang cenderung kecil. Hal ini dipekaikan pengaruh adanya kedatangan sedimen

yang memungkinkan air butiran sedimen rusak masuk ke lubang pipa isap.

Tabel 17 Hubungan antara waktu hadap volume gelombang .  $Q_3 = 0,0079 \text{ m}^3/\text{dtk}$

| No | Waktu (t) (menit) | Tebal Sedimen ( $d_b$ ) (cm) | Volume Gelontor ( $V_g$ ) ( $\text{m}^3$ ) |
|----|-------------------|------------------------------|--------------------------------------------|
| 1. | 5                 | 20                           | 0,0041                                     |
| 2. | 10                |                              | 0,0058                                     |
| 3. | 15                |                              | 0,0069                                     |
| 4. | 5                 | 30                           | 0,0033                                     |
| 5. | 10                |                              | 0,0042                                     |
| 6. | 15                |                              | 0,0050                                     |
| 7. | 5                 | 40                           | 0,0027                                     |
| 8. | 10                |                              | 0,0035                                     |
| 9. | 15                |                              | 0,0044                                     |



Grafik 3. Grafik hubungan antara waktu hadap volume gelombang ( $V_g$ ) pada  $Q_3$

Gambar 23 menunjukkan bahwa waktu cukup signifikan berpengaruh terhadap volume gelombang. Hal ini terlihat semakin lama waktu penggelombongan maka volume gelombang semakin meningkat. Pada 3 (tiga) macam debit yang dicantumkan pada tabel 17, ketebalan sedimen yang sama.

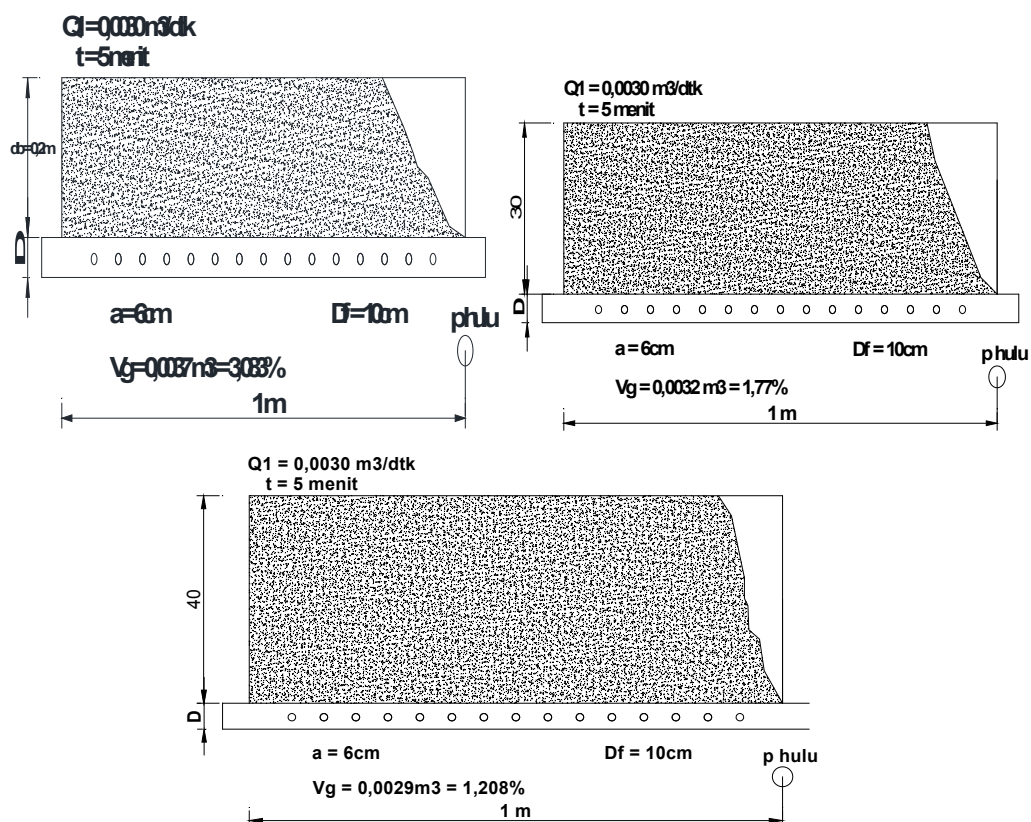
#### 4. Eksperimen Flushing Conduit

Evaluasi kinerja dari ketebalan sedimen ( $d_b$ ) Flushing conduit dipengaruhi oleh beberapa faktor, sebagaimana ditunjukkan pada gambar 32, 33 dan 34. Peningkatan debit yang diambil adalah nilai  $Q_3$  disetiap debit dengan waktu

yg samseti parameter -parameter sam sepele pada gahardi bahan

in

1. Perbandingan ( $V_g$ ) degantuk yg am pada  $Q$

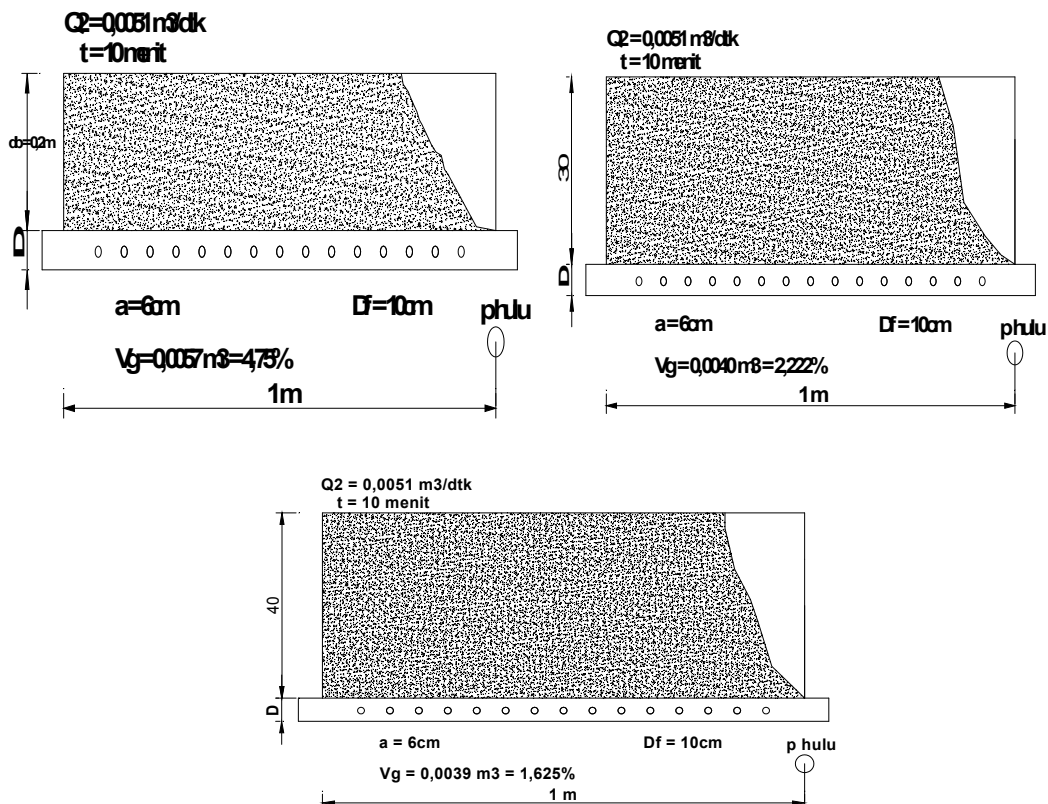


Gab 4. Pongan Bukaan Alir pada ke tinggian sedimen dengan waktu(5 menit) dan debit(0,0030).

Gambar 24 menunjukkan bahwa kineja *Flushing Conduit* pada tebal endapan sedimen( $d_b$ ) ang bebeda alitd  $b = 20\text{cm}, 30\text{cm}, 40\text{cm}$  sangat mempengaruhi jumlah sedimen yg egelb ( $V_g$ ) dimana jumlah volume gelb mendekat ketinggian 20cm sampai 40 cm, dimana pada ketinggian sedimen( $d_b$ ) 20 cm jumlah volume gelb  $0,0037 \text{ m}^3$  atau  $3,083\%$ , sedangkan pada ketinggian sedimen( $d_b$ ) 30 cm jumlah sedimen yg egelb  $0,0032 \text{ m}^3$  atau  $1,77\%$  dan pada ketinggian sedimen( $d_b$ ) 40 cm jumlah volume

gelombang ( $V_g$ ) sejauh  $a$  yaitu  $0,0029 \text{ m}^3$  atau  $1,208\%$ . Hal ini dipengaruhi oleh kepadatan sedimen.

## 2. Pengaruh volume gelombang ( $V_g$ ) dengan aktifitas pada $Q_2$

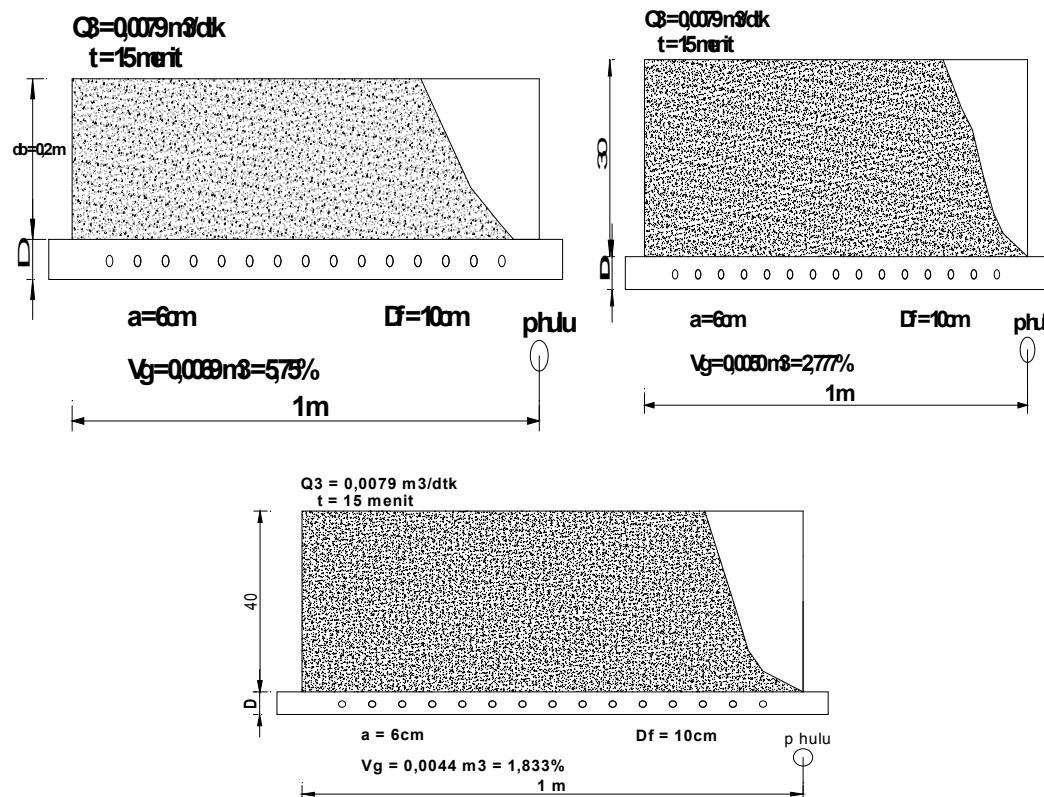


**Gab 5.** Pengaruh Bukaan Alir pada ketegangan sedimen ( $d_b$ ) =  $20 \text{ cm}$ ,  $30 \text{ cm}$ ,  $40 \text{ cm}$  dengan ( $t = 10 \text{ menit}$ ) dan debit ( $Q_2 = 0,0031 \text{ m}^3/\text{dtk}$ ,  $t = 10 \text{ menit}$ ).

Gambar 25 menunjukkan kinerja *flushing conduit* pada tebal endapan sedimen ( $d_b$ )  $20 \text{ cm}$  cukup efektif dibandingkan pada ketebalan  $30 \text{ cm}$  dan  $40 \text{ cm}$ , dimana pada ketebalan sedimen ( $d_b$ )  $20 \text{ cm}$  jumlah volume gelombang ( $V_g$ )  $0,0057 \text{ m}^3$  atau  $4,75\%$ , ketebalan sedimen ( $d_b$ )  $30 \text{ cm}$   $0,0040 \text{ m}^3$  atau  $2,222\%$  dan pada ketebalan sedimen ( $d_b$ )  $40 \text{ cm}$  jumlah gelombang ( $V_g$ ) sampai  $0,0039 \text{ m}^3$  atau  $1,625\%$ , hal ini dipengaruhi oleh kepadatan sedimen dan debit pengaruhnya yang berambahna ketebalan sedimen ( $d_b$ ).

### 3. Perbandingan volume gelombang ( $V_g$ ) dengan waktu ampada Q

3



**Gab.** 6. Pongan Bukaan Alir pada ketenggian sedimen  $b = 20 \text{ cm}, 30 \text{ cm}, 40 \text{ cm}$  dengan  $t = 15 \text{ menit}$  dan debit  $(0,0079)$ .

Gambar 2 6 menunjukkan kineja *flushing conduit* dimana ketebalan sedimen ( $d_b$ ) cukup signifikan mempengaruhi jumlah gelombang, dimana pada gambar 34 tak ketebalan sedimen ( $d_b$ ) 20 cm jumlah volume gelombang  $0,0069 \text{ m}^3$  atau 75% sedangkan pada tebal sedimen ( $d_b$ ) 30 cm jumlah volume gelombang  $0,0050 \text{ m}^3$  atau 2,777% dan pada ketebalan sedimen 40 cm jumlah volume gelombang  $0,0044 \text{ m}^3$  atau 1,833%

## BAB V

### PENUTUP

#### A. KESIMPULAN

Berdasarkan hasil analisis data maka dapat disimpulkan bahwa:

1. Jumlah gizi yang dipengaruhi ketebalan sedimen, diametra pada ketebalan (db) sedimen 20 cm jauh volen gelombang (g) ( $0,0069 \text{ m}^3$ ), sedangkan pada ketebalan sedimen (db) 30 cm ( $0,0050 \text{ m}^3$ ) daripada ketebalan sedimen (db) 40 cm jauh volen gelombang (Vg) yaitu ( $0,0044 \text{ m}^3$ )
2. Mekanisme kerja *flushing conduit* bagi antisipasi tahanan berikan tekanan sehingga terjadi fluidasi, proses pemanjangan dan pendinginan kedaungan pada akhirnya debit dan tekanan, setelah sedimen ditarik dengan debit sekitar

#### B. SIMPULAN

1. Penerapan teknologi *flushing conduit* pada penanganan sedimen dengan pemeliharaan lebih baik menghindari kerusakan lingkungan dan dapatkan sebagian besar sedimen yang dibawa oleh arus
2. Untuk penentuan ketebalan sedimen (db) perlu diambil titik sampel oleh data yg lebih akurat

## DAFTAR PUSTAKA

- Alimuddin L,Aish. (2012). *Pendugaan Sedimentasi pada DAS Mamasa di Kab. Mamasa Propinsi Sulawesi Selatan.* Fakultas Pertanian Unhas. Makassar
- Amrullah. (2010). *Studi Kinerja Flushing Conduit Sebagai Alat Penguras Endapan Sedimen Muara Dengan Experimen Laboratorium.* Program Pascasarjana Universitas Hasanuddin. Makassar
- Asdak, Chay. (2010). *Hidrologi dan pengelolaan Daerah Aliran Sungai:Edisi Revisi Kelima.* Yogyakarta: Gadjah Mada Press Yogyakarta
- Biksono, Damawidjaya. (2006). *Karakteristik Dan Visualisasi Aliran Dua Fasa Pada Pipa Spiral.* Jurusan Teknik Mesin Fakultas Teknik. Cimahi-Bandung
- Hakim, Siti Riskayanti. (2015). *Studi Laju Sedimentasi Waduk Bili-Bili Pasca Pengembangan Bangunan Penahan Sedimen.* Fakultas Teknik Universitas Hasanuddin. Makassar
- Ismali, Ahmad Ghufron. (2012). *Analisis Angkutan Sedimen Bengawan Solo Ruas Serenan-Cepu.* Jurusan Teknik Sipil Universitas Sebelas Maret. Surakarta
- Krisetyana, Hari. (2008). *Tingkat Efisiensi Penggelontoran Endapan Sedimen Di Waduk PLTA PB. Sudirman.* Program Pasca Sarjana Megister Teknik Sipil Universitas Diponegoro. Semarang
- Hakim, Fajar Aldoko. (2016). *Analisis Sebaran Sediment dan Efektifitas Tampungan Menggunakan Teknik Interpolasi Ruang (Studi Kasus Penggelontoran Waduk Wlingi Dan Waduk Lodoyo).* Fakultas Teknik Universitas Brawijaya. Malang
- Lubis, Astika Murni. (2016). *Analisis Sedimentasi Sungai Way Besar.* Fakultas Teknik Universitas Lampung
- Muchsin. Dan Subgyo, Rachmat. (2011). *Kaji Eksperimental Koefisien Kerugian Pada Percabangan Pipa Dengan Sudut 45°,60° dan 90°.* Jurusan Teknik Mesin Fakultas Teknik Universitas Tadulako
- Suroso. Dan Widiyanto, Wahyu. (2009). *Model Pengendalian Sedimentasi Waduk Mrica Dengan Fluidasi.* Program Studi Teknik Sipil Unsoed. Purwokerto Indonesia
- Sinatala, Arsyad. (2010). *Edisi kedua: konservasi tanah dan air.* Bogor : Institut Pertanian Bogor

Thaha, A. (2006). *Sistem Fluidasi Untuk Rekayasa Pemeliharaan Alur*. Universitas Gadjah Mada. Yogyakarta

Triatmojo B, 1993. *Hidraulika 1*. Beta Offset Yogyakarta

Triatmojo B, 1993. *Hidraulika 11*. Beta Offset Yogyakarta

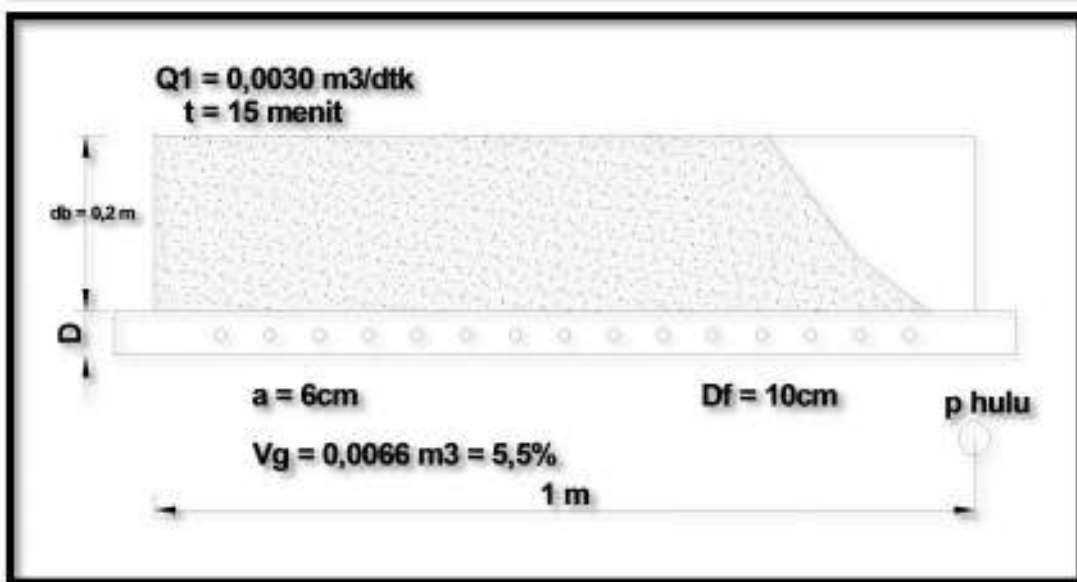
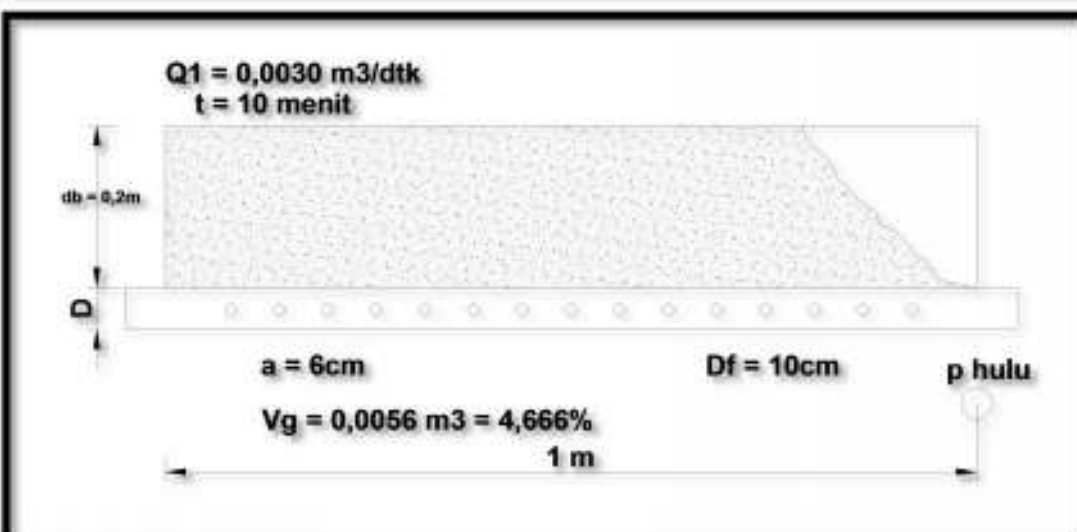
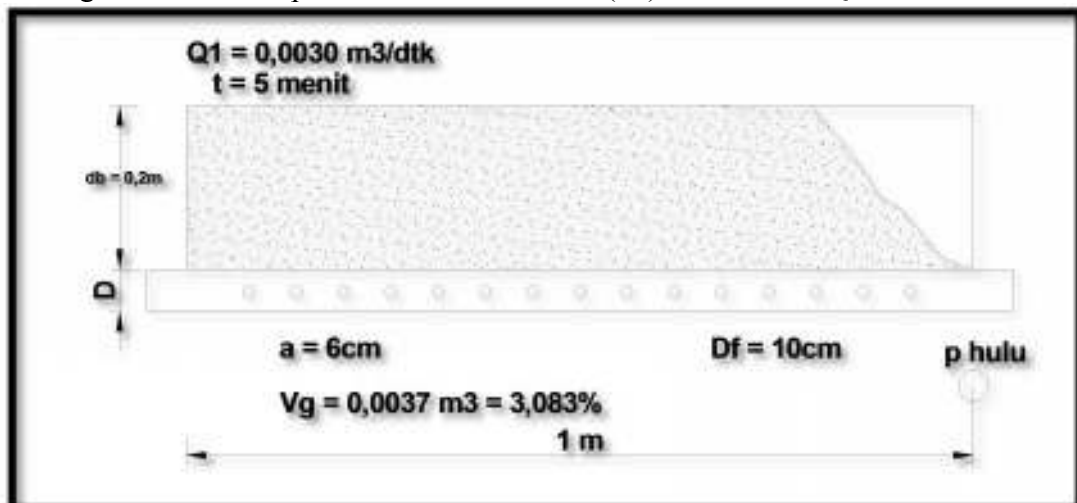
Wijay, Khamid. (2011). *Dampak Perubahan Penggunaan Lahan Di DAS Sungai Hulu Terhadap Debit Sungai Gung Kabupaten Tegal*. Universitas Negeri Semarang.

Lampiran 4

|                           |   |                         |                 |                      |                          |        |                                |
|---------------------------|---|-------------------------|-----------------|----------------------|--------------------------|--------|--------------------------------|
| Luas Penampang Pipa A     | = | 0.001963 m <sup>2</sup> | Rapat massa (P) | =                    | 995.95 kg/m <sup>3</sup> | =      | 0.000996 kgf/cm <sup>3</sup>   |
| Panjang Pipa              | L | =                       | 1 m             | Viskositas Kinematik | k                        | =      | 0.00000824 m <sup>2</sup> /dtk |
| Diameter Pipa             | D | =                       | 0.05 m          | D                    | =                        | 0.0001 |                                |
| sefisien Kontraksi Lubang | K | =                       | Km 28 lbg       | f                    | =                        | 0.013  | Jarak Lubang (a) (cm)          |
|                           |   |                         | 0.28            | L/D                  | =                        | 20     |                                |

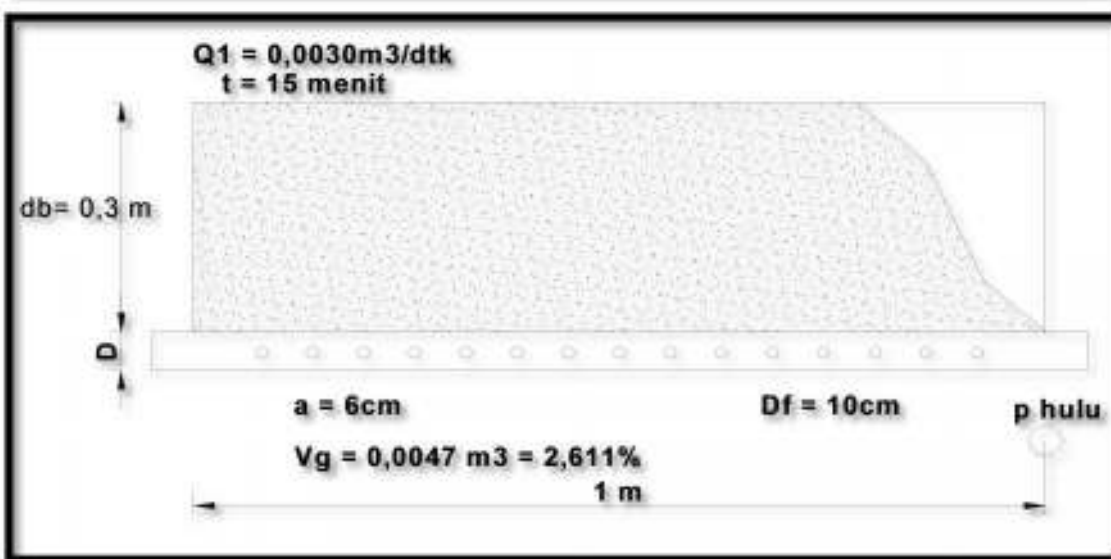
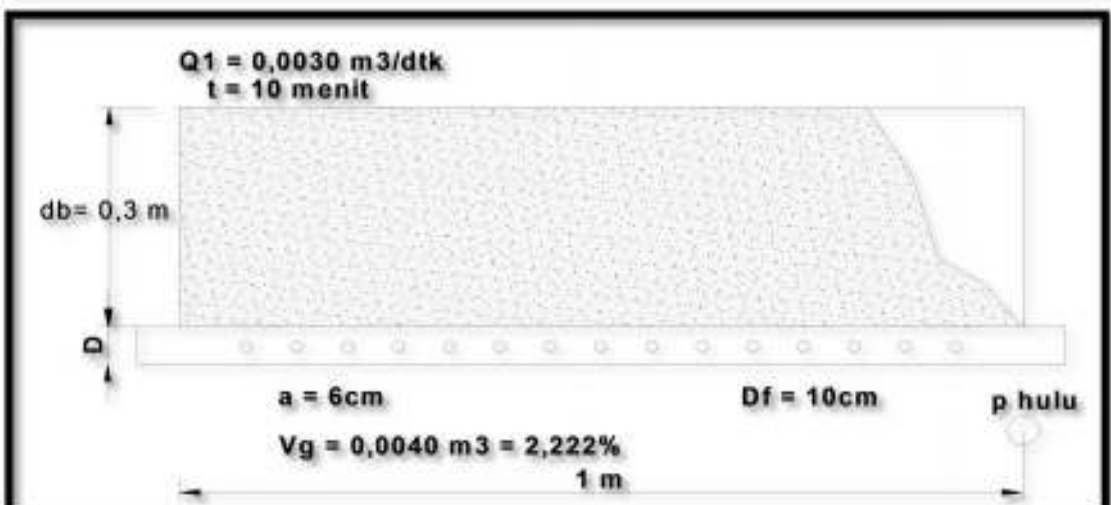
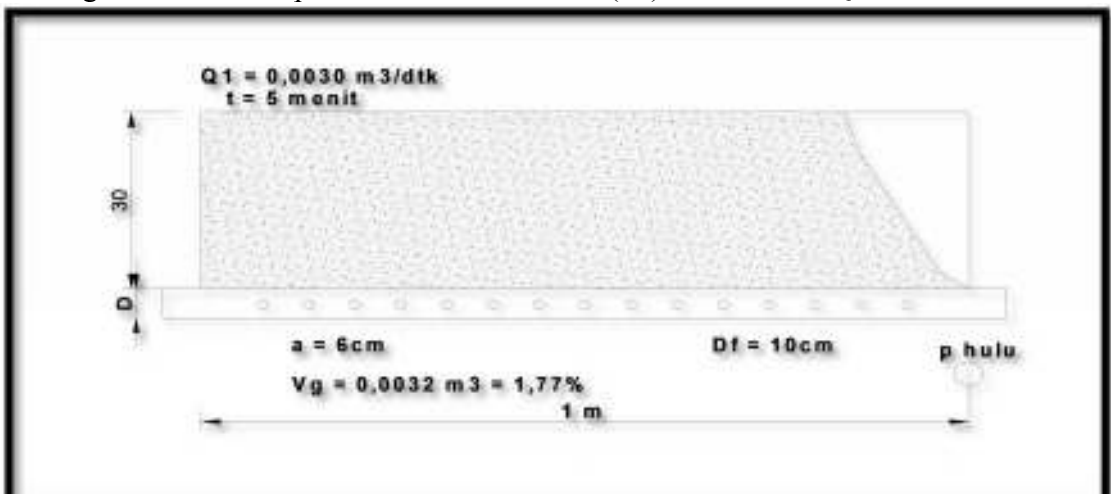
## Lampiran 7

1. Potongan bukaan alur pada ketebalan sedimen (db) 20cm untuk Q1



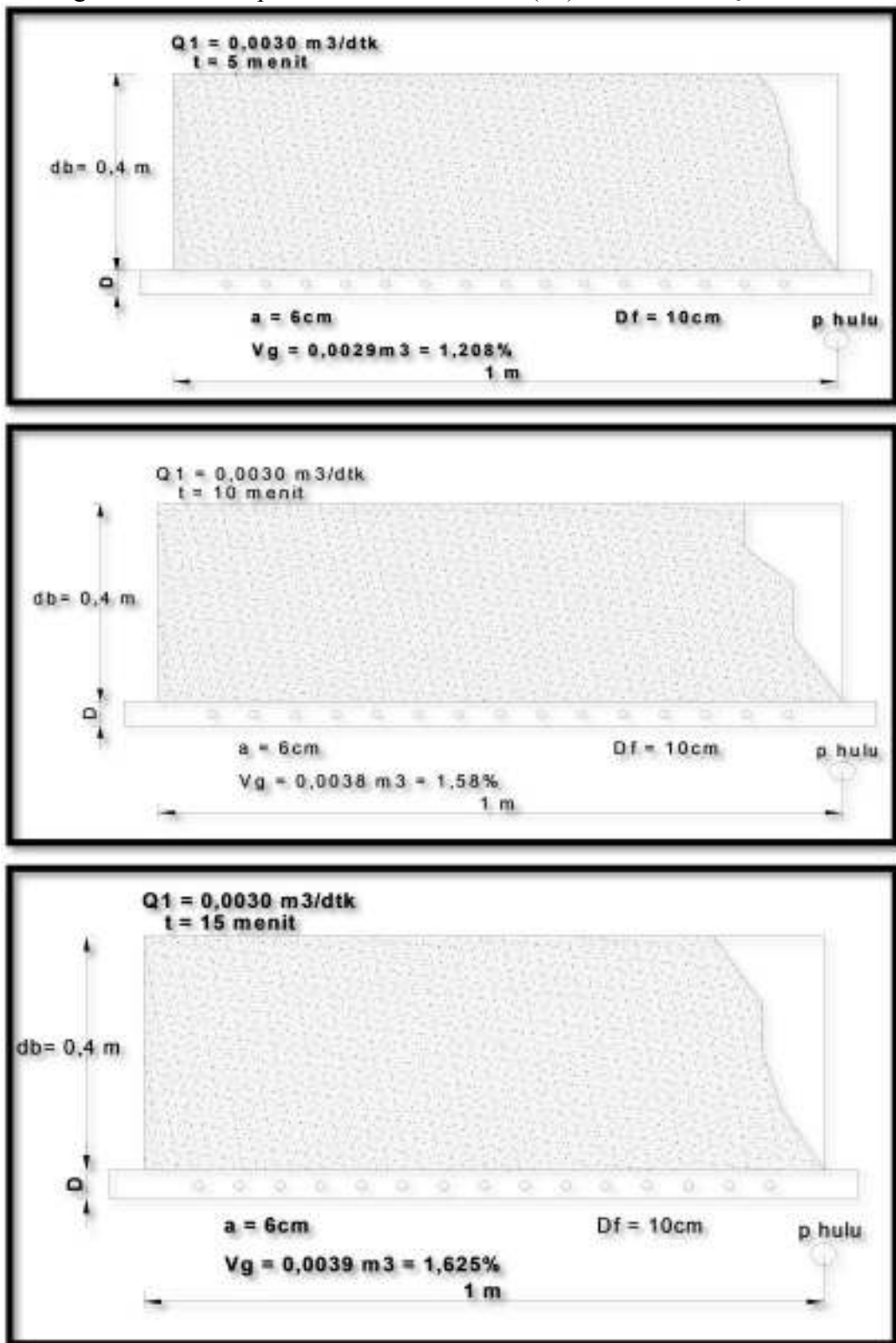
## Lampiran 8

2. Potongan bukaan alur pada ketebalan sedimen (db) 30cm untuk Q1



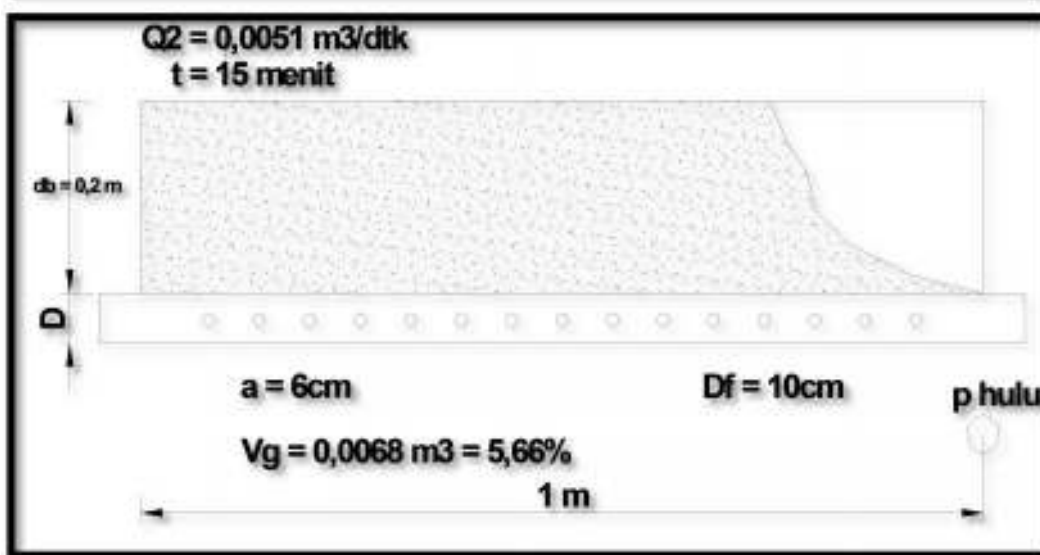
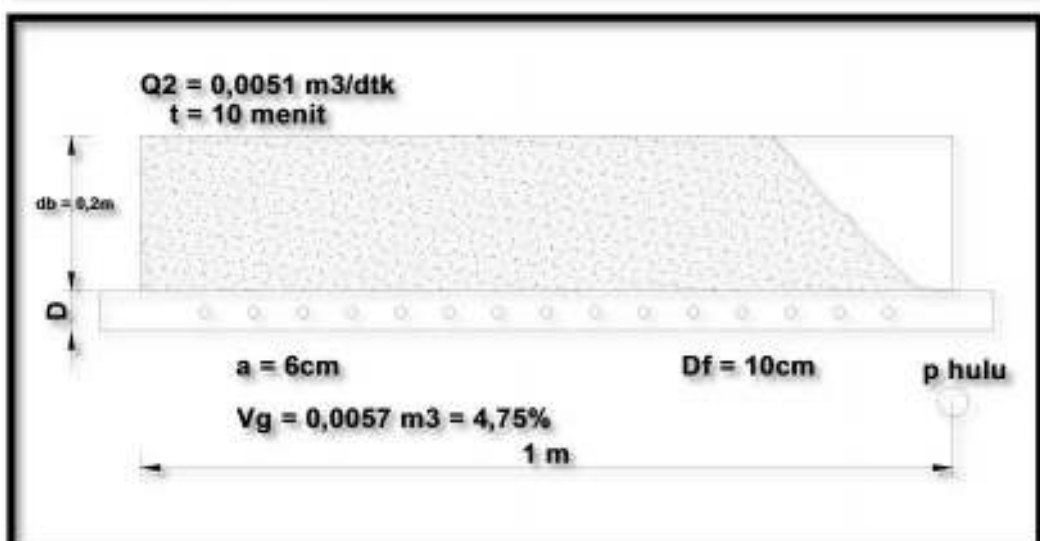
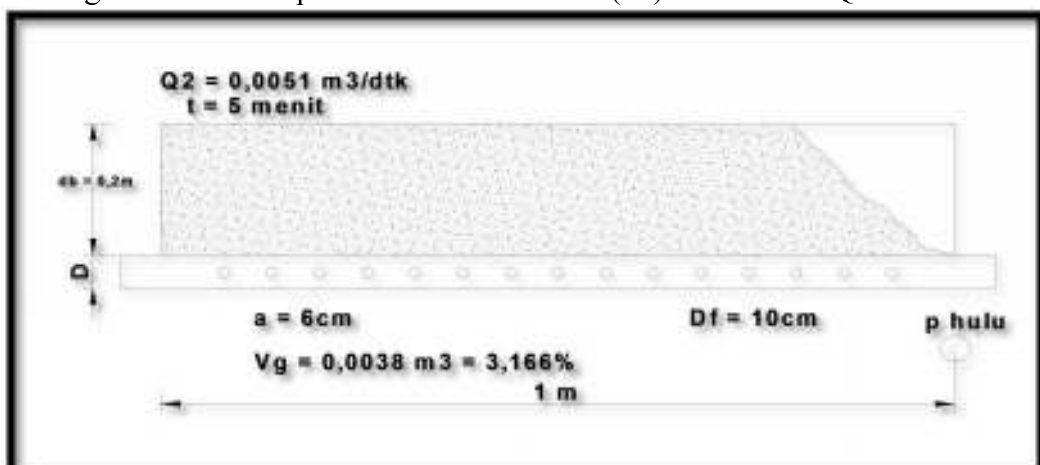
## Lampiran 9

3. Potongan bukaan alur pada ketebalan sedimen (db) 40cm untuk Q1



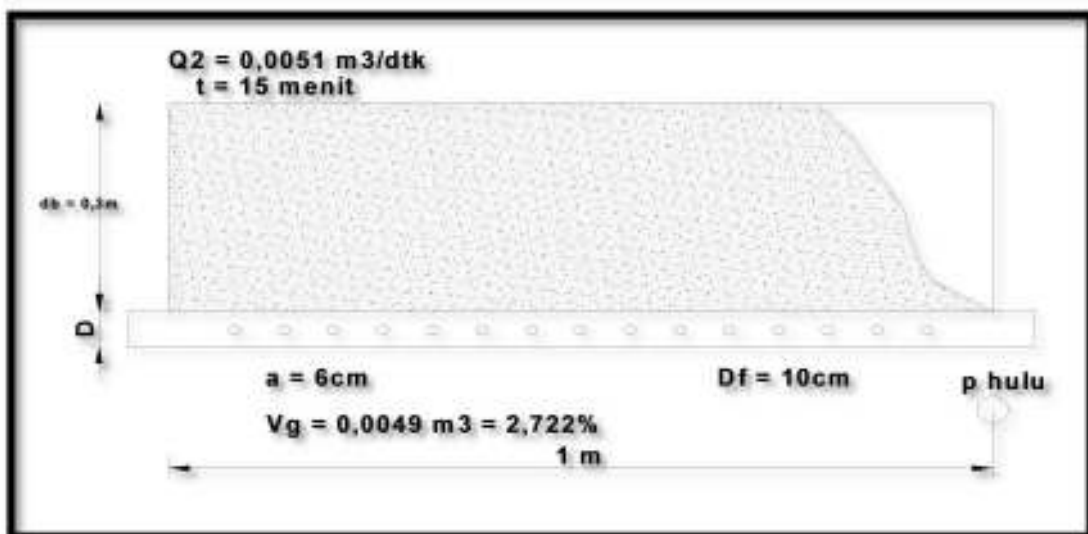
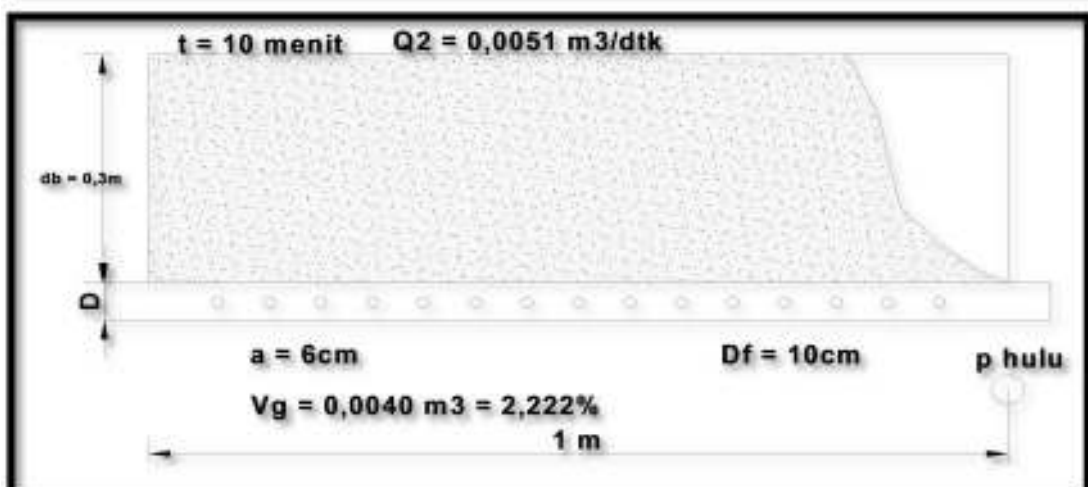
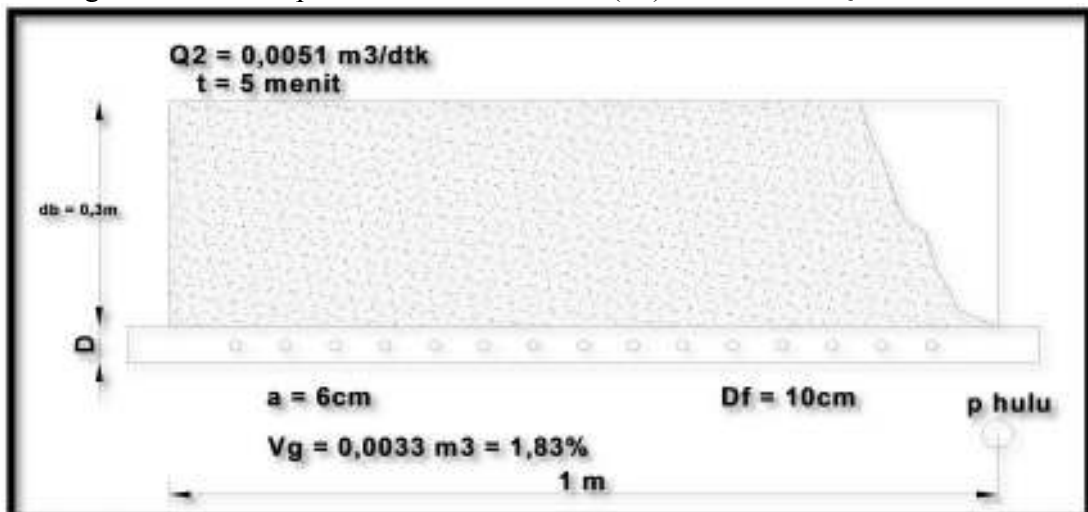
## Lampiran 10

4. Potongan bukaan alur pada ketebalan sedimen (db) 20cm untuk Q2



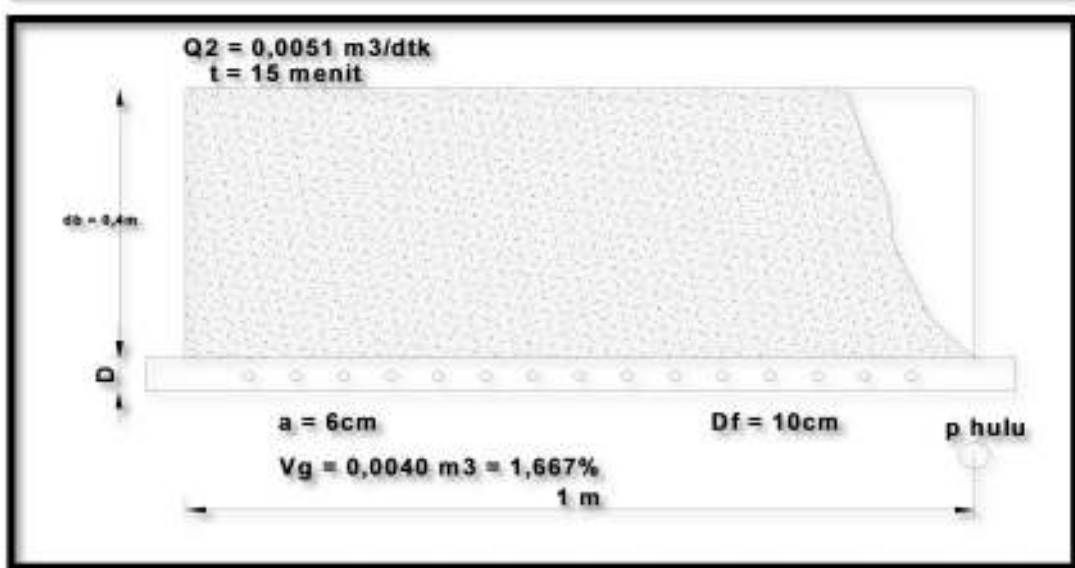
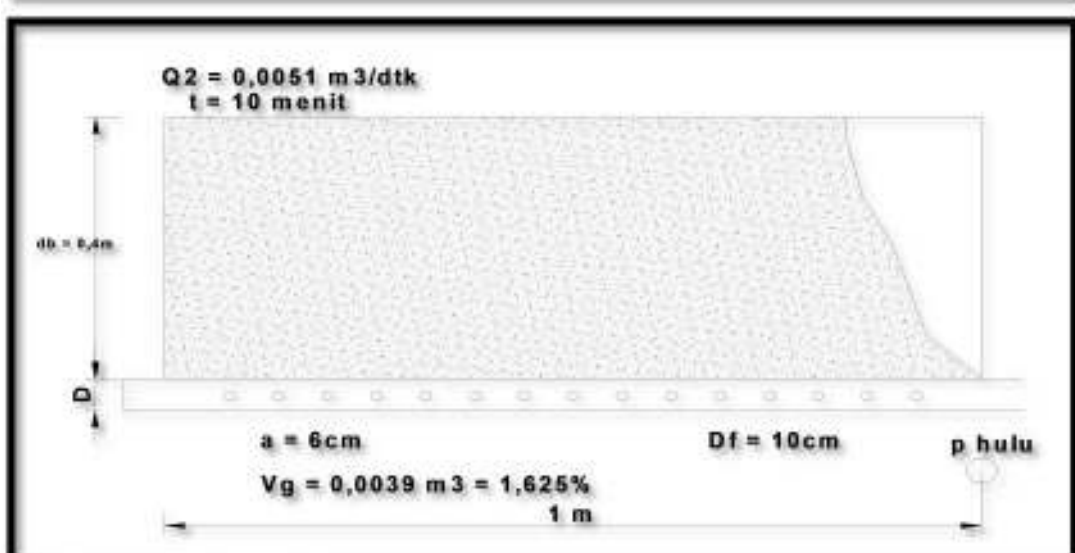
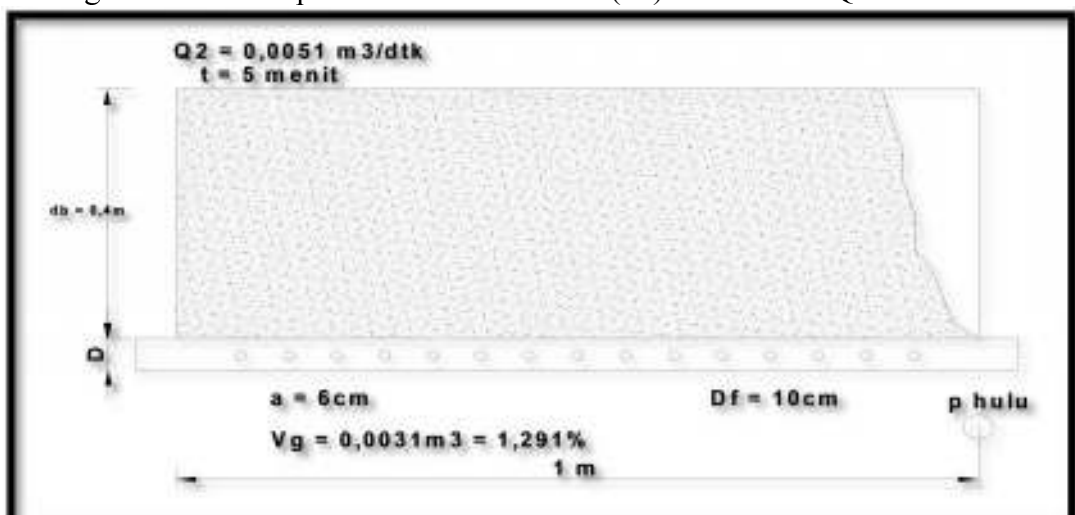
## Lampiran 11

5. Potongan bukaan alur pada ketebalan sedimen (db) 30cm untuk Q2



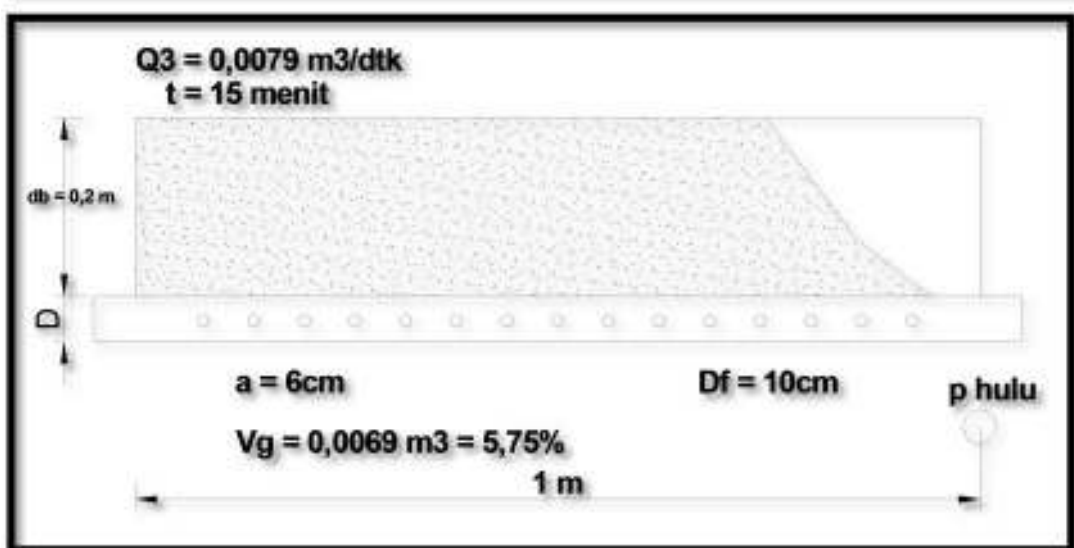
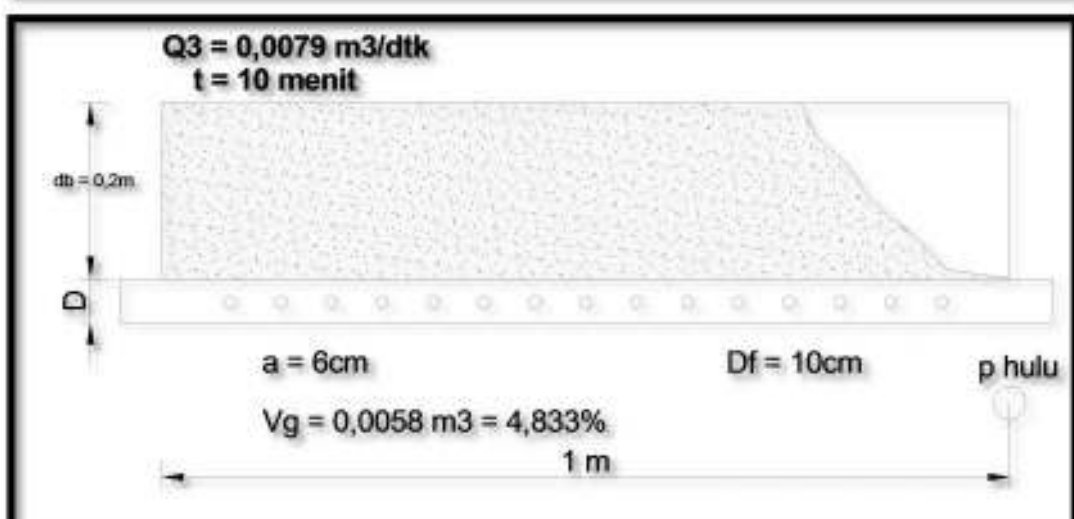
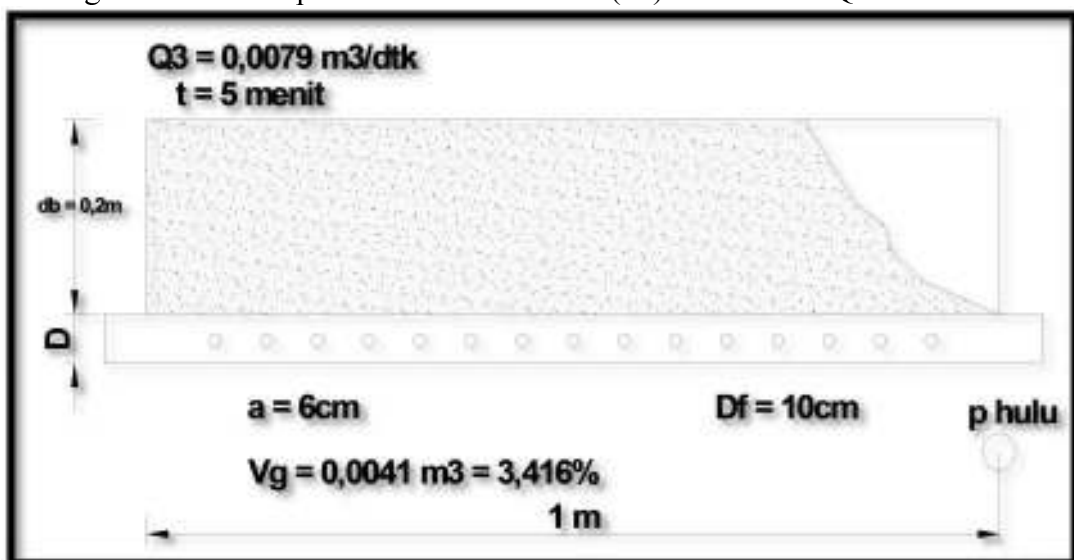
## Lampiran 12

6. Potongan bukaan alur pada ketebalan sedimen (db) 40cm untuk Q2



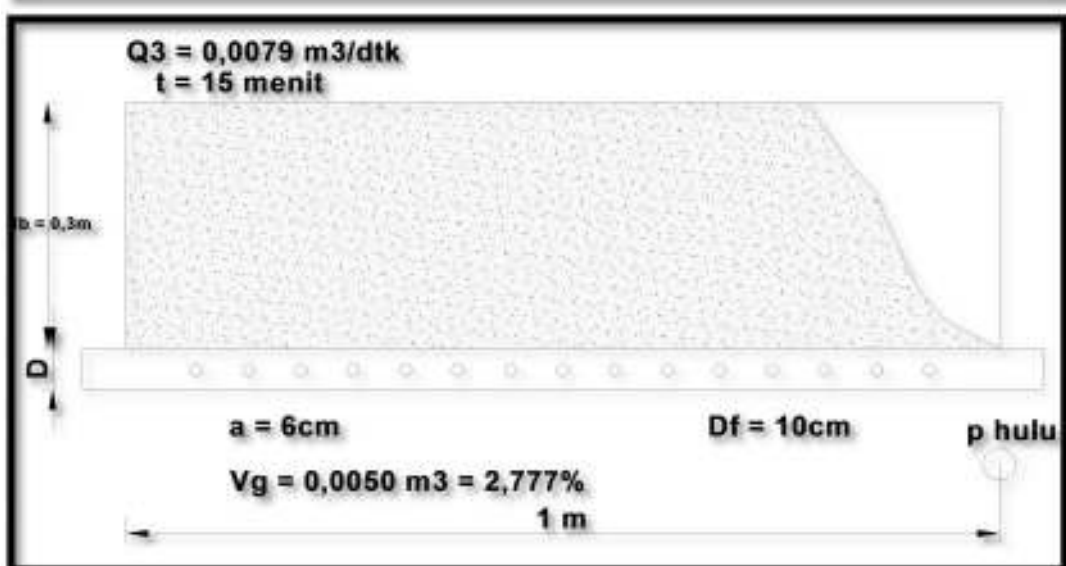
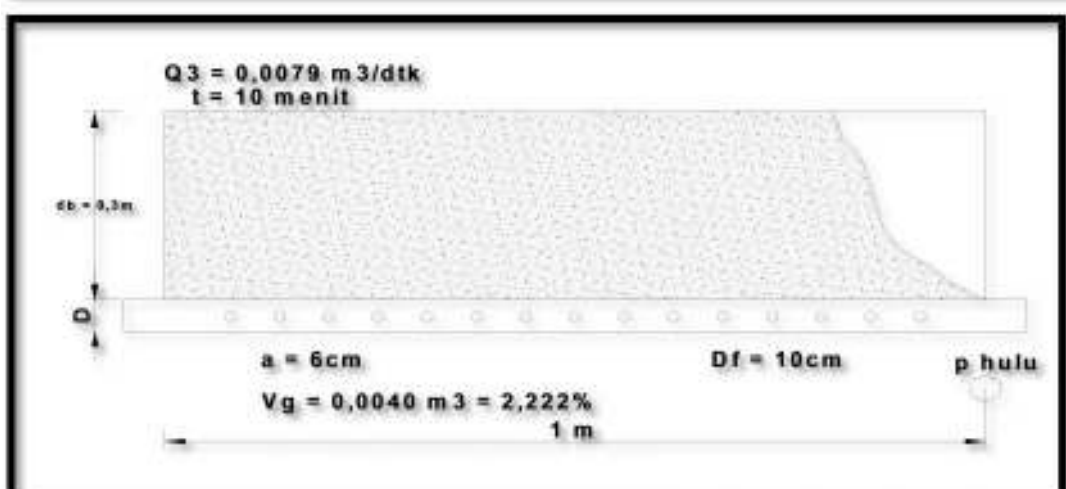
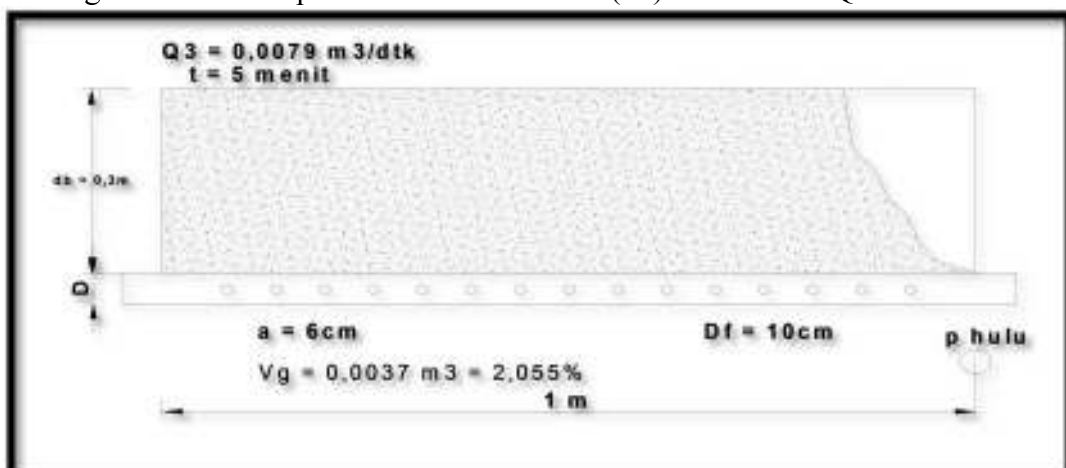
### Lampiran 13

7. Potongan bukaan alur pada ketebalan sedimen (db) 20cm untuk Q3



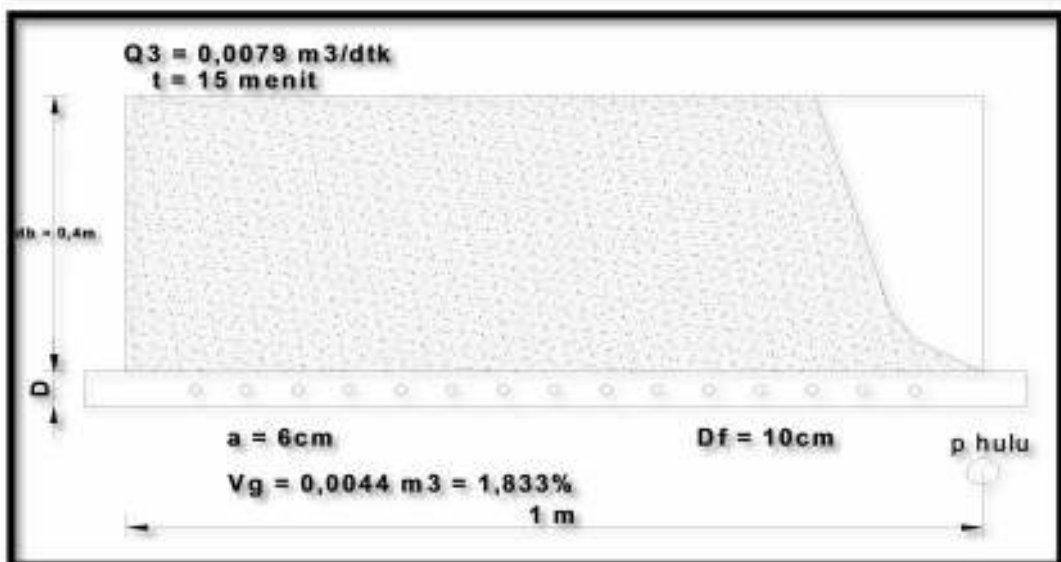
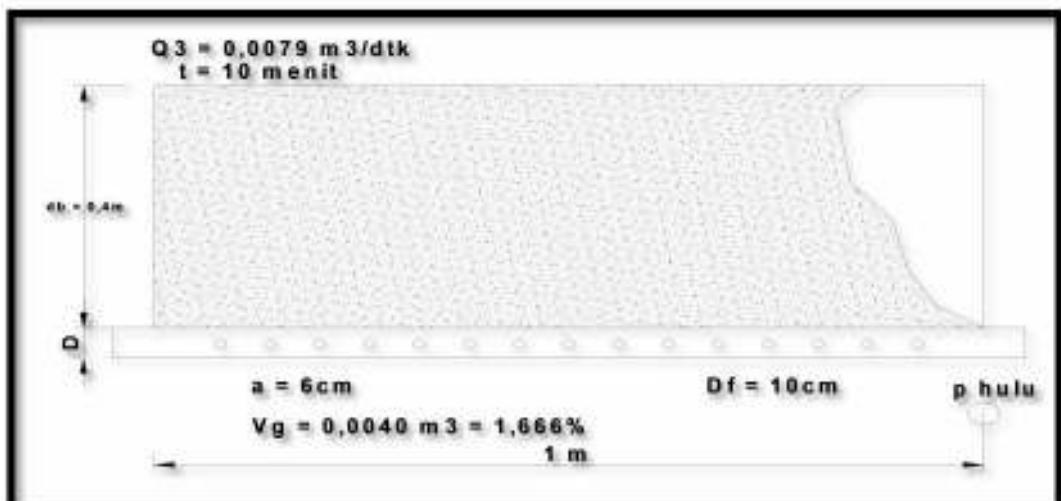
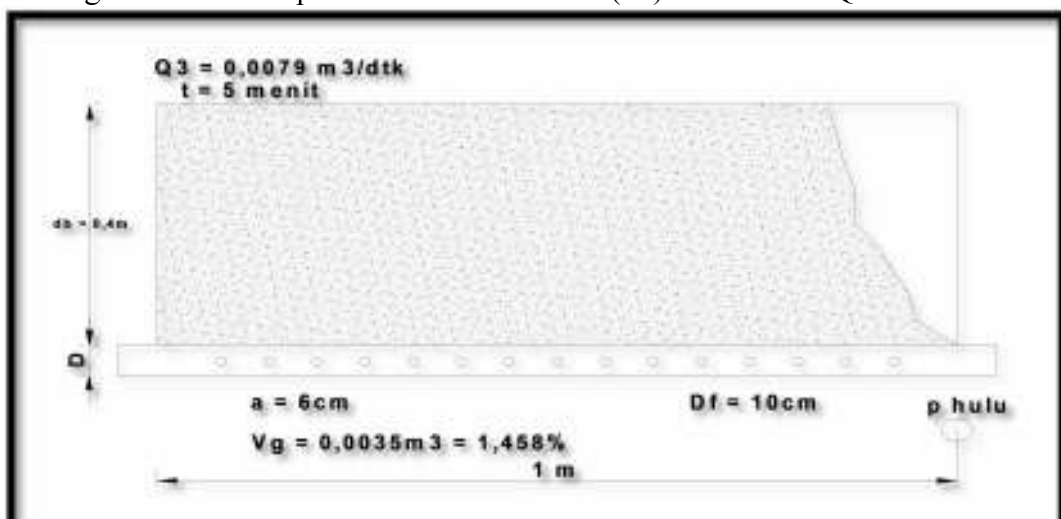
## Lampiran 14

8. Potongan bukaan alur pada ketebalan sedimen (db) 30cm untuk Q3



## Lampiran 15

9. Potongan bukaan alur pada ketebalan sedimen (db) 40cm untuk Q3



**Lampiran 16. Persiapan Peralatan Simulasi *Flushing Conduit***



Gambar 1. Pembuatan model pipa  
*Flushing Conduit*



Gambar 2. Pengukuran spasi  
lubang *flushing conduit*



Gambar 3. model pipa *Flushing Conduit*

**Lampiran 17. Persiapan Peralatan Simulasi *Flushing Conduit***



Gambar 4. Model Saluran  
*flushing conduit*



Gambar 5. Pengukuran tekanan  
menggunakan manometer



Gambar 6. Proses *running* awal  
atau pengambilan data kalibrasi

### Lampiran 18. Proses Pengambilan Data



Gambar 7. Pembacaan Tinggi air pada pitot



Gambar 8. Bentuk bukaan alur hasil hisapan *flushing conduit*



Gambar 9. Pemindahan sedimen dari saringan ke dalam wadah.

### Lampiran 19. Proses Pengambilan Data



Gambar 10. Pengukuran sedimen yang tergelontor



Gambar 11. Sedimen yang tergelontor